



MICROFICHE N°

04083

République Tunisienne

MINISTÈRE DE L'AGRICULTURE

CENTRE NATIONAL DE
DOCUMENTATION AGRICOLE
TUNIS

الجَمْهُورِيَّةُ التُّونْسِيَّةُ
وزَارَةُ الْأَغْرِيَّةِ

الْمَرْكَزُ الْصَّوْمَّعِيُّ
لِلْتَّوْلِيقِ الْفَدَّالِيِّ
تُونِسٌ

F 1

CORIA 4932

DIRECTION DES RESSOURCES EN EAU

24 JUIN 1986

**LA NAPPE DU CONTINENTAL INTERCALAIRE
AU NIVEAU DU DJERID**

AVRIL 1986

A. MAMOU

REPUBLIQUE TUNISIENNE
—
MINISTERE DE L'AGRICULTURE
—
DIRECTION DES RESSOURCES EN EAU

**LA NAPPE DU CONTINENTAL INTERCALAIRE
AU NIVEAU DU DJERID**

AVRIL 1986

A. MAMOU

SOMMAIRE

	PAGES
I- INTRODUCTION	1
II- RECONNAISSANCE DU CONTINENTAL INTERCALAIRE AU NIVEAU DE DJERID	2
1- Géométrie du réservoir et ses caractéristiques hydrodynamiques	3
2- Piézométrie de la nappe	5
3- Débit artésien des forages	6
4- Débit spécifique	6
5- Salinité de l'eau	7
III- FORAGES D'EXPLOITATION DE LA NAPPE DU CI AU NIVEAU DE DJERID	7
IV- ANALYSE DES DONNÉES DES FORAGES CAPTANT LE CI AU NIVEAU DE DJERID	8
1- Géométrie du réservoir et ses caractéristiques hydrodynamiques	9
1-1 Stratigraphie	9
a- Jurassique	9
b- Crétacé Inférieur	10
- Mésozoïen	10
- Barrémien	11
- Albo-Aptien	11
c- Crétacé-Miocène	12
1-2 Lithofaciès et paléogeographie	16
1- Lithofaciès du Crétacé Inférieur	16
2- Caractéristiques des lithofaciès du CI à travers les forages	19
- Forage Hou Aroua	19
- Forages de Nefla	19
- Forages de Tazour	20
- Forages d'el Haoua et de Dégache	21
3- Paléogeographie du Crétacé Inférieur au niveau de Djerid	22
4- Réservoir utile du Crétacé Inférieur	25
1-3 Tectonique	29
2- Caractéristiques piézométriques	33
2-1 Variations de la piézométrie dans le temps	34
2-2 Variations de la piézométrie dans l'espace	36
3- Caractéristiques hydrodynamiques	38
3-1 Caractéristiques propres aux forages	38
3-1-1 Débit spécifique	38
3-1-2 Précision résiduelle	38
3-1-3 Coefficients de l'équation d'écoulement d'un forage artésien	38
3-2 Caractéristiques hydrodynamiques de l'aquifère	41
3-2-1 Transmissivité	41
3-2-2 Coefficient d'assèchement	42
3-2-3 Rayon d'action	43
4- Caractéristiques hydrochimiques	43
4-1 Température de l'eau	43
4-2 Résidus Secs et minéralisation totale	45
4-3 Composition chimique	47

.../...

5- <u>Caractéristiques isotopiques</u>	50
5-1 Isotopes stables	50
5-2 Isotopes radio actifs	51
6- <u>Conclusion</u>	52
V- ESSAI DU BILAN DE LA NAPPE DU CI AU NIVEAU DU DJERID.	53

LISTE DES FIGURES

- Fig. 1a : Carte des isobathes du toit du CI (réervoir utile, ERESS, 1972)
- Fig. 1b : Carte des isobathes du mur du CI (réervoir utile, ERESS, 1972)
- Fig. II : Carte des isophaques du CI (AMOOC, 1982)
- Fig. 1 : Localisation des forages profonds du Djerid avec toit de la dolomie aptienne (ETAP, 1985)
- Fig. 2 : Carte du toit du Jurassique (Mobil, 1975)
- Fig. 3 : Carte du toit du Méocomien (Mobil, 1975)
- Fig. 4 : Carte du toit de l'Albo-Aptien (Mobil, 1975)
- Fig. 5 : Carte de l'épaisseur du Crétacé Inférieur (Mobil, 1975)
- Fig. 6 : Corrélation lithostratigraphique entre les forages du Djerid
- Fig. 7a : Faciès du CI dans les forages de Dégache et d'al hamma
- Fig. 7b : Faciès du CI dans les forages de Tozeur et de Nefta
- Fig. 8 : Carte des isobathes d'un marqueur du crétacé supérieur (Mobil, 1975)
- Fig. 9a : Profil sismique MT-095 (Mobil 1975)
- Fig. 9b : Profil sismique MT-103+MTB-183 (Mobil, 1975)
- Fig. 9c : Rôle des failles dans l'isolation de la vido de Tozeur
- Fig. 10 : Corrélation entre l'altitude du NP et la profondeur de la formation captée
- Fig. 11 : Corrélation entre le débit spécifique et la profondeur de la formation captée
- Fig. 12 : Granulométrie des forages Dégache CI3 et Tozeur CI1
- Fig. 13 : Corrélation entre la température de l'eau et la profondeur de la formation captée
- Fig. 14 : Chimie des eaux du Continental Intercalaire (ERESS, 1972)
- Fig. 15 : Corrélation entre la salinité de l'eau et la profondeur de la formation captée
- Fig. 16 : Composition chimique des eaux du CI au niveau du Djerid
- Fig. 17 : Corrélation entre le R.S de l'eau et la concentration en sulfates
- Fig. 18 : Composition isotopique des eaux du CI dans le Sud tunisien.

LA NAPPE DU CONTINENTAL INTERCALAIRE AU NIVEAU DU DJERID

RÉSUMÉ :

Cette note consacrée à la nappe du Continental Intercalaire au niveau du Djérid constitue la première synthèse des travaux de forage réalisés dans cette zone et des résultats hydrogéologiques qu'on a pu rassembler après une année, en moyenne, sur le fonctionnement d'une grande partie de ces forages.

L'aspect géologique s'est attaché de préciser, en premier lieu la nature lithologique des formations rencontrées et leur attribution aux différentes faciès litho-stratigraphiques du Sud tunisien avec références à la documentation disponible.

L'aspect hydrogéologique est orienté essentiellement vers la précision des caractéristiques hydrogéologiques de la nappe du CI au niveau de la région du Djérid avec une tentative pour expliquer les résultats médiocres sur le plan débit artésien et débit spécifique obtenu au niveau de la partie occidentale du Djérid (Touzeur et Nefta).

La conclusion à laquelle a abouti cette étude souligne le fait que la reconnaissance du CI au niveau du Djérid a été incomplète et abrégée avant terme et que les résultats de cette première campagne de forages s'ils sont à moitié décervant ne doivent pas nous faire renoncer à une reconnaissance plus méthodique.

I- INTRODUCTION :

L'exploitation de la nappe du Continental Intercalaire au niveau du Djérid a été toujours présente comme apportant à la nappe du Complexe Terminal qui est moins profonde et plus facile à exploiter (eau moins chaude et supposée avoir moins de charge artésienne).

Le modèle de la nappe du Continental Intercalaire établi dans le cadre de l'étude des ressources en eau du Gafsa septentrional (1972), prévoit un débit de l'ordre de 900 l/s à 1500 l/s exploitable à partir de cette nappe au niveau du Djérid (1).

L'actualisation de ce modèle dans le cadre du projet RIZ/B en 1983 a permis de fixer le débit exploitable à partir de cette nappe à 1000 l/s (2).

Cependant, jusqu'en 1981, aucun forage n'a été réalisé dans le Djérid pour renouveler les formations du Crétacé inférieur et d'avalider ces hypothèses établies pour l'élaboration du modèle mathématique (1). Il était donc indispensable de s'assurer au sujet des caractéristiques physiques (épaisseur, eau et perméabilité des formations aquifères appartenant au Crétacé inférieur) et hydrogéniques (débit artésien, taux d'artérialisation, température et salinité) de la nappe.

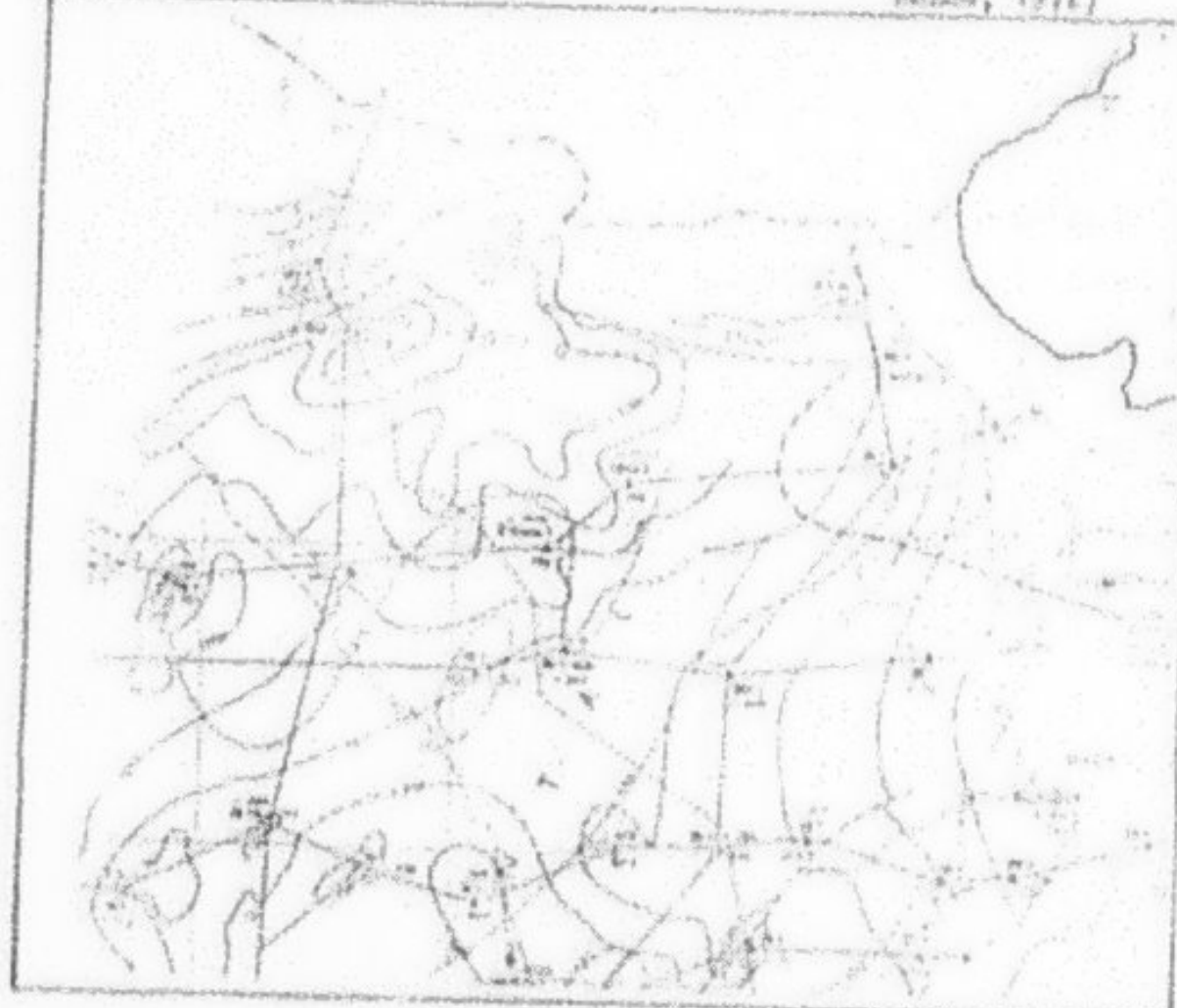
.../...

II- RECONNAISSANCE DU CI AU NIVEAU DU DJERID :

Avant d'entamer la phase de reconnaissance de la nappe du CI au niveau du Djerid, les seules données géologiques et hydro géologiques disponibles et servant de référence sont les suivantes :

- 1- Coupes lithostratigraphiques de certains forages pétroliers situés dans les zones limitrophes de la région et qui présentent des données plus ou moins détaillées sur la nature lithologique et les critères du toit et du substratum des formations. Ces coupes sont celles des forages : Blidji (BLJ-1) et oued el Melah (Oua-1) situés au Nord du Djerid, (Hes-1) et Bou Aroua (BAS-1) situés à l'Ouest du Djerid et les forages d'el Gouma (Gou-1), Sabria (SD-1) et el Farnig (Fra-1) se trouvant au Sud du Chott Djerid.
- 2- Une carte du sur et une carte du toit avec épaisseur du réservoir utile du Continental Internalaïre établie dans le cadre de l'étude SRSSR à une échelle (1/2000 000) qui, au niveau de la région étudiée ne permet pas de mettre en évidence les facteurs qui sont responsables des variations géologiques du moment que l'équidistance entre deux courbes successives est de 250m (fig. 1a et 1b).

Fig. 1a : Carte des isobathes du toit du CI (réservoir utile, SRSSR, 1972)



.../...

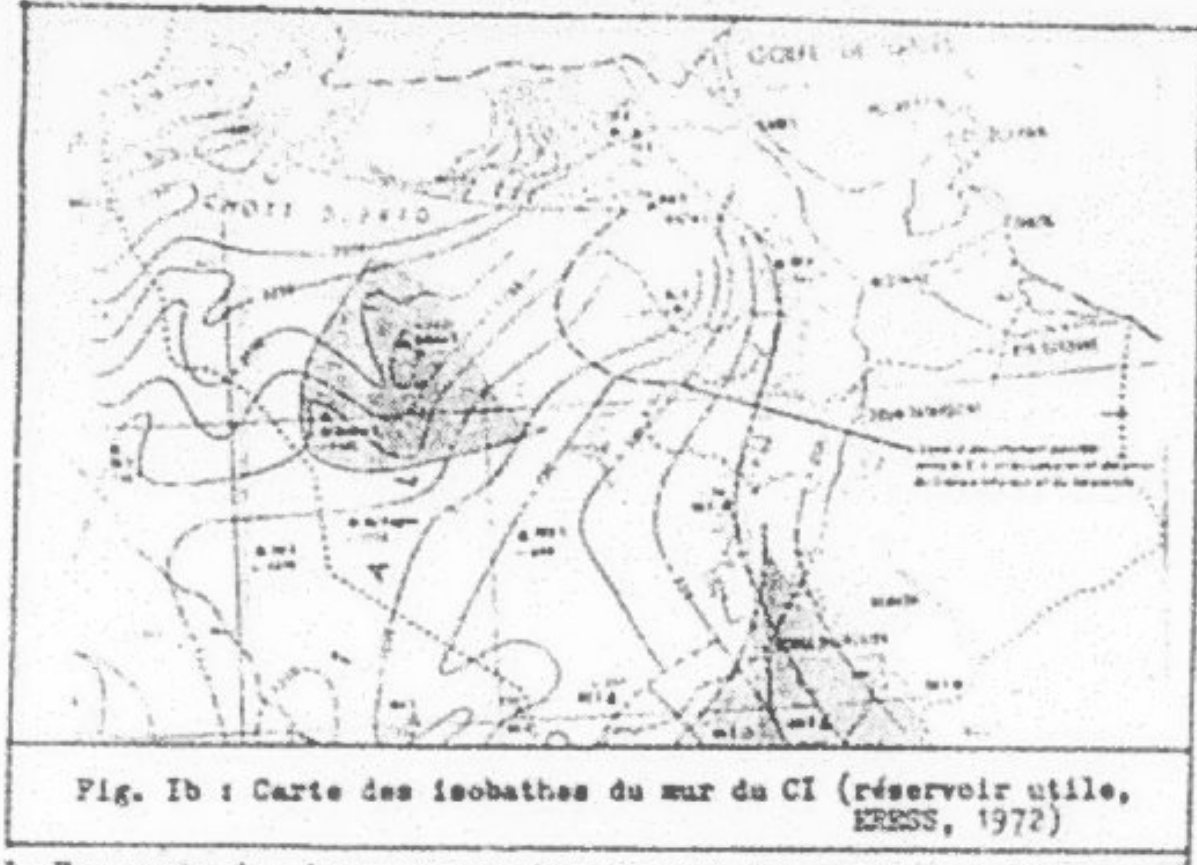


Fig. Ib : Carte des isobathes du mur du CI (réserveur utile, ERRESS, 1972)

3- Une carte des isopiques du Continental Intercalaire à l'échelle 1/500.000 établie par l'AMOCO en 1982 avec des équidistances de 100 m et qui couvre toute la région des Chotts et une partie de la plate forme saharienne. (fig. II).

4- Différentes cartes du mur et du toit des formations mésozoïques à l'échelle 1/1000 000 établies par la NUBIL en 1976 dont notamment :

- Carte du toit et des isopiques du Jurassique Supérieur
- Carte du toit et des isopiques du Néocomien
- Carte des isopiques du Crétacé Inférieur (Néocomien/Aptien/ albién)
- Carte du toit et des isopiques de l'Albo-aptien.

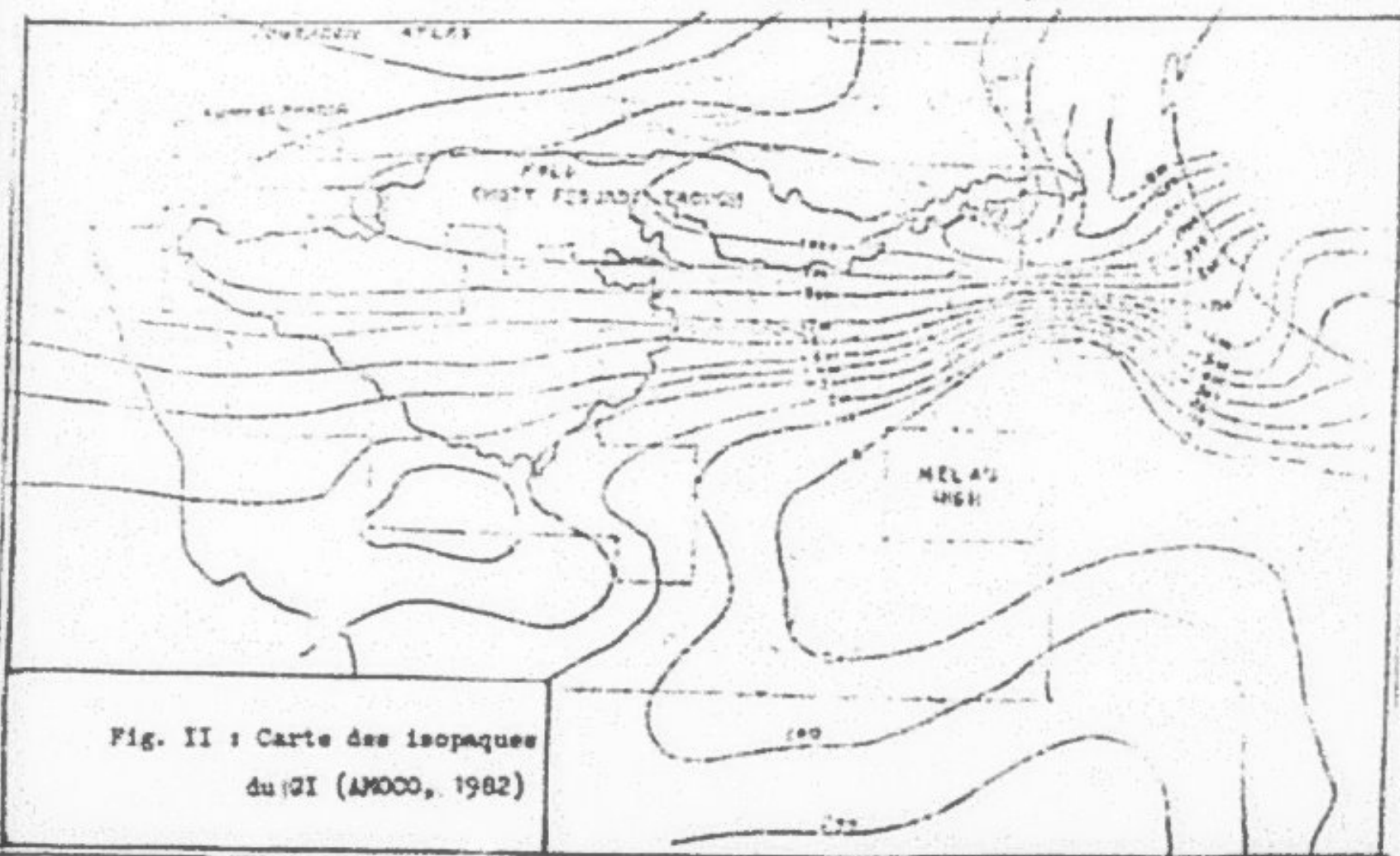


Fig. II : Carte des isopiques du CI (AMOCO, 1982)

L'échelle réduite de ces cartes et le manque de forages profonds au niveau du Djerid ont fait que ces documents ont été d'un intérêt secondaire pour une meilleure précision pour l'implantation des forages captant le CI au niveau du Djerid.

5- Carte du toit de la dolomie aptienne à l'échelle 1/100.000 produite par l'ETAP en 1984 et utilisée pour l'implantation des 10 forages du Continental Intercalaire (3) réalisés à la suite des trois premières reconnaissances à Mahassen (N° IRH 19039/5), Nefta CI (19064/5) et Touseur CI (19162/5).

De l'ensemble de ces documents, seules la coupe du forage Bou Aroua (BAH-1) situé à la frontière tuniso-algérienne et les deux cartes des isopiques du CI et le toit de la dolomie aptienne se sont révélées d'une certaine utilité pour mieux orienter les décisions de reconnaissance et de captage lors de l'implantation des forages captant le CI au Djerid.

La phase de reconnaissance de la nappe du Continental Intercalaire au niveau du Djerid a été décidée et entamée en 1981 avec la réalisation du forage Mahassen (N° IRH 19039/5) qui s'est arrêté à 1444 m faute de performance technique suffisante pour aller jusqu'à 1700 m comme il a été prévu au départ (4) (annexe n° 1)

Ce premier forage a permis de s'assurer de la présence de la nappe du CI au niveau de la partie orientale du Djerid, de la salinité de l'eau ainsi que de la valeur du débit artésien qu'on peut obtenir sans toutefois qu'il ne soit possible de mesurer l'altitude du niveau statique (vazne coincée). Les questions qui sont restées donc en suspens concernant l'épaisseur et la perméabilité de la formation aquifère, ainsi que la présentation de la nappe à ce niveau. C'est avec les deux autres forages réalisés au niveau de Nefta et de Touseur qu'on pense lever ces incertitudes.

Le forage de Nefta CI (N° IRH 19064/5) réalisé durant le premier semestre 1984, se situe dans la partie occidentale du Djerid. On s'attendait à ce qu'il présentait un Crétacé Inférieur semblable à celui rencontré par le forage Bou Aroua (BAH-1) avec une position du mur et du toit de la formation aquifère intermédiaire entre celles de Bou Aroua et Mahassen, suivant un pendage des couches régulier vers l'Ouest.

Toujours faute d'une sondage suffisamment puissant. Le Crétacé Inférieur a été rencontré entre 100 et 200m (15m) tout en s'attendant à ce qu'il y ait une épaisseur de l'ordre de 500-600m avec au moins les deux tiers supérieurs sous forme d'un faciès sablo-gréseux. Si au niveau du forage de Nefta, on a pu lever l'incertitude attachée à la géométrie de la nappe du CI au Djerid, le problème de l'épaisseur et de la géométrie de la formation aquifère est par contre restée entier. Le débit artésien a été anormalement faible ce qui a été interprété comme résultant d'un captage inadéquat (700 m de formation inaquifère non isolée de la partie crétacée) et la faible épaisseur captée. Sur le plan salinité de l'eau, le forage de Nefta a donné une eau plus salée que Mahassen ce qui dénote déjà une hétérogénéité chimique (annexe n° 2)

En définitif, ce forage a soulevé beaucoup plus de questions qu'il n'en a résolu. C'est pourquoi on s'est fixé comme prochaine étape dans cette reconnaissance, le forage de Touseur.

.../...

Le forage de Tassour CI-1 (N° INR : 19152/3) a été implanté tout en tenant compte des résultats obtenus au niveau du forage de Nefta surtout en ce qui concerne la position du toit de la dolomie aptienne. Cette fois ci les formations grèsos-sableuses du CI ont été rencontrées sur 80m d'épaisseur ce qui a permis d'avoir 10 l/s comme débit artésien. La salinité de l'eau s'est rapprochée du même ordre de magnitude que celle de Nefta ce qui fait présenter la zone le Nefta-Tassour, cette zone anomale entre l'Est du Sahara algérien et la région de Mahassen. La position du niveau piézométrique dans ce forage confirme l'écoulement de la nappe orienté d'Ouest en Est car il a été supposé dans le cadre de l'étude ENRIS (annexe n° 3).

Il se résulte qu'après la réalisation de ces trois premiers forages de reconnaissance de la nappe du CI au niveau du Djerid qu'une partie seulement des hypothèses qui ont servi à l'établissement du modèle du CI a été vérifiée. Les aspects qui sont restés non résolus et nécessitant un complément de reconnaissance sont :

1- La géométrie du réservoir et ses caractéristiques hydrodynamiques :

La grande inconnue dans ce domaine est l'épaisseur totale du Crétacé Inférieur sous la dolomie aptienne. L'importance de la connaissance de l'épaisseur du CI provient du fait qu'en ne savait pas dans quel domaine sédimentaire se trouve la région du Djerid. Est ce que c'est "le domaine de la plateforme maharienne" avec une série calcaire-gréseuse vers le bas et une série argileuse vers la base ou est ce que c'est "le domaine du sillon des chotts" avec des séries calcaires-gréseuses en alternance avec des séries argileuses ? Dans ce cas les formations les plus intéressantes du point de vue caractéristiques hydrodynamiques se situent vers la base.

Etre dans un cas ou dans l'autre change radicalement la conception du captage ainsi que le coût du forage. Il est bien entendu que la productivité du forage change aussi du moment que les caractéristiques hydrodynamiques ne sont pas les mêmes dans les deux cas.

2- La piézométrie de la nappe :

La piézométrie de la nappe du CI au niveau du Djerid d'après le modèle ENRIS en 1970 est au niveau de :

- Nefta : + 242m à R26 (Maille n° 1150)
- Nefta-Tassour : + 241 à R26 (Maille n° 1142)
- El Bousa : + 238 m à R26 (Maille n° 1189)
- El Bousa-Dépache : + 236 m à R26 (Maille n° 1167).

Le modèle suppose qu'entre 1970 et 1980 sans qu'il y ait de changement d'eau sur la nappe du CI au niveau du Djerid, le NP de la nappe enregistrerait une baisse de l'ordre de 20m.

En extrapolant cette baisse à 1985-90 années des modèles du NP sur les forages de Nefta-Tassour, on suppose que ce rebondissement est de l'ordre de 25 à 30m par rapport à 1970. Ce qui fait qu'on doit s'attendre à des niveaux piézométriques de l'ordre de + 113m à R26 au niveau de Nefta-Tassour et de + 206 m à R26 au niveau d'El Bousa-Dépache.

Les premières mesures hydrologiques effectuées sur le bassin de Seclin II (E* 141 1962/2) en 1962 ont donné une altitude de 117 qui est de +215 m à 215 (6). Altitude du 10' desservie au niveau du forage de Doceur XII (E* 141 19162/2) était à la crétaïne de +191,6 m (7). La moyenne de ces deux valeurs étant très proche des hypothèses admises et on l'a considérée à 117 m, nous pouvons en ce qui concerne la bonne représentativité du modèle.

À l'heure de l'ouvrage *Natura* (n° 1951-1952/5), il n'a pas été possible de faire une analyse planimétrique fiable (4) ce qui fait que le problème de la planimetrie de la campagne de Cé au niveau du Béjaïa n'a pas pu être traité par les auteurs de l'*ouvrage Natura*.

1000 2000 3000 4000 5000 6000 7000 8000 9000 10000

Le module de la pente peut être calculé à partir des forages captant le CI en deux étapes. Dans l'Équation 12, Δh est calculé sur la base d'un certain dénivelé entre les puits.

Le festival de Maracaibo (1^{er} et 2^e semaines), a connu un départ en trompe; qui était de l'ordre de 100 000 ce qui a été peu moins étonnant vu leur absence sur les performances de la passe à ce niveau.

Le forage de Kefla El-At (10 km 2004/1) a rencontré à profondeur 27 m au départ et pendant quelques heures, une roche grise taillée et un échantillon à 28 m (1). Le 28 octobre à la fin de ce forage, il a été empêché d'accéder à l'ensemble de cette partie de la grotte par des gardes qui ont fermé le portail et la clôture du camp militaire tunisien où se trouve la source de Kefla.

and 1970 in 1974 at 35% of the total value of 1973.
The last two years have been 1974 and 1975.

4- PROBLEMS FOR STUDENTS

Pour les deux personnes de cette ville et à leur égal, il n'est avec qu'en ayant complètement la cause, la personne défaillante devrait pouvoir être en état d'assurer une amende.

En raison de l'ordre de 20 pour cent, la teneur aphtelique est de l'ordre de 0,7 kg/m³. La teneur de 20% en cas testé aphtelique connaît un C₁ de 0,02633 et un C₂ de 0,0001.

Sur la figure 2, le rapport de la densité des sols humides à celle des sols anhydres est assez constant (1,0) et le rapport des deux sols testés se rapproche rapidement. Les valeurs du rapport appartiennent à des représentations de la nappe du 01 laquelle est captée dans une condition similaire de pression variant en moyenne entre 1,0 1/m² et 2 1/m² (1).

vol(3)

Les constatations faites au sujet du débit artésien et du débit spécifique ont permis de conclure, que les trois premiers forages captant le CI du Djerid ne sont pas parfaitement développés. C'est surtout le forage de Nefta qui a posé le problème du meilleur captage à adopter et qui a révélé que développer un forage en agissant seulement sur la vanne ne peut être que très aléatoire et l'amélioration apportée reste toujours très limitée.

5- Salinité de l'eau :

La carte de la minéralisation totale de la nappe du CI présentée dans le cadre de l'étude EPNB (9) montre au niveau du Sud tunisien une discontinuité hydrochimique entre la partie du CI située sur la plateforme saharienne et celle qui est localisée au niveau de la région des chotts (Chott Fedjaj, Neftacu, et Djerid).

Dans ce cadre régional la région du Djerid avec l'absence de points de mesure à l'époque où elle s'apparente davantage à la partie algérienne qu'à la plateforme saharienne tunisienne comme le laisse entendre le sens de l'écoulement de la nappe. C'est justement au niveau des deux forages frontaliers algériens (35 H12) et (3AH-1) qu'il y a un gradient de salinité allant de 2300 mg/l à 3400 mg/l sur une distance de l'ordre de 25 km. Ceci fait apparaître le Djerid comme une région où la salinité de l'eau qui y est attendue est plutôt de l'ordre de 3 g/l que plutôt de 2 g/l. La salinité de 3 g/l n'a été vérifiée qu'au niveau de Nefta et Tozeur. Par contre la région d'El Hamma-Delgaâche se révèle avec une salinité de l'ordre de 2 g/l.

Ainsi il est apparu clairement que la région du Djerid mérite bien, sur le plan hydrochimique une étude plus détaillée pour rendre compte de la variation latérale de la minéralisation totale. L'explication de ce phénomène ne peut être entreprise qu'après une bonne connaissance de la lithologie des formations captées ce qui implique un nombre de points d'observation plus grand. De ce fait l'aspect géochimique de l'eau du CI au niveau du Djerid est resté entièrement posé.

III- FORAGES D'EXPLOITATION DE LA NAPPE DU CI AU NIVEAU DU DJERID :

Il est clair que la décision de passer aux forages d'exploitation de la nappe du CI au niveau du Djerid est survenue avant que l'aspect reconnaissance ne soit complètement élucidé. C'est au cours du premier semestre 1954 que la décision de créer dix forages profonds captant la nappe du CI au niveau du Djerid a été prise par les propositions suivantes (1) :

- 1er forage à Nefta (N11 et N12)
- 2^e forage à Nefta (N11 et N12)
- 3^e forage à Nefta (N11, N12 et N13)
- 4^e forage à Nefta (N12, N13 et N14).

Le débit d'exploitation escompté à partir des trois premiers forages de reconnaissance et les dix autres qui ont été programmés est de 1000 l/s calculé sur la base de 70 l/s à 100 l/s par forage.

.../...

La durée totale pour l'exécution de ces dix forages est arrêtée à 24 mois par lot (10). Le marché a été subdivisé en deux lots :

- Le premier lot intéressait les quatre forages d'el Hamra et de Degache dont la profondeur de reconnaissance a été prévue à 1700 m.

- Le deuxième lot est spécifique aux six forages de Tozeur et de Nefta et pour lesquels on prévoit une profondeur de 2000 m à Tozeur et une profondeur de 2500 m à Nefta.

Jusqu'à ce jour seuls les forages suivants ont été réalisés (fig.1) :

- Premier lot : Degache CI1 (N° IRH 19230/5), Degache CI3 (N° IRH 19231/5) et el Hamra CI ibis (N° IRH 19230/5) et el Hamra CI2 (N° IRH 19231/5).

A noter que le forage el Hamra CI ibis est un remplacement du forage el Hamra CI 1 (N° IRH 7...) qui s'est révélé épuisé à fort débit artésien quand le trou a atteint la profondeur de 520m et passe de reconnaissance ce qui a nécessité son bouchage et son remplacement par un autre forage (CI1-ibis), à proximité (11).

- Deuxième groupe : Tozeur CI1 (N° IRH 19224/5), Tozeur CI5 (N° IRH 19225/5) et Nefta CI2 (N° IRH 19227/5).

Devant les résultats très peu encourageant au niveau de Tozeur et de Nefta, il a été décidé d'arrêter la suite du programme du deuxième lot et d'ajouter un autre forage entre Tozeur et el Hamra.

La suite de cette note nous a permis à l'analyse des données obtenues par tous les forages concernant la nappe du Continental intercalaire au Djérid. Les aspects suivants seront traités dans l'ordre plus particulier :

- La géométrie du réservoir du CI au niveau du Djérid et ses caractéristiques physiques
- Les caractéristiques hydrodynamiques de la nappe et des forages
- Les caractéristiques hydrogéologiques du CI (Piézométrie, artérianisme, température de l'eau etc...) au niveau du Djérid.
- Les caractéristiques hydrochimiques du CI au niveau du Djérid
- Les ressources en eau et leur exploitation au niveau du CI du Djérid.

IV- ANALYSE DES RÉSULTATS DES FORAGES APPARTENANT AU CI AU NIVEAU DU DJERID :

1- Géométrie du réservoir et ses caractéristiques principales :

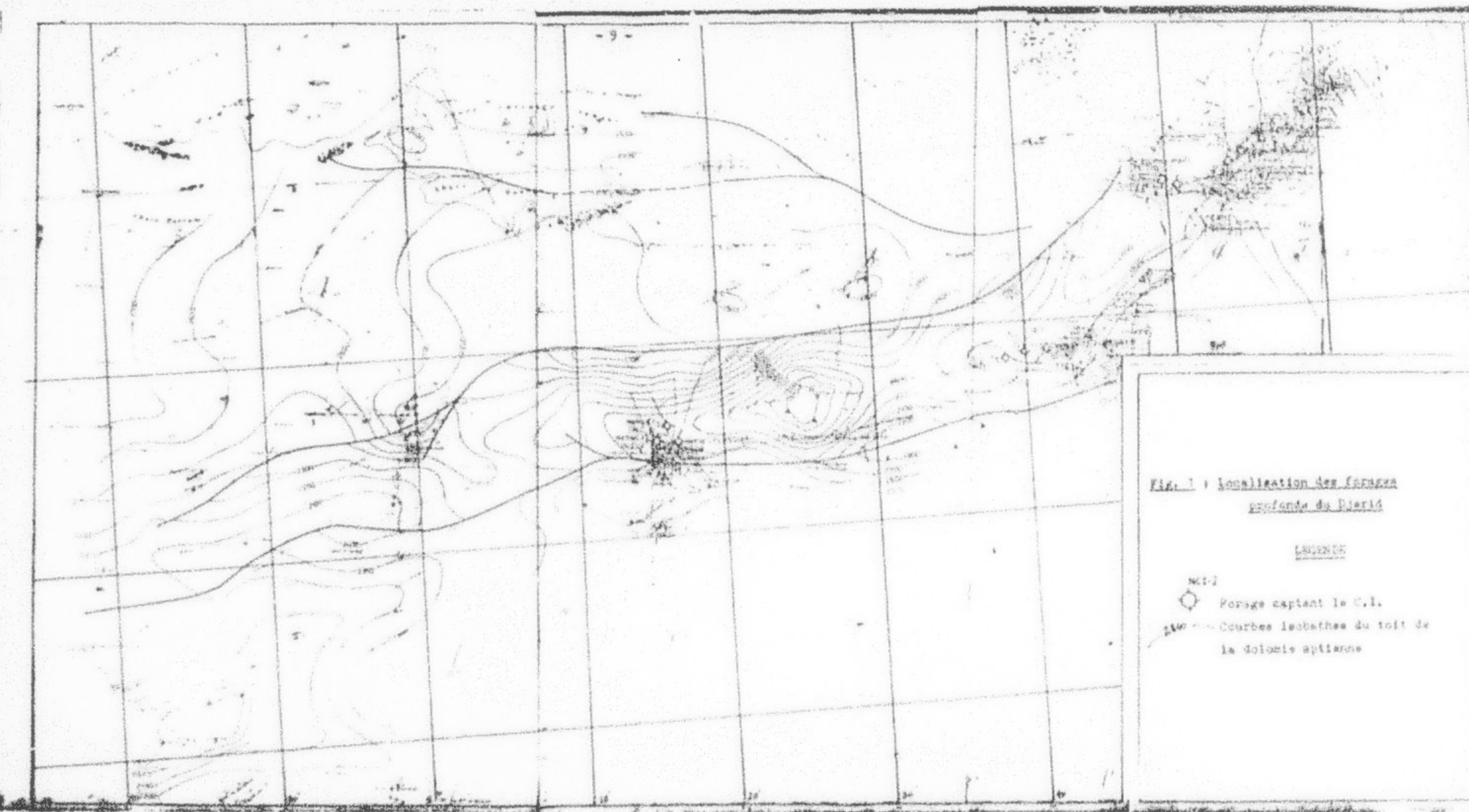
1-1 Stratigraphie : La géologie du Djérid, compris sur le plan stratigraphique les étages suivants : le bas en haut :

a- Jurassique : sous le Djérid, cet étage n'a jamais été rencontré mais on connaît au niveau du forage de Djer Aroua (Z.A.-1) situé à la frontière algérienne. Il se présente sous forme de trois sous étages.

- Jurassique Inférieur (-5700 m à -3471m) : Essentiallement calcaire et dolomitique avec de rares intercalations argileuses et anhydritiques

- Jurassique Moyen (-3471 m à -3323 m) : Calcaire
- Jurassique Supérieur (-3323 m à 5050m) : Alternances de calcaires et de marbes avec apparition de séquences mable-grisesunes vers le sommet.

.../...



Le Jurassique est donc essentiellement carbonaté. Il est ainsi en nette opposition avec le Crétacé Inférieur. Il est donc possible de le distinguer de celui-ci rien qu'en se basant sur le faciès des formations à recouper.

En comparant les données du forage Bou Aroua à la carte du toit du Jurassique Supérieur établie par Mobil en 1975 (fig. 2). On constate une parfaite concordance du toit du Jurassique avec les courbes Isobathes du Jurassique Supérieur laissant prévoir un approfondissement au niveau de tout le Djérid ce qui permet de conclure que sous le Djérid ne sera jamais atteint au Djérid à moins de 300m le profondeur. Ceci implique, pour les forages de reconnaissance ayant pour objectif le recoupage de la totalité du Crétacé Inférieur une profondeur de reconnaissance de cet ordre de gravier.

b-1 Crétacé Inférieur :

Avec les trois premiers forages de reconnaissance réalisés au niveau de Mahassen, N'eur et Nefta, seule la partie Supérieure du Crétacé Inférieur correspondant à l'Albien, à l'Aptien et partiellement au Barrémien a été rencontrée. Le Néocomien reste à reconnaître tant sur le plan faciès que sur le plan épaisseur. L'intérêt du Néocomien réside dans le fait qu'il n'est assez plus grossier et meilleur aquifère dans la région du "sillon des chotts" (Chott Fedjaj et Neftaoua). C'est pourquoi la question qui restait posée avait pour objet une meilleure connaissance de ce Néocomien du Djérid pour s'assurer de la position de cette zone par rapport à l'axe du sillon des chotts. C'est pour cette raison qu'on est venu à distinguer ici, dans le Crétacé Inférieur entre les formations qui se trouvent au dessus de la "dolomie aptienne" et celles qui sont plus bas et pour celles ci, on a à s'assurer si on a un seul faciès plus ou moins homogène comme c'est le cas sur la plate-forme saharienne ou plusieurs faciès comme c'est le cas dans la région du sillon des chotts.

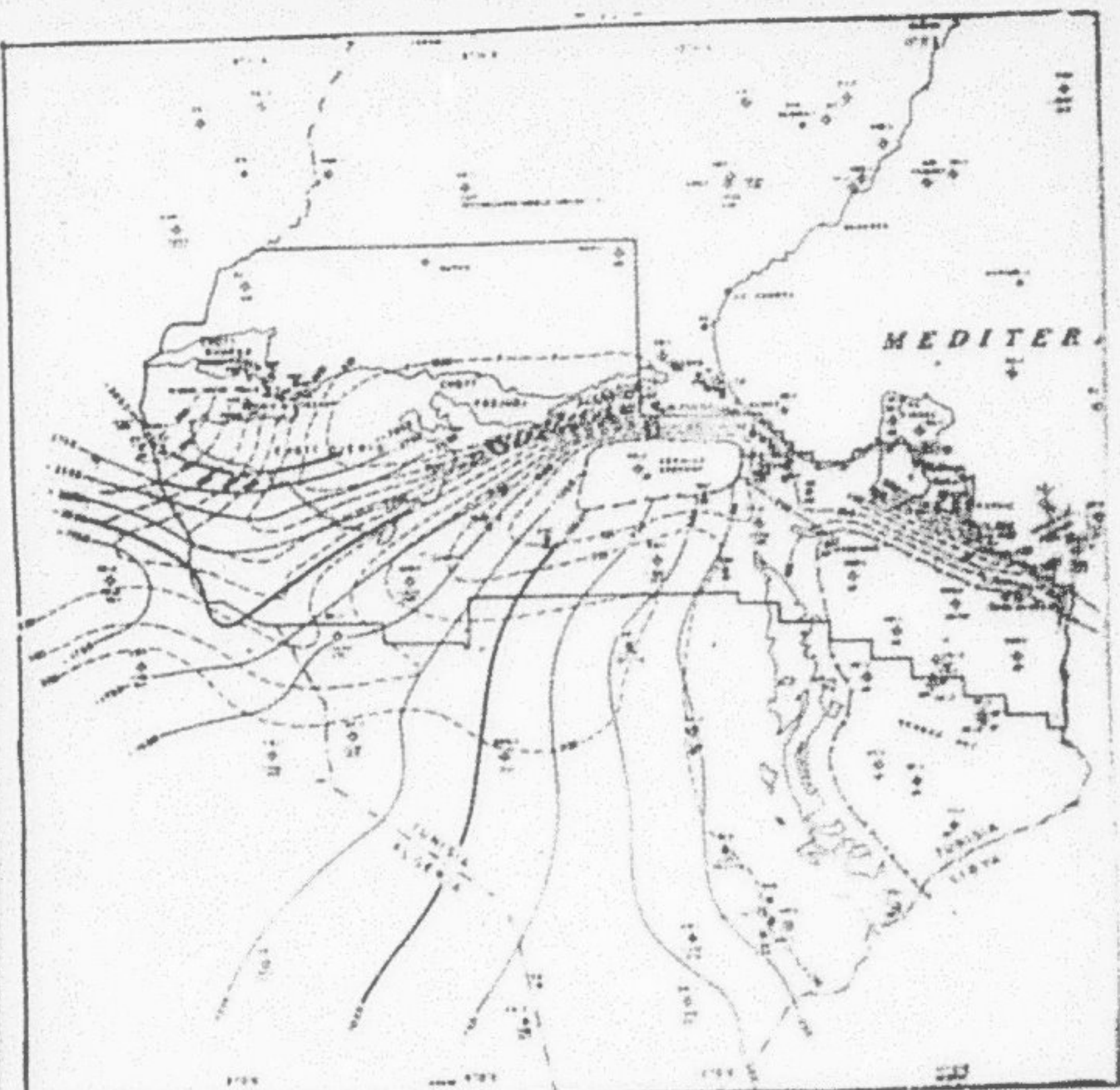
b-1 Néocomien : Comme cet étage n'a jamais été reconnu par sondages sous le Djérid, les seuls renseignements qu'on possède sur son faciès et son épaisseur proviennent des forages limitrophes à la région et de la prospection pétrolière de l'Orbital en 1975.

La carte du toit du Néocomien (figure n° 3) situe le toit du Néocomien à 1921 m tout en lui donnant une épaisseur de 116m. Ce qui fait que le mur se trouve à -2987m (toit du Jurassique Supérieur).

En revenant à la coupe du forage Bou Aroua (BAH-1) on constate que cette épaisseur n'est pas en réalité, ce qui a été considéré comme étant Néocomien à Bar Aïtien. Cette carte fait une abstraction de la présence du Barrémien dans le Sud tunisien et affecte le faciès qui lui devient au Néocomien Supérieur ce qui nous semble non conforme à la réalité.

Le forage de Bou Aroua (BAH-1) situe le toit du Néocomien à -2636 m, EN lui donnant ainsi une épaisseur de 402 m avec un faciès essentiellement argilo-sableux où les argiles prédominent.

.../...



Mobil Exploration Tunisia Inc.

WEDDING PERMIT
TOP UPPER JURASSIC
REGIONAL STRUCTURE CONTOURS
WITH
ISOPACH

EXHIBIT 1B

Fig. 2 : Carte du toit du Jurassique (Mobil, 1975)

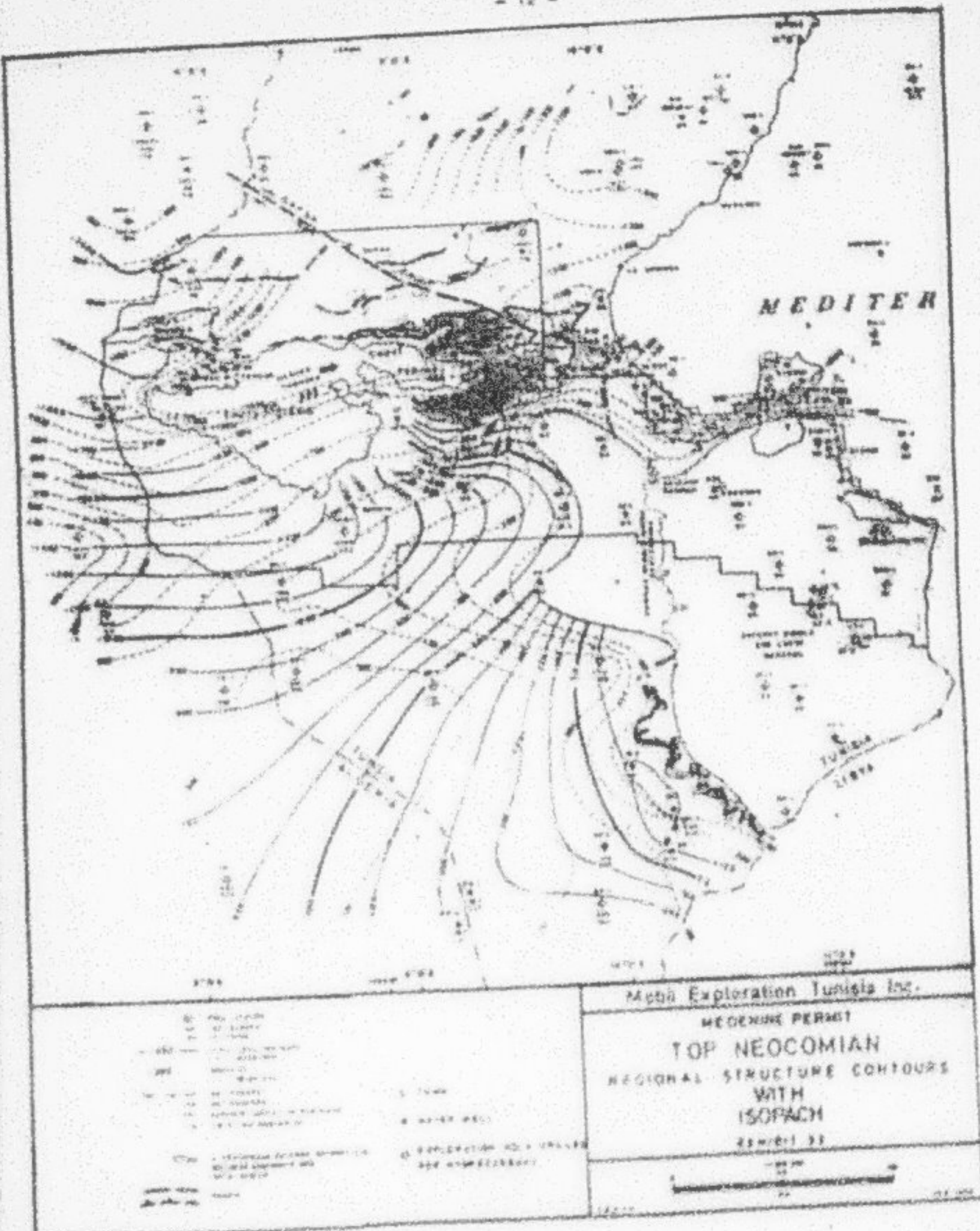


FIG. 3 : Carte de toit du Neocomien (Mobil, 1975)

En se référant à l'épaisseur du Néocomien et à la nature lithologique de son faciès, on ne peut à l'évidence qu'il soit différent de celui du millier des chotts qui est plus épais (plus de 1000m) avec des séquences sable-gréseuses plus développées d'une perméabilité plus importante.

La carte du réservoir utile produite dans le cadre du projet ERGESS (1972) ainsi que les autres cartes spécifiques au Continental Intercolonial (12) montre que le réservoir utile du CI, se situe dans la région du Djérid et de Sou Arroua à une profondeur qui correspond au Barrésien recoupé par Sou Arroua (BAS-1) et non au Néocomien. De ce fait, on considère que le Néocomien est peu intéressant sur le plan hydrogéologique dans la région du Djérid.

b-2 Barrésien :

Le forage de Sou Arroua (BAS-1) a montré que le mur du Barrésien se situe à environ 120 m et non tout à +187 m à 28. Il se présente sous forme d'unes alternances de séries détritiques et argileuses dont l'épaisseur des séquences détritiques est de quelques mètres à 60m.

Cette épaisseur augmente vers le sommet où les sables deviennent prépondérants. C'est cette partie du Crétacé Inférieur qui a été considérée par le projet ERGESS comme étant le réservoir utile.

Le Barrésien a été décrit par G. DELAHAYE comme étant "la série griseuse la plus épaisse, la plus étendue, la plus grossièrement détritique et la plus homogène de tout le Mésozoïque de la plateforme saharienne" (13) (p91).

Comme le souligne G. DELAHAYE, la limite supérieure du Barrésien n'a jamais été datée par des faunes mais elle constitue un bon repère sur tout le Sahara oriental du moment qu'elle se démarque nettement des argiles de "la barre aptienne". C'est grâce aux diagraphies des forages que cette limite est précisée avec la minimale d'erreur.

La carte des isopiques du Barrésien produite par G. MISON (13) (+, 525-53) contre l'épaisseur des couches en allant vers le Djérid. L'épaisseur du Barrésien atteint ainsi sous le Djérid plus de 500 m ce qui est en parfaite concordance avec le forage de Sou Arroua qui donne une épaisseur de 764m. C'est de cet ordre de grandeur que semble être l'épaisseur du réservoir utile sur l'estranie de la région du Djérid. Cette épaisseur est à prendre chaque fois à partir de la base de la dolomite aptienne.

b-3 Albian :

L'Albian est reconnu dans la carte dépotitive qui présente une épaisseur allant de 50 à 100m intercalée dans une couche détritique correspondant au Barrésien et se terminant à l'Albian Supérieur.

En réalité la dolomite massive surmontant les sables et donc sous le nom de "la dolomie aptienne" a un âge qui correspond l'Albian Supérieur (Bouquien ou Garguien) (14).

.../...

On a de plus en plus tendance à reconnaître dans les sables blancs qui précèdent cette dolomie une partie de l'Aptien. Même si au niveau des limites de l'Aptien des imprécisions persistent sur le plan stratigraphique, sur le plan litho-faciès, on considère la partie carbonatée comme étant spécifiquement caractéristique de l'Aptien. Une étude des lithofaciès plus détaillée permettra de mieux distinguer les formations susceptibles de constituer des roches aquifères.

Au niveau du forage Bou Aroua (BAR-1), la dolomie aptienne se situe entre -1872 m S.N.M et -1854 m S.N.M (38 m).

La carte des isobathes "le toit de la dolomie aptienne" (STAP, 1985) donne une altitude du toit de cette dolomie au niveau du forage Bou Aroua qui est à -2000 m S.N.M. Ce qui dénote un décalage avec la position effective de ce toit qui est de l'ordre de 200m. En fait cette carte est notre seul document de synthèse pour localiser le toit du réservoir utile du Continental Intercalaire c'est pourquoi il s'avère nécessaire de l'examiner en détail pour s'assurer de sa conformité à la réalité. Cet aspect de vérification et de critique sera fait quand on va examiner les coupes des forages réalisés au niveau du Djerid.

L'Albien à l'incontro de l'Aptien est très mal défini. Les seuls documents qui permettent de cerner la position de son mur, de son toit et son épaisseur sont : la carte du toit de la dolomie aptienne précédemment décrite et la carte de la Mobil (1975) spécifique au toit de l'Albo-Aptien. Le forage de Bou Aroua, permet de vérifier ces deux cartes et décrit les faciès rencontrés.

Comme la carte du toit de la dolomie aptienne est à prendre avec réserve au niveau de Bou Aroua, il ne reste que la carte du toit de l'Albo-Aptien (figure n°4). Cette carte présente un approfondissement du toit des couches isobathes de l'Albo-Aptien en allant de la plate-forme saharienne vers le Djerid. Au niveau de Bou Aroua, la profondeur du toit de l'Albien est à -1677 m S.N.M. Ce qui est conforme aux données du forage. D'après la même carte, l'épaisseur de l'Albo-Aptien, sur toute l'étendue du Djerid se situe entre 100 et 200 m. La coupe du forage de Bou Aroua permet de préciser que l'Albien se présente sous forme d'un faciès argilo-sableux.

.../...

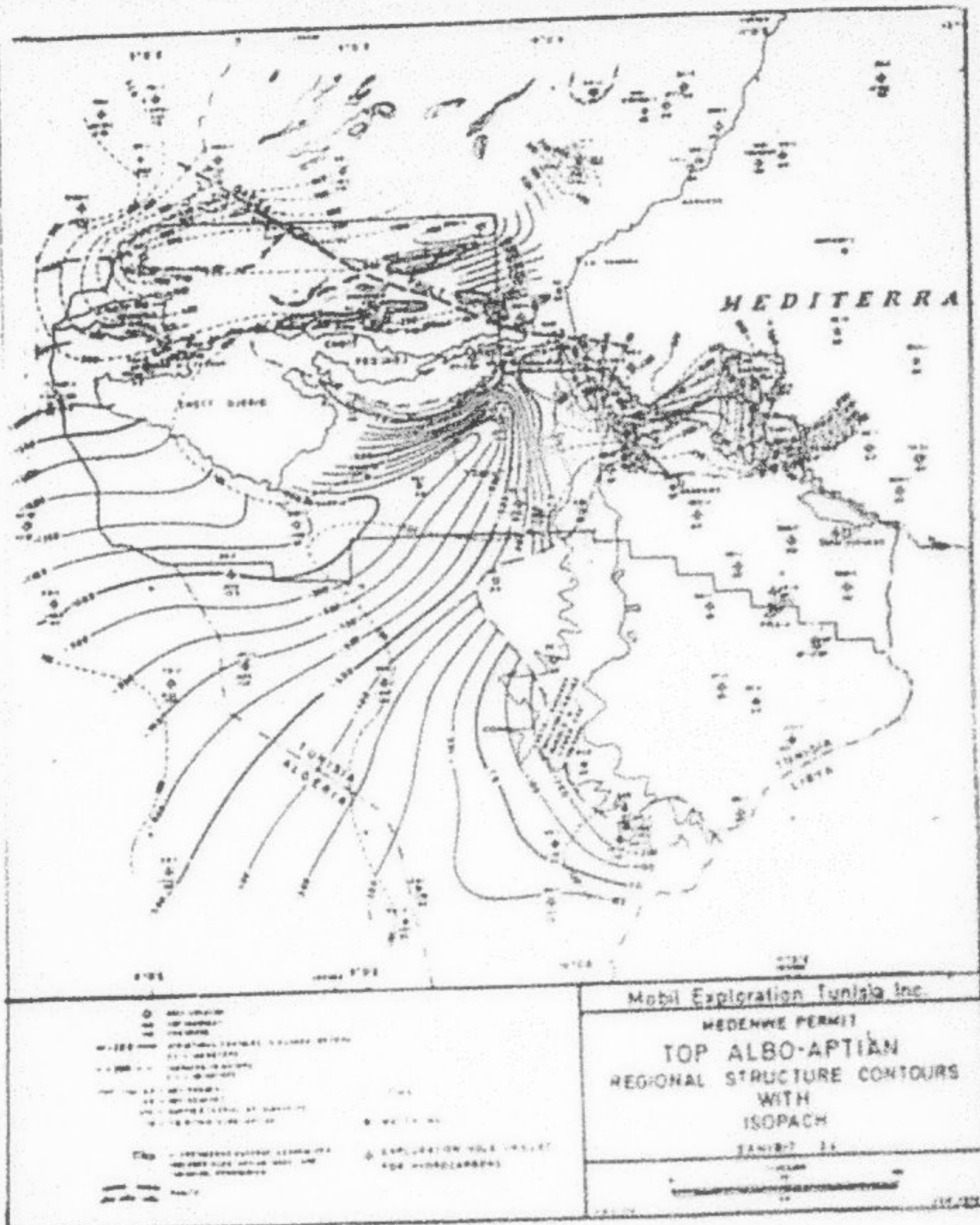


Fig. 4 : Carte du toit de l'Albo-Aptien (Mobil, 1975)

Tenant compte du fait que l'Albien est relativement peu épais par rapport au Barrémien et qu'il est lithologiquement moins perméable, son rôle hydrogéologique dans la véhiculation de la nappe du Continental Intercalaire reste limité et même s'il contient de l'eau elle ne peut être que plus salée que celle logée dans le Barrémien ou bien c'est que les formations sont beaucoup plus argileuses.

o- Yacouien-Génoisien :

L'étude du Génoisien n'est évoquée dans ce cadre que pour le fait qu'il constitue le toit du Crétacé Inférieur. C'est donc le sur du Yacouien-Génoisien qui est significatif dans notre cas.

Sur le plan lithologique, la partie du toit de l'Albion-Optien (Mouti, 75) est un bon repère. Sur le plan lithofaciès, le forage de Bou Arroua montre que c'est une formation dolomitique d'une épaisseur de 100 m qui fait débuter le Jurassique. C'est donc avec la fin de l'Albien et le début de la barre dolomitique génoisienne que prend fin le Crétacé continental et se confirme le Crétacé Supérieur marin. Cette subdivision stratigraphique et lithologique ne correspond pas parfaitement à la subdivision hydrogéologique du moment que le réservoir marie-du-Continental Intercalaire est limité aux formations marécageuses par le Jurassique Supérieur carbonaté et le dolomie optienne.

L'épaisseur du Crétacé Inférieur au niveau du Djérid (fig. 5) reste relativement importante (1500 à 2500 m) ce qui nous situe dans le même domaine que celui du sillon des chotts mais c'est les facies qui sont différents.

1-2 Lithofaciès et calicénogénésis :

1-2-1 Lithofaciès du Crétacé Inférieur :

L'étude des lithofaciès du Crétacé Inférieur a été abordée pour la première fois en Tunisie Centrale par P.Y. BOURILLAT en 1956 (1). Il y en a distingué de bas en haut :

1- Formation des argiles de Didi Khalil : Cette formation appartient au Jurassique Supérieur, faciès de Malarsini. C'est une formation essentiellement argileuse avec quelques intercalations de calcaires.

2- Formation de Melouza : (Gantarien-Barrémien) : faiblement detritique à la base, cette formation devient argileuse puis carbonatée vers le sommet. A l'Est du bassin de Gafsa cette formation est plus detritique, elle se présente avec un manteau dolomitique au milieu encadré avec des alternances d'argiles et de sables.

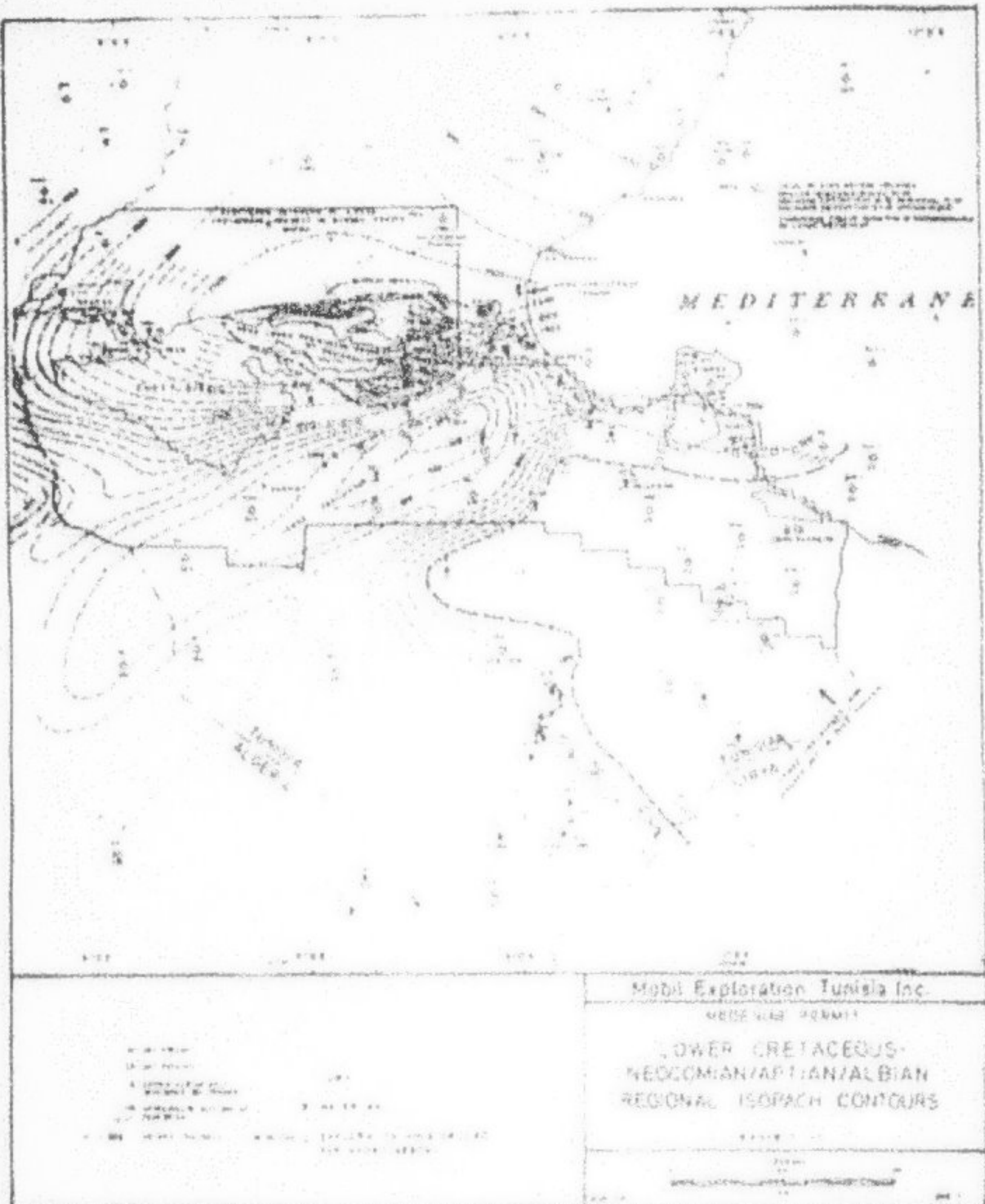


Fig. 3 : Epaisseur du Crétacé Inférieur (Mobil, 1975).

3- Formation de Bou Dinar (Barrémien) : "sables blancs rarement jaunâtres à grains fins irrégulièrement lités avec quelques intercalations de dolomie" (15 p44)

4- Formation de Gafsa : (Albo-Aptien) on y différencie trois membres de bas en haut :

4-1 Membre de Bou Hedma : (Aptien) : Alternances des grès, des calcaires et des argiles avec parfois du gypse.

4-2 Membre des sables de Sidi Aich (Aptien) : Sables blancs fins bien classés avec rarement de bancs calcaires.

4-3 Membre Orbata (Aptien-Albien) : Essentiellement des calcaires et des dolomies avec un pourcentage variable de marnes et de grès. Ce membre dénote par une dalle dolomitique dénommée "dolomie aptienne".

Les meilleurs repères lithostratigraphiques à l'échelle régionale parmi ces formations du Crétacé Inférieur sont de bas en haut :

- Les argiles de Sidi Kralif
- Les sables de Bou Dinar
- Les sables de Sidi Aich
- La dolomie aptienne

Dans le cas d'une reconnaissance à l'aide de forages profonds basée seulement sur l'étude des faciès, la dolomie aptienne constitue un premier repère. Elle est suivie par les sables de Sidi Aich. Les sables de Bou Dinar sont variables dans leur épaisseur et leur lithologie. Les membres de Bou Heima et de l'Orbata subissent aussi beaucoup de variations lithologiques ainsi que des variations d'épaisseur. Il est parfois difficile de distinguer la formation Melloussi de celle de Sidi Kralif à cause de leurs natures argileuses. Il arrive, qu'elles soient traitées ensemble sous le nom "des argiles vertes du Crétacé Inférieur".

Sur le plan hydrogéologique, on considère que les sables de Sidi Aich et les sables de Bou Dinar sont les deux seules formations susceptibles de constituer de bons aquifères.

C'est donc en se référant à ce schéma lithostratigraphique du Crétacé Inférieur qu'on tentera, à travers les forages du Djérid de dégager les caractéristiques (épaisseur, mur, toit de chaque formation dans l'objectif de préciser la notion du réservoir utile du CI au niveau du Djérid.

* Nous la distinguerons dans les forages sous le nom de "la formation Gafsa".

1-2-2 Caractéristiques des lithofaciès du CI à travers les forages :

Nous aborderons cette description en commençant par la partie ouest tout en allant vers l'Est. Le forage de Bou Aroua (BAR-1) servira de repère.

a- Forage de Bou Aroua (BAR-1) De bas en haut (Annexe 1) :

- Sidi-Kralif (-5038 à -2581m) : Formation essentiellement argileuse. C'est plutôt le faciès Sidi Kralif qui est prédominant.
- Bou Dinar (-2581 à -2120m) : Alternances de sables et d'argiles
- Bou Hedma (-2120 à -2035m) : Argiles avec peu de sables et de calcaires
- Sidi Aïch (-2035 à -1895m) : Sables fins avec un banc calcaire au milieu
- Dolomie aptienne (-1894 à -1729m) : Alternances d'argiles et de sables

Ainsi la formation Melloussi est très peu caractéristique. Le membre Bou Hedma est moins carbonaté qu'il n'est avec son faciès typique. La dolomie aptienne est plutôt calcaire. Le membre Orbata est plus détritique que d'habitude.

Le réservoir utile semble se cantonner entre les sables de Sidi Aïch et les sables de Bou Dinar sur une épaisseur de 569m. Cette épaisseur rapportée à l'épaisseur totale du CI qui est de 1166 m nous donne un pourcentage de l'épaisseur des sables qui est de 49 %.

b- Forages de Nefta (Annexes 2 et 4) :

Les deux forages de Nefta dont les profondeurs respectives sont de 2154m et 2640m, n'ont recoupé que les formations suivantes faisant partie du Crétacé Inférieur ; De haut en bas :

Tableau n° 1 : Caractéristique des séries du CI au niveau de Nefta

Forage	Formation	Toit	Fond	Épaisseur	Faciès
Nefta CI1 19084/5	Orbata	1568	1914	346 m	Grès ferrugineux
	Gafsa	1914	1953	39 m	Dolomie
	Sidi Aïch	1955	2052	97 m	Grès blanc
Nefta CI2 19227/5	Orbata	1857	2005	148 m	Argile avec calcaire
	Gafsa	2005	2040	35 m	Dolomie grise + argile
	Sidi Aïch	2040	2145	105 m	Grès blanc
	Bou Hedma	2145	2246	101 m	Argile verte + calcaire
	Bou Dinar	2246	2560	314 m	Grès blanc

(+) : Cette côte correspond à la profondeur du forage.

Au niveau du forage Nefta CII, le membre Orbata semble être beaucoup plus développé qu'au niveau de Nefta CI2. (546 m contre 137m). En se référant à Bou Aroua, on déduit qu'il y a eu erreur dans la description de cette formation au niveau de Nefta CII.

Comme notre repère dans ce cas est la dolomie aptienne (Membre Gafsa), en se référant au Carrottage électrique qui fait apparaître cette dolomie avec une résistivité tout à fait particulière, on constate que dans le forage de Nefta CII, cette dolomie est entre -1914 et -1953m N NEM (39m) tandis que dans le forage de Nefta CI2, elle est entre -1974 m N 2030 m N NEM (56m). Ceci est conforme à la carte du toit de la dolomie aptienne (ETAP-83) qui donne une position de toit à Nefta entre -1900 et -2000m. Cette carte est donc beaucoup plus fidèle au niveau de Nefta qu'au niveau de Bou Aroua.

La nature lithologique du membre Orbata a beaucoup changé, on passe ainsi des grès ferrugineux vers des argiles et du gypse.

L'épaisseur de la dolomie aptienne est comparable entre les deux forages (39m et 56m). L'épaisseur donnée par Nefta CI2 est plus proche de celle de Bou Aroua.

Les sables de Sidi Aich qui dans le forage de Nefta CI n'ont été recoupés que sur 97m ne sont revêtus dans Nefta CI2 avec une épaisseur totale de 32m.

Le membre Bou Kedma est proche par son faciès de celui rencontré dans le forage de Bou Aroua tout en étant plus épais.

Les sables de Bou Dinar dont l'épaisseur totale à Bou Aroua est de 461 m ont été recoupé dans Nefta CI2 sur 176m seulement ceci est largement suffisant du moment que la moitié inférieure de cette formation est moins détritiques et les séquences gréseuses moins épaisses.

c- Forages de Tasseur (Annexes 3, 5 et 6) :

Les forages de Tasseur sont au nombre de trois. Ils ont atteint les profondeurs suivantes : Tasseur CII (n° IRI 19162/5) : 2062m, Tasseur CI2 (n° IRI 19224/5) : 2033m et Tasseur CI3 (n° IRI 19225/5) : 2002 m. Les formations rencontrées par ces forages sous le Zembag inférieur sont :

Tableau n° 2 : Caractéristiques des pâris du CI au niveau de Tasseur

Forage	Formation	Toit	Mur	Épaisseur	Faciès
Tasseur CII n° IRI 19162/5	Orbata	1954,5		75	Argile, dolomie et grès
	Gafsa		1674,5	43	Dolomie
	Sidi Aich	1674,5	1800,5	126	Grès blanc fin
	Bou Kedma	1800,5	1956,5	156	Argiles et grès
Tasseur CI2 n° IRI 19224/5	Orbata	1462	1601	139	Argiles et grès
	Gafsa	"	"	"	
	Sidi Aich	1601	1741	140	Grès blanc fin
	Bou Kedma	1741	1860	145	Argiles verticales
Tasseur CI3 n° IRI 19225/5	Orbata	1360	1666	306	Cinnaire et marnes
	Gafsa	1666	1709	43	Dolomie
	Sidi Aich	1709	1875	167	Grès blanc

.../...

La formation Orbata semble avoir sur tont très mal limité au niveau du forage CI ce qui résulte d'une mauvaise description du facies calcaire c'est pourquoi le tont de cette formation est anormalement profond dans ce forage en le comparant aux deux autres forages.

Le tont de la dolomie aptienne n'a pu être délimité avec précision que dans les deux forages Tasseur CI1 et Tasseur CI3. Cette dolomie semble difficilement décevable au niveau de Tasseur CI2 grâce à l'aide des diagraphies, la carte du tont de la dolomie aptienne (DIP, 1985) le situe au niveau de Tasseur aux alentours de -1600m / 1610m ce qui paraît conforme aux résultats des deux forages Tasseur CI1 et Tasseur CI3. Cette dolomie semble être anormalement développée au niveau de Tasseur CI2.

Les sables de Sidi Aïch qui sont captés par les trois forages de Tasseur ont une épaisseur qui oscille entre 131 m et 161m. Ceci fait une épaisseur moyenne de 140m identique à celle repérée au niveau du Bas Arrosa.

On peut considérer que les sables de Sidi Aïch concernent le même facies de grès blancs fins décrit à Bou Arrosa et à Nefla.

4- Forages d'El Hammam et de Degache (annexes 7 à 10) :

Ces forages ont en des profondeurs variant entre 1445 m et 1803m. Les caractéristiques des séries du Crétacé Inférieur recoupées par ces forages sont :

Tableau n° 3 : Caractéristiques des séries du CI au niveau d'El Hammam/Degache

Forage	Formation	Tont	Fou	Épaisseur	Facies
Degache CI1 19039/5	Orbata	673	1163	490	Miel, Miel et marne
	Gafsa	1163	1208	45	Dolomie
	Sidi Aïch	1200	1343	143	sables blancs fins
Degache CI2 19230/5	Orbata	1110	1129	19	Marne et grès
	Gafsa	1129	1171	42	Dolomie
	Sidi Aïch	1171	1243	72	Grès blancs
	Bou Medra	1243	1395	152	Argiles
	Bou Dinar	1396	1543	147	Grès blancs fins
Degache CI3 19231/5	Orbata	950	1129	179	Marne, grès et dolomie
	Gafsa	1129	1176	47	Dolomie grise
	Sidi Aïch	1176	1279	103	Grès fins rouges
	Bou Medra	1279	1515	236	Marne, grès et dolomie
	Bou Dinar	1515	1665	150	Argiles, grès et dolomie
El Hammam CI1 19260/5	Orbata	1184	1238	54	Marne, grès et dolomie
	Gafsa	1234	1285	51	Dolomie
	Sidi Aïch	1285	1468	183	Grès et argiles
	Bou Medra	1468	1637	169	Argiles, grès et dolomie
El Hammam CI2 19233	Orbata	1060	1328	268	Marne verte
	Gafsa	1320	1368	48	Dolomie et marne
	Sidi Aïch	1368	1510	142	Dolomie, grès et marne

.../...

Dans ce groupe seuls les deux forages de Dégache CI2 et Dégache CI5 ont recoupé partiellement la formation des grès de Bou Dinar sur une épaisseur variant entre 176 et 275m. Cette épaisseur est largement suffisante pour s'assurer des caractéristiques lithologique de cette formation qui devient plus argileuse vers la base.

Au niveau de Dégache CI2, il a été difficile de bien préciser la limite entre Bou Dinar et Bou Hedma. C'est pour cette raison que l'épaisseur admise pour Bou Hedma (51 m) est anormalement faible.

Les sables de Sidi Aïch ont une épaisseur qui varie entre 82 m et 183 m ce qui donne une moyenne de 132 m proche de celle recoupée par le forage de Bou Aroua (140 m). Ceci prouve que cette formation conserve son épaisseur sur toute l'étendue du Djérid.

La dolomie aptienne a une épaisseur qui oscille entre 51 m et 19 m. Il semble qu'elle devient moins épaisse en allant vers l'Est. Son épaisseur a été plus constante entre Tozeur et Bou Aroua.

La carte du toit de cette dolomie (ETAP, 1983) est non utile dans ce secteur du moment qu'elle n'intéresse pas cette partie du Djérid.

La formation Orbata se présente avec une limite supérieure qui, dans certains forages est difficile à situer avec précision surtout quand les calcaires du Zebbag Inférieur ne sont pas bien individualisés ceci fait que l'épaisseur de cette formation est très peu précise.

1-2-3 Paléogéographie au Crétacé Inférieur au niveau du Djérid :

Par sa position géographique, la région du Djérid se situe dans la zone de transition entre la plate forme saharienne et l'Ile de Kasserine ou "sillon de Gafsa". C'est donc une zone caractérisée par la sédimentation -au cours du Crétacé Inférieur- en bassins péri-atlantiques ou "bassins intracratoniques" (16) (p344).

Le Néoconien détritique d'une extension saharienne, se trouve au niveau du sillon de Gafsa essentiellement argileux ce qui dénote une position marginale par rapport aux directions des apports détritiques sahariens. C'est ainsi que s'expliquent les argiles de Sidi Kralif et la formation Melloussi.

Le stade regressif maximum du Crétacé Inférieur correspond au début du Barrémien caractérisé par ces apports détritiques sahariens venus du Sud produisant un vaste système pseudo-deltaïque (17). C'est sur la bordure du domaine subsistant du sillon des chotts et en continuité avec lui que se développe l'environnement du type fluviatile qui est responsable du dépôt des sables de Bou Dinar dont l'alternance entre les séquences gréseuses et les séquences argileuses plus ou moins évaporitiques souligne l'importance du régime fluviatile et ses regressions.

" La formation Bou Hedma correspond à des faciès intertidaux et parfois à des sebkhas" (18, p14). Ceci explique les changements de faciès et d'épaisseur que connaît cette série parfois même sur des petites distances.

La formation des sables de Sidi Aïch souligne une tendance régressive correspondant à un milieu littoral à fluviatile.

.../...

La dolomie aptienne est partout précédée dans les forages profonds du Djérid d'une série d'argiles rouges surmontant les sables de Sidi Aïch. Ces argiles rouges sont les premiers éléments d'une série évaporitique qui va se confirmer avec la dalle carbonatée bien individualisée. Ces évaporites (dolomie et anhydrite) se développent le long de la bordure septentrionale de la plateforme saharienne.

Avec la série Orbata les faciès littoraux ne font de moins en moins nets toutefois le caractère fluviatile s'annonce épisodiquement avec la prédominance des séquences détritiques.

Le caractère typiquement continental au sein de ces formations du Crétacé Inférieur est donc bien individualisé avec les séries de Bou Dinar et de Sidi Aïn. Les formations de Sidi Kralif, de Melloussi, de Bou Hedma et de l'Orbata dénotent donc des séquences soit à caractère intertidal ou littoral.

L'établissement d'une corrélation litho-stratigraphique entre les différents forages profonds du Djérid n'est pas ainsi pour les raisons suivantes :

- la position de ces forages par rapport à l'axe de l'anticlinal varie d'un site à l'autre. Les forages de Nefta et Tousseur se situent sur le flanc sud de la vallée de Tousseur tandis que les forages d'el Hammam et Dégache sont plus proches de l'axe de l'anticlinal

- le rôle des failles longitudinales et transversales n'a pas été bien illustré

- les changements latéraux de faciès semblent jouer un rôle important dans la nature lithologique et l'épaisseur des formations crétacées et tertiaires recoupées surtout que cette zone se trouve dans l'aire du sillon de Gafsa bordant l'île de Kasserine.

La figure (fig. 6) qui tente d'établir une corrélation litho-stratigraphique en se basant sur la nature lithologique des formations fait apparaître les phénomènes suivants :

- la disparition de l'Éocène (P. Metlaoui) quelque part entre Nefta et Hammam sous le recouvrement mio-plio-quaternaire mettant ainsi en contact direct les sables pontiens et les calcaires sénoniens

- des changements importantes dans l'épaisseur et la nature lithologique des formations suivantes :

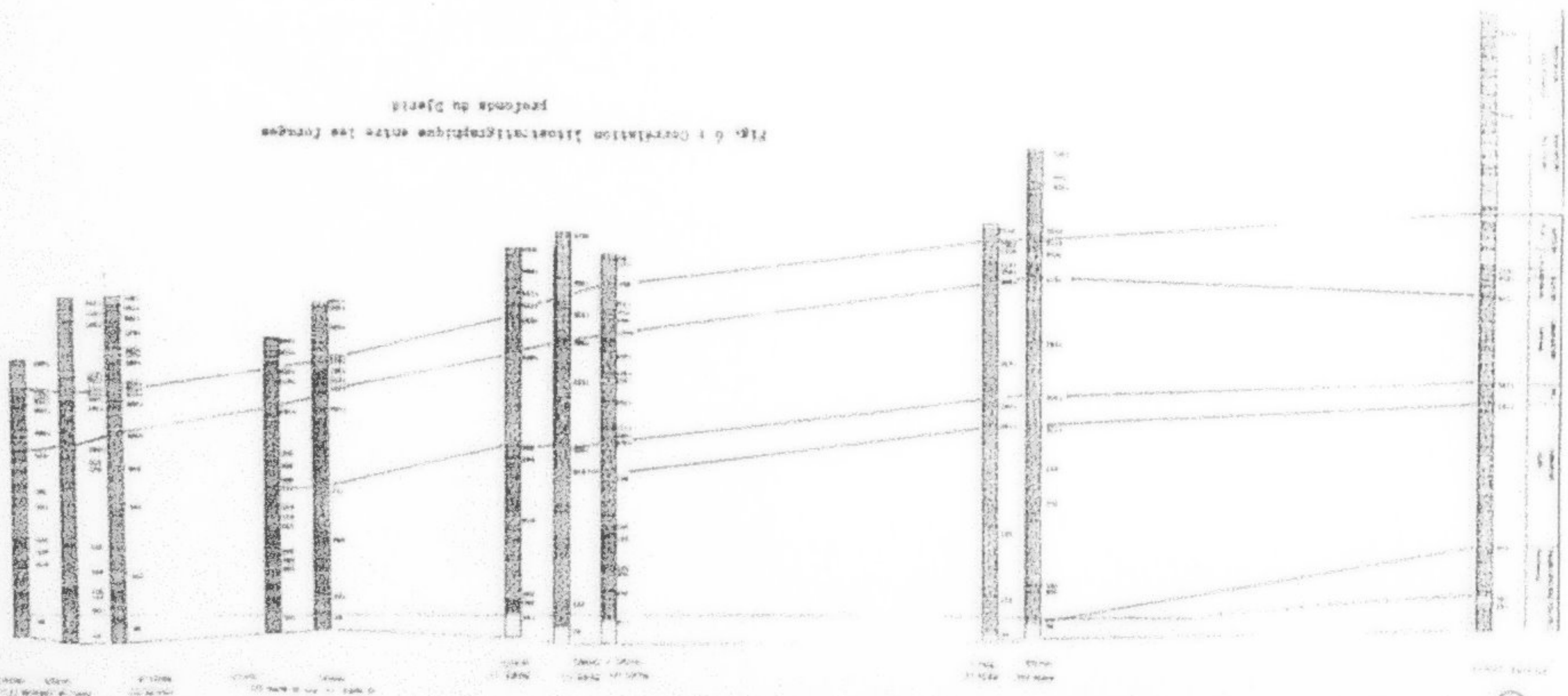
- . Le Sénonien : Entre Bou Arroua et Nefta. Il est plus développé avec prédominance des calcaires au niveau de Nefta et de Tousseur. Le faciès marno-calcaire n'apparaît dans le secteur d'el Hammam-Dégache.

- . Le Turonien : repéré par sa dalle dolomitique semble conserver une épaisseur plus ou moins homogène entre Bou Arroua et Tousseur. C'est au niveau de Tousseur OII que cette épaisseur est un peu réduite.

Au niveau d'el Hammam, le faciès dolomitique est difficilement identifiable.

.../...

Fig. 6. Correlation between different segments of the tongue
seconds de Dijeté



3

8

. Le Cénomanien : C'est l'étage qui semble présenter le plus de changements de faciès et d'épaisseur. Sa limite inférieure est mal définie ce qui fait qu'il y a une grande confusion entre lui et l'Albien surtout dans la partie Est d'El Hammam Dégache où le pendage des couches et la tectonique cassante semblent avoir joué un grand rôle dans la réduction de l'épaisseur de ces deux étages.

Les seules distinctions qui sont possibles à établir à partir de la description lithologique des faciès se limitent au :

- Mio-Pliocène continental sablo-argileux
- Crétacé marin franchement carbonaté (suivi du Tertiaire carbonaté dans la partie occidentale)
- Crétacé Continental sablo-gréseux et argileux englobant une partie de l'Albo-Aptien.

1-2-4 Réservoir utile du Crétacé Inférieur :

Sans aller au stade de pousser la notion du réservoir utile pour la baser sur une valeur de la perméabilité de la formation déterminée à partir d'une diagraphie comme il a été fait dans le cadre de l'ENR (18). On considère comme réservoir utile la portion du réservoir qui est susceptible de contenir de l'eau et de la libérer dans la limite des pressions et des décompressions qui peuvent subir les nappes d'eau souterraine.

En se basant sur l'examen des diagraphies réalisées sur les différents forages profonds du Djérid, on a tenté de dégager le pourcentage en épaisseur detritique (sables ou grès) par rapport à l'épaisseur totale du CI recoupée par le forage et qui se situe plus bas que la dolomie aptienne (F. Gafsa). Le tableau suivant résume les résultats obtenus.

Tableau n° 4 : Pourcentage du sable dans les formations du Crétacé Inférieur
Recoupées par les forages du Djérid

Forage	N° IRH	Épaisseur du CI	Épaisseur sable	% sable
Dégache CI1	19039/5	135	42	31 %
" CI2	19251/5	390	155	39 %
" CI3	19251/5	489	201	41 %
El Hammam CI1 ^b	19233/5	150	85	56 %
" " CI2	19260/5	288	125	43 %
Tozeur CI1	19162/5	140	68	48 %
Tozeur CI2	19224/5	620	241	39 %
Tozeur CI3	19225/5	167	115	69 %
Nefta CI1	19084/5	90	37	41 %
Nefta CI2	19227/5	520	273	52 %
Bou Aroua	2AM-1	1166	569	49 %

.../...

De ce tableau apparaît que le pourcentage moyen de l'épaisseur des formations détritiques est de 47 % de l'épaisseur totale. Comme cette épaisseur correspond à des sables et grès plus ou moins poreux on estime que la porosité effective de ces formations n'excède pas 30 % ce qui permet de conclure qu'en conservant tout le Crétacé Inférieur comme une seule formation susceptible d'être aquifère, sa porosité effective maximum au niveau du Djerid est dans le meilleur des cas de l'ordre de 14 %. Cette valeur descend à 5 % pour un sable dont la porosité est seulement de 10 %.

L'épaisseur utile de la formation semble correspondre essentiellement à celle des sables de Sidi Aich et en partie à celle des sables de Bou Dinar. Comme, on l'a vu précédemment, l'épaisseur de la formation Sidi Aich est quasi-constante et tourne autour de la moyenne des séquences détritiques qui est de 172m. Ceci implique la nécessité de considérer une partie des sables de Bou Dinar comme faisant partie de l'épaisseur utile du réservoir du CI.

En observant les captages réalisés dans les forages profonds du Djerid on constate que tous ces forages, à l'exception de Nefta CI2, ne captent que les sables de Sidi Aich, le forage de Nefta CI2 présente un captage qui intègre les sables de Sidi Aich et ceux de Bou Dinar.

En dehors du forage de Nefta CI1 qui n'a capté qu'une partie de la formation de Sidi Aich, les autres forages semblent avoir capté au moins les 50 % du réservoir utile ce qui écarte l'hypothèse d'une basse production du puits causée par une épaisseur de captage insuffisante. C'est donc à un autre niveau autre que une faible épaisseur de captage qu'il y a lieu de chercher l'origine du débit artésien anormalement faible au niveau de certains forages captant le CI du Djérid.

En se référant aux deux figures (fig. 7a et fig 7b), on constate que la nature lithologique des formations du Crétacé Inférieur qui préobdent la dolomie aptienne correspondent bien à une sédimentation continentale du type fluvi-lacustre avec un pourcentage en éléments fins qui est plus développé. Les séquences détritiques sont constituées de sables plus ou moins consolidés à granulométrie fine. Les séquences argileuses sont essentiellement argileuses avec intercalations de gypse. Ceci est indicatif d'un régime d'écoulement à vitesse faible sur une aire qui se situe en dehors de l'axe du cours d'eau principal.

L'épaisseur des séquences sableuses n'a été relativement importante qu'au niveau de Nefta CI2 et Regache CI2. La présence de sables purs a été vérifiée à l'aide des enregistrements sismographiques mais, ces sables semblent être cimentés.

C'est vers le sommet de la formation que l'épaisseur des séquences est de plus en plus réduite et que la fréquence des séquences argileuses est plus importante.

.../...

N° DCE 19233/5

H2 + 87,25m

N° DCE 19260/5

H2 + 87,25m

N° DCE 19251/5

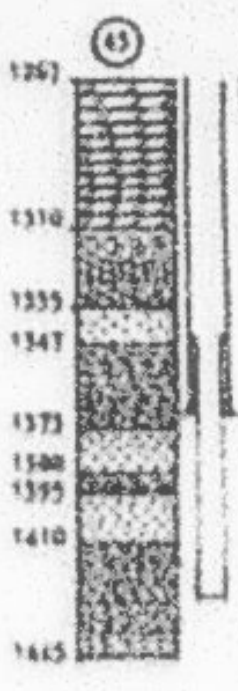
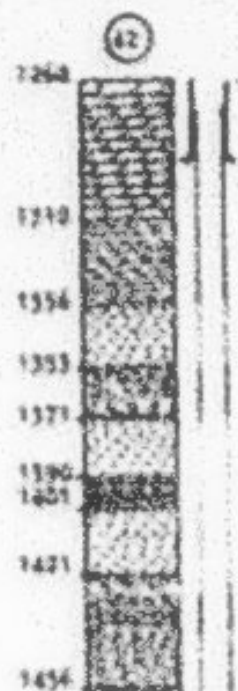
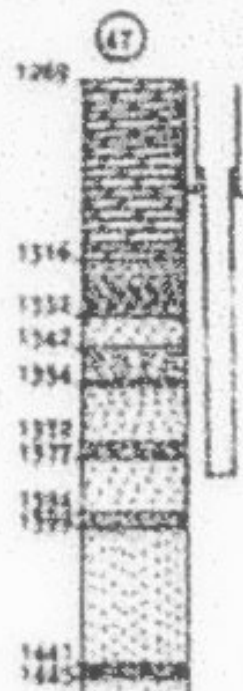
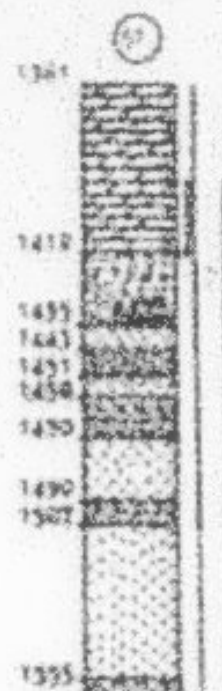
H2 + (140)

N° DCE 19236/5

H2 + 150,2m

N° DCE 19238/5

H2 + 162,34m



H2 + 74,5m
G + 69,3/m
H2 + 7,69 g/l
T + 21°C

5995
1609
1628
1630

1673

1700

H2 + 47,5
G + 70,3/m
H2 + 2,69 g/l
T + 21°C

1490
1515
1530
1532
1540

1672

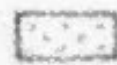
1700

H2 + 47,5
G + 66,3/m
H2 +
T + 21°C

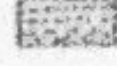
1494
1531
1532
1533
1534
1535
1536
1537
1538
1539
1540
1541
1542
1543
1544
1545
1546
1547
1548
1549
1550
1551
1552
1553
1554
1555
1556
1557
1558
1559
1560
1561
1562
1563
1564
1565
1566
1567
1568
1569
1570
1571
1572
1573
1574
1575
1576
1577
1578
1579
1580

H2 + 42m
G + 75,3/m
H2 +
T + 22°C

Fig (7a) : Profils du CI dans les forages de Dighab et al Bassas.



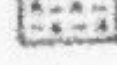
Sable et grès



Argile et marne



Sable argileux



Argile argileuse et silicee

ROCK C.I.
N° 200 1922/1
A 11 x (km)

ROCK C.I.
N° 1922/1
A 11 x (km)
111 x 102,3m

ROCK C.I.
N° 200 1922/3
A 11 x (km)

ROCK C.I.
N° 200 1922/3
A 11 x (km), 7m

ROCK C.I.
N° 200 1922/3
A 11 x (km)

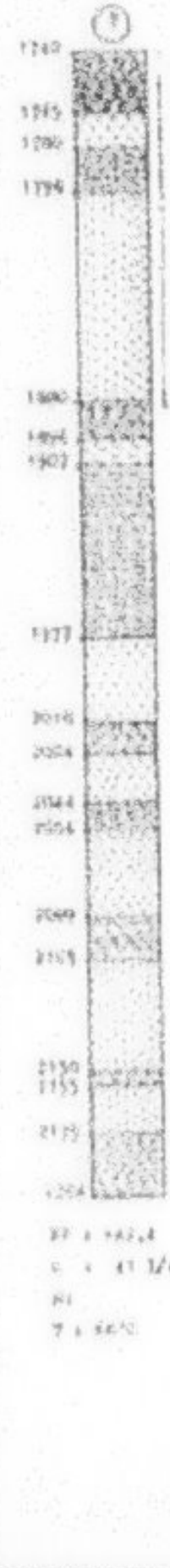
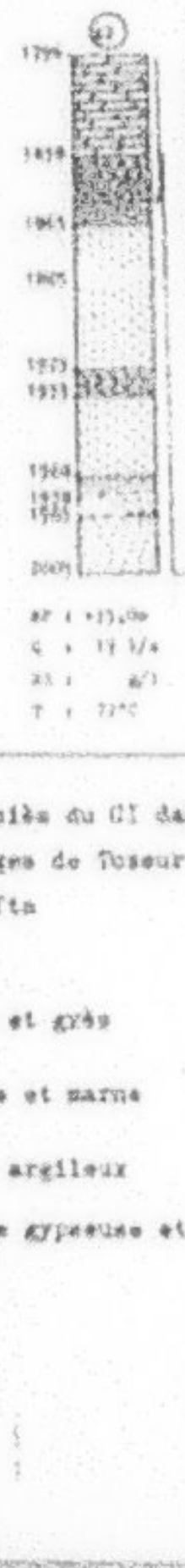
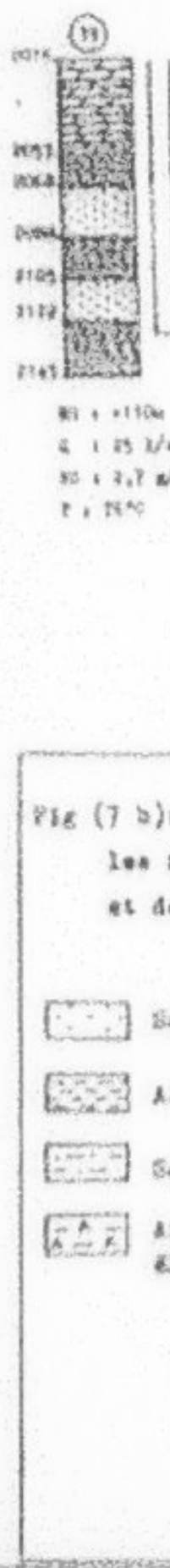


Fig (7 b): Profils du CI dans les forages de Tasseur et de Nestin

- [S] Sable et grès
- [A] Argile et marne
- [S-A] Sable argileux
- [A-G] Argile gypseuse et gypse

A 1 1/4
G + 41 1/4
H
T + 28°C

1177
1146
1134
1124
1113

1150
1155
1175
1184

A 1 1/4
G + 41 1/4
H
T + 28°C

1-3 Tectonique :

Les deux documents qui nous renseignent, d'une façon plus ou moins précise sur la tectonique du Djérid sont :

- La prospection sismique effectuée en 1975 par la MOBIL
- La carte du toit de la dolomie aptienne (ETAP, 1983).

1-3-1 Résultats de la prospection sismique du Djérid (MOBIL, 1975) :

Toutes les cartes des isobathes et des isophares des formations situées entre le Jurassique Supérieur et l'actuel montrent la percistance d'une cuvette periclinale centrée sur l'actuel emplacement du chott Djérid avec épaisseissement des couches au niveau du sillon des chotts. C'est surtout le toit du Jurassique Supérieur et celui de l'Albo-Aptien qui montrent un approfondissement en allant de la plate-forme saharienne vers la région du Djérid. De ce fait les couches du Crétacé Inférieur semblent connaître un certain approfondissement venant de la plateforme saharienne sans, toutefois, qu'il ne soit possible de préciser davantage le comportement de ces couches, sur le plan tectonique, au niveau du Djérid proprement dit.

C'est en revenant aux profils sismiques qui sont au nombre de quatre au niveau du Djérid (entre Tozeur et Hassoua), on constate au niveau du profil (MT - 95) passant par chott el Rharsa au NW entre Hassoua et Nefta au SE que les deux marqueurs qui délimitent les formations du Crétacé Inférieur sont :

Les calcaires du Jurassique Supérieur, la dolomie aptienne et les calcaires du Zebbag Inférieur. La "ride de Tozeur" est marquée au niveau de Nefta sur ce profil par un bombardement anticinal d'une courbure nette par rapport à la concavité que prennent les couches sous chott el Rharsa (fig. 8).

De même le profil MT-105 + MTB - 103 orienté NW-SE passant entre la frontière algérienne et la chott Djérid montre la même allure des couches avec une zone en cuvette entre le Draa Djérid et Chott el Rharsa. Le chott el Rharsa se trouve aussi localisé sur un autre bombardement anticinal. Il est bordé sur sa bordure Sud par un accident profond qui affecte toute les couches situées entre le Trias et le Tertiaire.

La carte des isobathes d'un marqueur du Crétacé Supérieur produite dans le cadre de la même étude montre que le Draa Djérid est affecté par deux accidents d'orientation E-W entre Tozeur et Nefta. Il n'est pas exclu que ces deux accidents longent la limite sud du Chott el Rharsa. Le mouvement vertical de ces accidents ne semble pas dépasser 100 à 250 m par endroits (fig. 9a et 9b).

1-3-2 Carte du toit de la dolomie aptienne : (ETAP, 1983) :

Cette carte souligne l'importance des trois accidents 2-4 précédemment cités tout en marquant la ride de Tozeur comme bombardement anticinal centré sur le Djérid. La zone située entre le Djérid et chott el Rharsa se présente comme une gouttière synclinale à fond plat. D'après cette carte la notion de "ride" est nette sur l'ensemble de Djérid qui se trouve ainsi en surélévation relative par rapport aux deux compartiments qui le bordent au Sud et au Nord.

Cette tectonique semble affecter toutes les formations antérieures au Miocène ce qui correspond aux mouvements atlasiques équivalents des mouvements alpins.

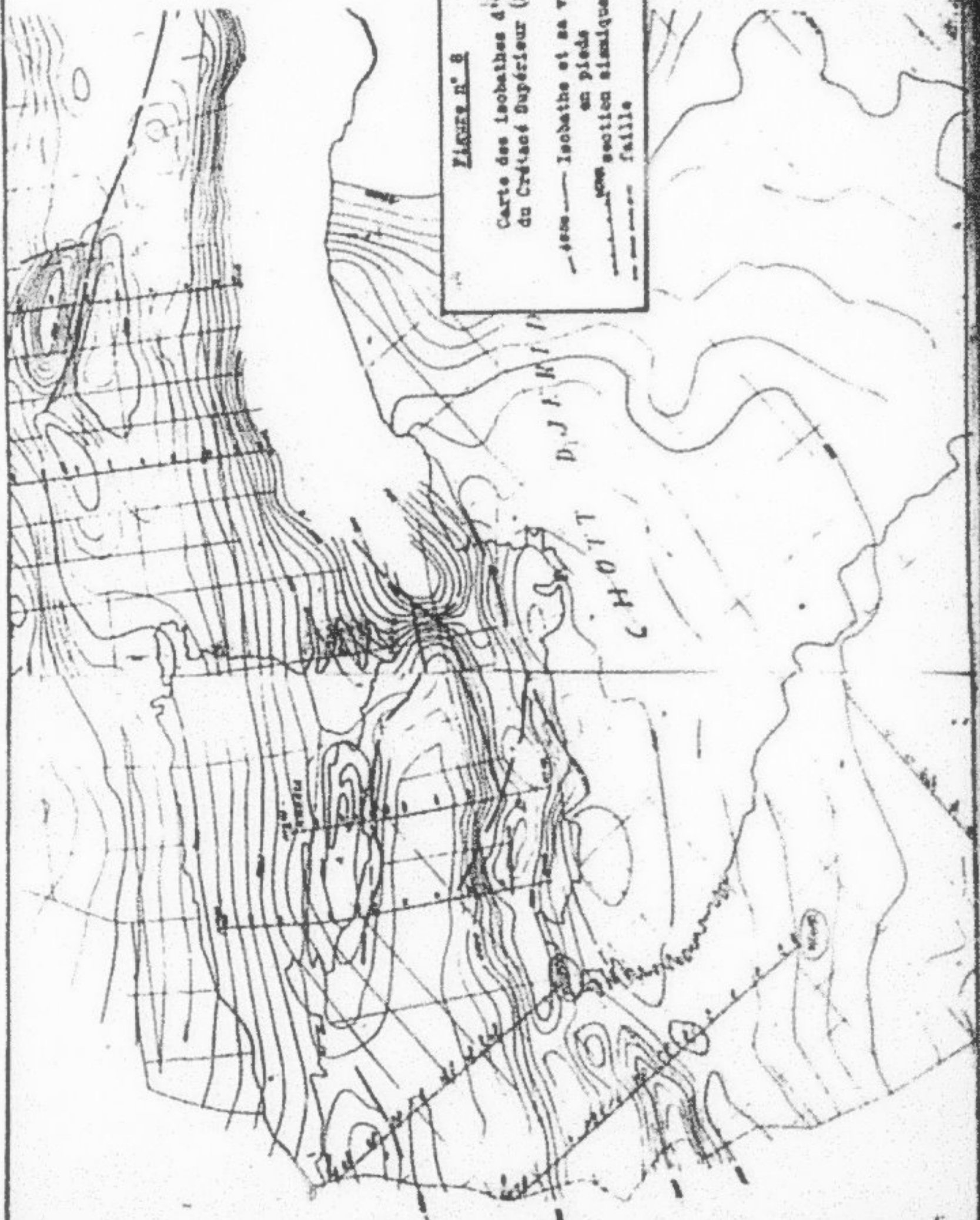


FIGURE N° 8

Carte des isobathes d'un marquage
du Crétacé Supérieur (Motté, 63)

— Isobathes et leur valeur
en pieds
pour section géologique
— faille

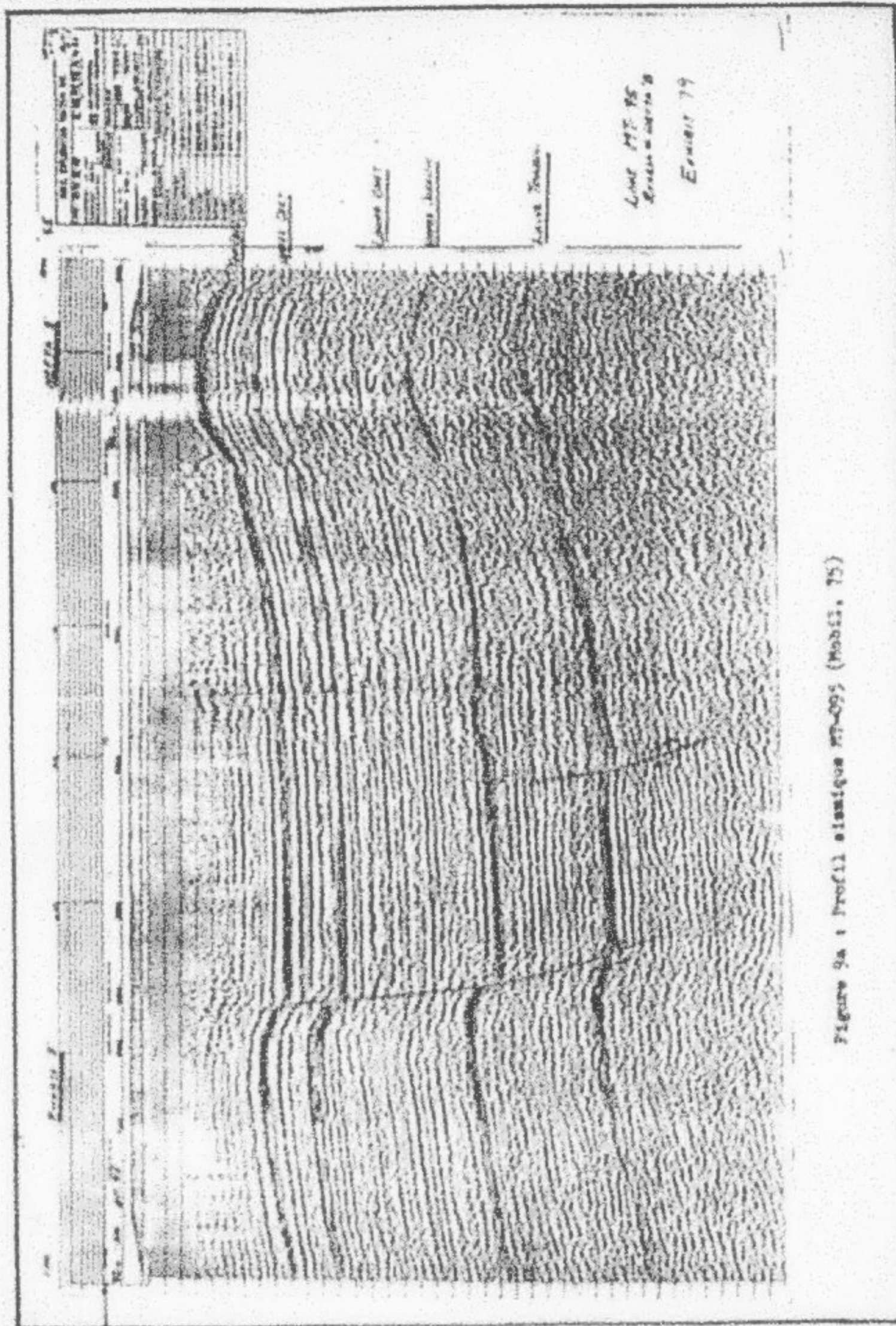


Figure 9a : Profil sismique n°79 ; (Moss, 75)

(57) 1993 + 1994 + 1995 + 1996 + 1997 + 1998

1993
1994
1995
1996
1997
1998

1993
1994
1995
1996
1997
1998



1993

1994

1995

1993

1994

1995

1993

1994

1995

1996

1997

1998

1999

1993

1994

1995

1996

1997

1998

1999

1993

1994

1995

1996

1997

1998

1999

1993

1994

1995

1996

1997

1998

1999

1993

1994

1995

1996

1997

1998

1999

Dans le cadre du compartiment surélevé, la partie orientale située à l'Est de Tozeur est moins profonde que la partie située entre Nefta et Maroua. La zone localisée entre Tozeur et Nefta se caractérise par une allure de haut fond très accentué qui dénote probablement une tectonique transverse responsable de l'affaissement des formations Jurassiques et Crétacées observé d'Est en Ouest (fig. 9c).

Comme le rejet des failles est généralement dans la limite de 100 à 250m, une compartmentation tectonique du réservoir du Crétacé Inférieur semble très peu probable au sein de cette entité.

IV-2 Caractéristiques piézométriques :

Avec les trois premiers forages du Djérid, il s'est avéré que c'est essentiellement au niveau de la partie orientale qu'on a une lacune des mesures piézométriques. Avec la réalisation des autres forages d'El Hanna et de Dégache il a été possible de se faire une idée plus précise sur cette piézométrie.

Avant de procéder à la comparaison de la piézométrie dans l'espace, il est plus judicieux de souligner l'écart enregistré entre deux mesures piézométriques réalisées sur le même forage à des dates différentes.

2-1 Variation de la piézométrie dans le temps :

Ce phénomène a été constaté sur tous les forages du Djérid pour lesquels on a réalisé deux mesures piézométriques. Le tableau suivant donne la date et la valeur de la mesure piézométrique.

Tableau n° 5 : Variation de la piézométrie du CI dans le temps

Forage	N° IRH	Altitude du TM (m)	Date	Mesure piézométrique % TM (m)
Nefta CI1	119084/5	107,51	1983	+ 137,5
			Juin 85	+ 75,2
Tozeur CI1	119162/5	95,5	1984	+ 97,5
			Juin 85	+ 45,6
Dégache CI2	119230/5	108,71	1984	+ 58,0
			Juin 85	+ 39,2
El Hanna CI1 ^b	119260/5	67,29	1985	+ 72,5
			Juin 85	+ 64,8
El Hanna CI2	119255/5	102,39	1985	+ 76,5
			Juin 85	+ 64,8

L'écart entre les deux mesures est parfois si important qu'il est exclu de le mettre sur le compte d'une erreur de mesure. Comme toutes les mesures ont été faites après un temps de fermeture du forage suffisamment long, on ne peut aussi qu'éarter l'hypothèse d'une mesure qui ne rend pas compte de la totalité de la pression en tête du forage. Il ne reste donc que deux hypothèses plausibles.

1- Première hypothèse : La baisse enregistrée dans la quasi totalité des cas provient d'une "décompression" de la nappe suite à sa mise en exploitation.

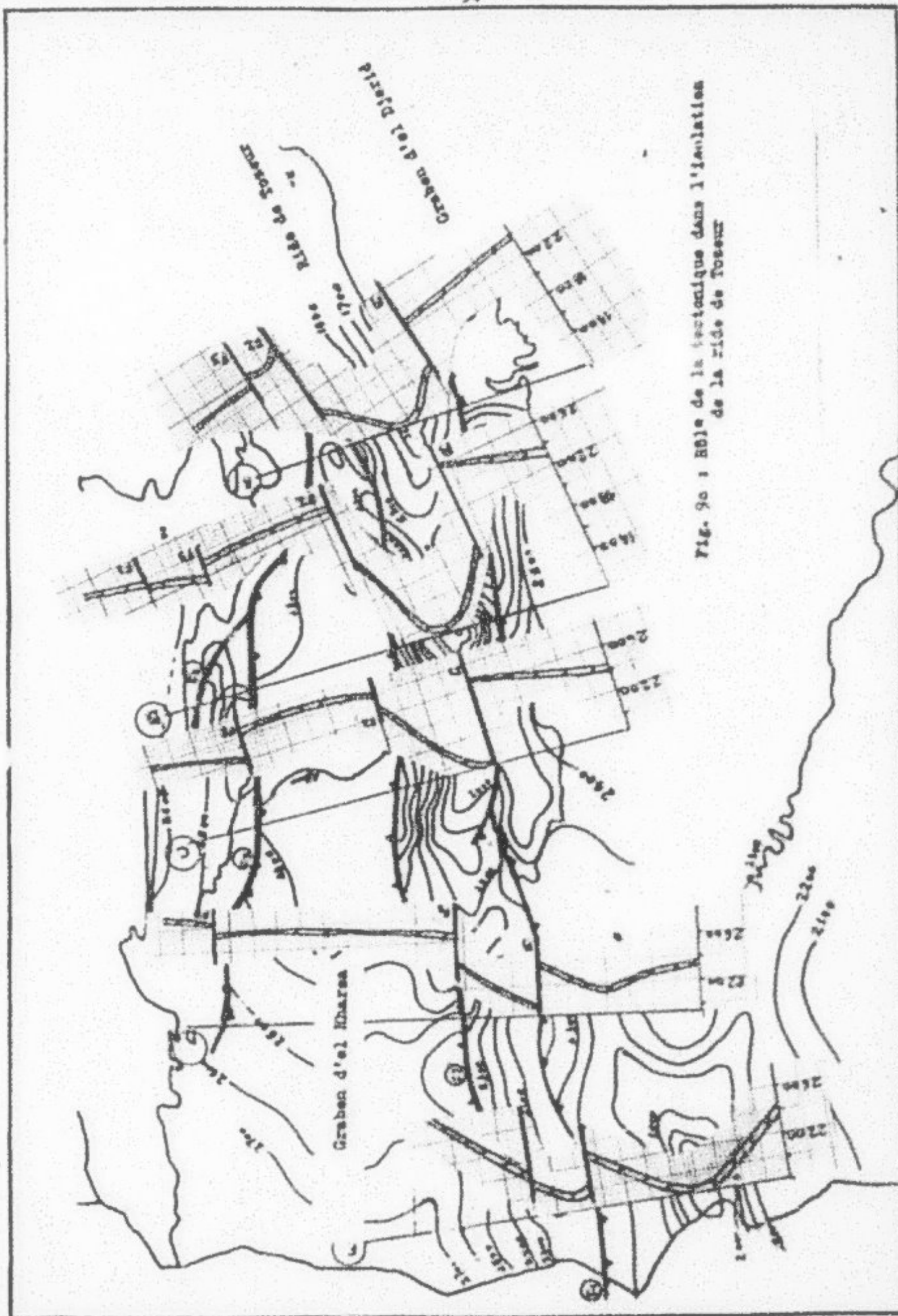


Fig. 90 : Table de la topographie dans l'installation
de la rivière de l'Oued

Cette hypothèse a été démentie par l'observation de la piézométrie au sein de l'oasis de Nefta : comme le forage Nefta CII n'a enregistré que +7,2m en juillet 85, on s'attendait dans le cas de la décompression généralisée de la nappe qu'au moins le forage de Nefta CII donne, à la même époque, une pression similaire. Ceci n'a pas été le cas du moment que ce forage a donné + 136m. Le cas de Dépache CII est plus explicite du moment que la pression a enregistré une légère augmentation.

D'un autre côté si la baisse de la pression est un phénomène général à l'ensemble de la nappe, elle aurait dû se traduire par une baisse générale du débit artésien des forages proportionnellement à la baisse du débit du moment que la relation qui lie la pression au débit est de la forme :

$$Q = a (P_0 - P_1)^n$$

P_0 : Pression initiale (m)

P_1 : Pression à l'instant de la mesure du débit Q

a : Débit assuré (l/s)

n : Coefficient dépendant des caractéristiques de l'équifère

n : Coefficient variant entre 0,5 et 1 en fonction du régime d'écoulement du débit.

Sur le plan pratique au niveau du même forage la droite résultant de la corrélation du débit au rabattement après la décompression de la nappe est parallèle à celle observée au départ (Coff. (a) reste constant) et à l'échelle de tous les points exploitant la nappe la baisse du débit spécifique est constante.

En faisant le rapport des débits spécifiques avant et après la baisse de la pression, on constate que les valeurs obtenues varient entre 0,76 et 1,22. Ce qui fait apparaître une discordance nette entre ces valeurs. Il en résulte donc que la baisse de la pression artésienne enregistrée au niveau des forages du Djerid n'est pas liée à une décompression généralisée de la nappe.

2- Rupture hydraulique : La baisse de pression résulte de l'augmentation des pertes de charge au niveau des équipements en profondeur (cavité et tuyau) et en surface (tête du forage). En examinant l'évolution du débit spécifique des forages pour lesquels on a au moins deux mesures on constate que les forages d'El Hammam ainsi que Dépache CII étaient en phase de développement du moment que leurs débits modifiés ne sont abordés tandis que les forages de Nefta, Tissour et Dépache CII ont subi une baisse du débit spécifique. Ceci permet de déduire que le phénomène l'amplification ou de baisse du débit spécifique est spécifiquement lié au captage du forage.

Ce phénomène mérite d'être analysé minutieusement au niveau de chaque forage pour déceler les causes exactes et de décider éventuellement la méthode la plus adéquate pour éviter ces pertes de charge.

3- Cas du forage Nefta CII (N° TRH 19227/3) :

À son éruption le 2-6-85, ce forage a été foré pendant 3800 pour la mesure de sa pression en tête. Il a atteint une pression de 117m. Une deuxième fermeture survenue 36 plus tard a permis de constater que la pression n'est plus que 113,6 m.

Toutes les manipulations de la vanne qui ont été faites par la suite n'ont abouti qu'à la baisse de la pression en tête parallèlement à la baisse du débit artésien. Pendant les mois qui ont suivi cette date la pression en tête n'est baissée jusqu'au stade d'atteindre 113m. Après une série d'opérations de développement et de traçage, de mitrailage allant jusqu'à la reprise du captage, la pression du forage s'est stabilisé à 116m.

Ce forage semble donc subir un colmatage progressif suite à la mise en place de l'équipement de captage ce qui fait qu'il n'a jamais pu retrouver la pression qui a été enregistrée à sa mise en eau. Mais quand on a retiré le premier équipement et qu'on a essayé de le faire couler en trou libre, il s'est avéré que le débit et la pression baissent parallèlement à un éboulement des parois du puits au niveau de la formation captée.

De ce fait on doit considérer la pression de la nappe à l'endroit d'un des forages comme étant celle qui est la plus élevée au moment de la mesure sans toutefois qu'il ne soit garanti qu'elle soit effectivement celle qui est représentative de la nappe.

2-2 Variation de la piézométrie dans l'espace :

Dans les quatre groupes de forages captant le CI du Djérid, on a pu avoir des écarts piézométriques variables dans le temps suite à la variation des caractéristiques hydrodynamiques des forages et comme elles sont aussi variables dans l'espace.

Si la variation dans le temps au niveau du même forage est interprétée comme étant liée à l'ouvrage et non à la nappe, la variation de la piézométrie d'un forage à un autre au sein du même groupe est par contre plus complexe.

Les deux forages de Nefta ont présenté un niveau statique qui va de +240 m S.M.N pour le premier à +216 m S.M.N pour le second. Comme déjà l'altitude du forage Nefta CI2 est très peu précise, on se réfère à celle de Nefta CI1 ce qui permet de conclure que l'altitude du NF de la nappe au niveau de Nefta est +240 m ± 5 m.

Au niveau de Toseur, les trois forages captant le CI enregistrent respectivement les niveaux piézométriques suivants : Toseur CI1 : +193 m S.M.N, Toseur CI2 : +161 m S.M.N et Toseur CI3 : +175 m S.M.N.

Ceci donne une altitude du NF du CI au niveau de Toseur qui est de l'ordre de +185 m ± 10 m.

Au niveau d'el Hamra, les deux forages captant le CI ont donné une altitude du NF qui va de +160 m S.M.N à 179 m S.M.N. On peut considérer le NF à l'endroit de cette partie de l'ouïe de +172 ± 10 m.

Au niveau des forages de Dégache l'altitude du NF est de +167 m à +176 m S.M.N. Une valeur moyenne à considérer est de 175 ± 5 m S.M.N.

Ceci donne un sens d'écoulement général d'Ouest en Est avec un gradient piézométrique de l'ordre de 2,1% entre Nefta et Toseur et de 1,6% entre Toseur et el Hamra-Dégache. Celle-ci a été souligné précédemment (1) le gradient piézométrique de la nappe du CI au niveau du Djérid est de l'ordre de 2% en moyenne.

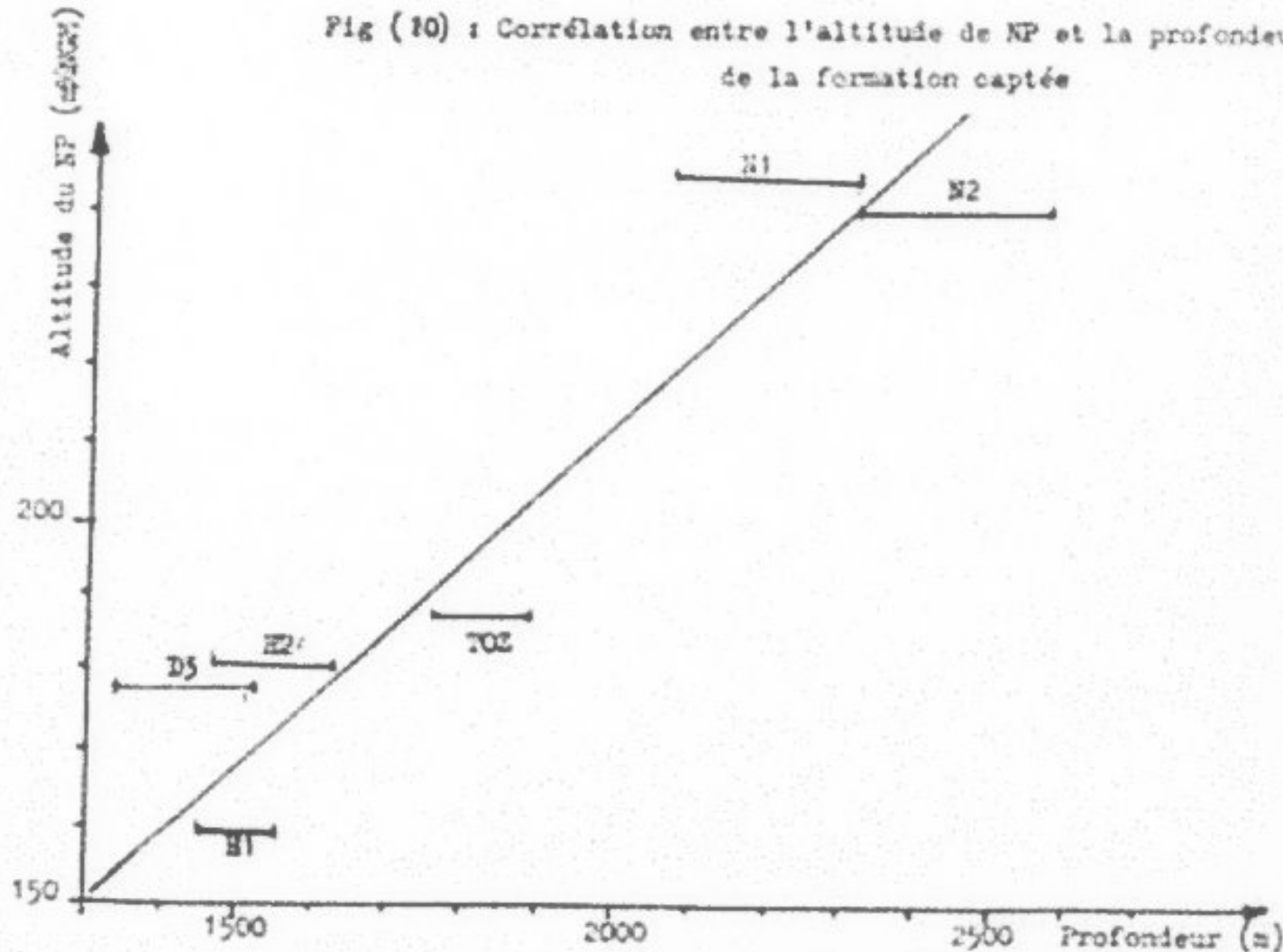
En se référant à la carte piézométrique du CI prélevée par le projet INRS pour 1970 (16) on constate que la courbe Isophaire +175 m S.M.N passe, à l'époque, à l'Ouest de Nefta.

.../...

Tenant compte d'une baisse piézométrique de l'ordre de 10 à 15 m pour la période écoulée entre 1970 et 1985, on trouve que la valeur de +240 m % adoptée comme piézométrie au niveau de Nefta est parfaitement concordante avec l'évolution éventuelle de la surface piézométrique pendant cette période. Ce qui semble moins conforme avec le reste de la piézométrie du CI c'est le gradient piézométrique qui est ici relativement fort (2 %) du moment que sur l'ensemble du bassin de l'Erg oriental ce gradient n'excède pas 0,5 %.

Il en résulte que la piézométrie de la nappe du CI dans l'ensemble de la région des chotts (Djerid et Nefta) demande encore d'autres jalons piézométriques rattachés aux mêmes séries aquifères pour être tracée avec précision et pour délimiter la zone de l'exutoire présumé au niveau du seuil d'el Hamma de Gabès.

Fig (10) : Corrélation entre l'altitude de NP et la profondeur de la formation captée



En tantant d'établir une corrélation entre la profondeur de la formation captée et la piézométrie de la nappe à cet endroit (fig. 10), on constate que cette corrélation répond à l'équation suivante :

$$ES = 0,06P + 150$$

ES : Niveau statique (m)

P : Profondeur du captage

La valeur de la constante (150) correspond à l'altitude approximative du terrain naturel qui est déterminée, ici, à partir de la droite

de corrélation. L'imprécision à ce niveau provient du fait que la profondeur du captage dans chaque cas correspond à une épaisseur captée.

IV-3 Caractéristiques hydrodynamiques :

Les caractéristiques hydrodynamiques s'individualisent en deux groupes : ceux qui sont propres aux forages et ceux répondant au fonctionnement de l'aquifère :

3-1 Caractéristiques hydrodynamiques propres aux forages :

Parmi ces caractéristiques on distingue : Le débit spécifique, la pression résiduelle, les deux Coefficients de l'équation d'écoulement d'un forage artésien.

3-1-1 Débit spécifique : Comme le montre le tableau n° 6, le débit spécifique des forages du Djérid varie de 0,977 l/s/a à 1,684 l/s/a. Ce qui démonte dans tous les cas un débit spécifique faible à moyen.

Le phénomène qui semble intervenir dans l'évolution du débit spécifique est la profondeur de la partie captée. Ceci oriente les recherches futures dans le sens de l'examen des pertes de charge dans le tubage et la crête.

La figure (fig. 11) qui donne l'évolution du débit spécifique en fonction de la profondeur de la formation captée montre que le débit spécifique décroît hyperboliquement dès que la profondeur de captage dépasse 1500 m. Ceci semble être lié à des pertes de charge qui se développent avec la profondeur.

L'évolution du débit spécifique dans le temps montre, pour le même forage, une baisse à la suite de sa mise en exploitation. Ceci peut être expliqué comme résultant d'un colmatage au niveau des ouvertures de la crête. Ce colmatage augmente avec la durée de l'exploitation. Dans le cas de ces forages, la présence d'un tube plein Ø 7" non couplé à la suite du tubage Ø 9" 5/8 et avant la crête occasionne un certain vide dans l'espace annulaire qui sépare ce tubage des murs du forage. Ceci semble être à l'origine de certains éboulements qui viennent masquer les ouvertures de la crête et baisser sa productivité.

3-1-2 Pression résiduelle : La pression résiduelle est un phénomène relié à la pression de la nappe, au diamètre du forage et à l'altitude de son point de déversement. La pression résiduelle pour une certaine côte de déversement quand le forage artésien est ouvert permet de s'assurer de la pression à laquelle est soumis l'équipement en tête du forage ainsi que l'équipement en profondeur. Plus cette pression est forte, plus l'écoulement est turbulent et plus le vieillissement des équipements du forage est rapide.

Dans le cas des forages du Djérid, la pression résiduelle est relativement faible. Elle se situe entre +1,5m et +2,0m si au point de déversement ce qui n'influe que très peu sur le tubage et la crête.

3-1-3 Coefficients de l'équation d'écoulement d'un forage artésien :

L'équation d'écoulement d'un forage artésien est de la forme

$$S = AQ + BQ^2$$

.../...

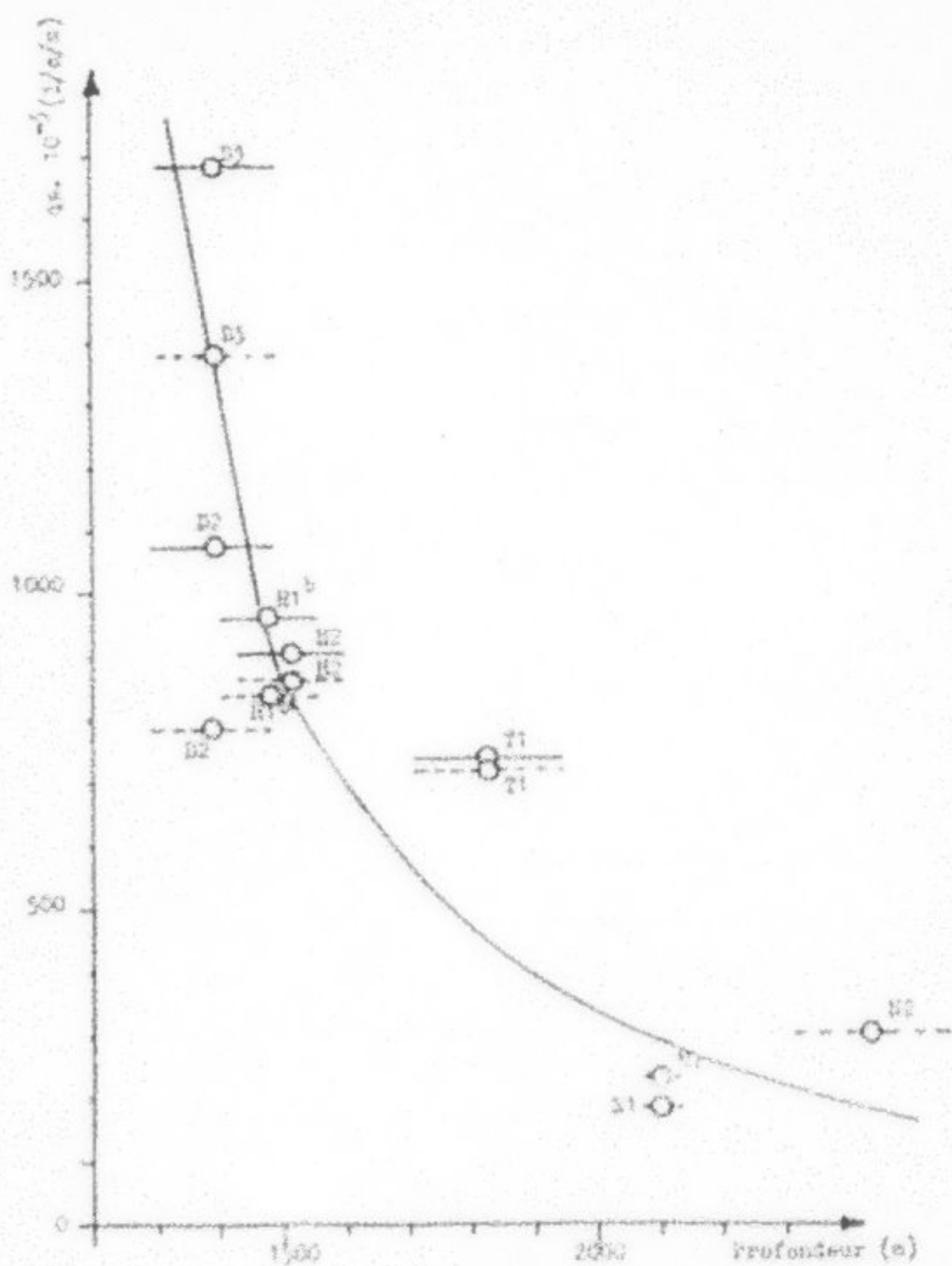


Fig (11) : Corrélation entre le débit spécifique et la profondeur de la formation Gaptik

—○— à la réception - -○-- en juin 85

dans laquelle :

$\theta = \text{Rabattement (z)}$

$q = \text{Débit (m}^3/\text{s)}$

$A = \text{Coefficient de l'écoulement lamininaire (m}^2/\text{s})^{1/2} = \frac{d}{dz}$ au point $z = 0$

$B = \text{Coefficient de l'écoulement quadratique (m}^2/\text{s})^{1/2} = \text{Pente de la droite de régression.}$

Pour que les deux coefficients (A) et (B) soient bien représentatifs du forage, il faut que (20) :

- a- Le débit maximum d'écoulement (ou de pompe) soit voisin du débit critique. Dans le cas où le débit est très faible, le terme (B_A) devient du même ordre de grandeur que les erreurs de mesure et l'écoulement est lamininaire.
- b- La courbe caractéristique soit suffisamment échantillonnée dans la plage des faibles débits.
- c- Le forage soit bien développé.

L'interprétation de l'équation précédente permet de conclure que :

- Le terme (A_A) est caractéristique des pertes de charge dans le milieu poreux.
- Le terme (B_A) est caractéristique des pertes de charge dans les équipements ou pratiques (t. for. n).

Tous les forages du Sèvrein capturent le CI pour lesquels les coefficients (A) et (B) ont été déterminés avec données par le tableau suivant (annexe II, 1)

Tableau n° 6 : Détermination des paramètres (A) et (B)

Forage	A_A (1/m)	B_A (m)	$A_A^{-2/3-1}$	$B_A^{-2/3-2}$	A_B (s)	B_B (s)
Sainte Anne 0121-115/31-2,0	28	1000	14590	122(705)	14	
Beffu 01-115/31-2,0	0	2010	3333	5(12)	31,1	

Il est apparu qu'une grande partie du débit capturé au niveau de ces forages provient du terme non négligeable de perte dans le milieu poreux et ce peu ou prou indépendamment de l'écoulement. Pour ces raisons, il résulte de l'eq. (20) que l'on obtient :

- un débit développé dans le forage

- un rapport périphérique de la forme 1,5 à 2.

Sur le plan hydrographique, l'écoulement de forage dans le Sèvrein contribue à l'écoulement de l'aval, permet au cours principal, en l'absence de pluie et de l'injection de l'amide et de l'eau sous pression, de continuer son primitif, prolonge une augmentation du débit amont jusqu'à l'écoulement sous pression au débit artéfact, ce ce qui a été constaté dans le cas des forages de Beffu 01, Sainte Anne 0121 et Beffu 01, sur l'Yonne.

Les cas des forages Nefta CI5 et Tozeur CI1 (21) sont très instructifs dans ce sens. La formation aquifère semble être très meuble avec assez souvent des passeses calcaires-argileuses intercalées entre les séries sableuses ce qui fait un ensemble fluant et hétérogène qui sous l'effet de la poussée de la nappe vient se plaquer contre la crête et diminuer ainsi la vitesse d'entrée de l'eau dans le forage.

3-2 Caractéristiques hydrodynamiques de l'aquifère :

Les deux principales caractéristiques hydrodynamiques de l'aquifère sont : la transmissivité et le coefficient d'enmagasinement. Accessoirement le rayon d'action permet de mieux comprendre l'interférence entre les forages.

3-2-1 Transmissivité :

Pour la construction du modèle FRSQI, on a adopté comme valeurs de transmissivité au niveau du Djérid, $15 \text{ à } 20 \cdot 10^{-3} \text{ m}^2/\text{s}$, faute de valeurs déduites des pompage d'essai mais on sait que les transmissivités-maille adoptées par le modèle sont au moins 10 fois plus fortes que celles déterminées par essai.

Au niveau des forages du Djérid, seul le forage de Dégache CI2 a fait l'objet d'un essai qui a permis de déduire une certaine valeur de transmissivité qui est de $1,1 \cdot 10^{-3} \text{ m}^2/\text{s}$.

On a pu tirer une autre valeur de transmissivité à partir de la réception du forage de Nefta CI5. Elle est de $0,75 \cdot 10^{-3} \text{ m}^2/\text{s}$.

Cette valeur se présente dans le même ordre de puissance que celle qui a été déterminée au niveau de Dégache CI2. Ceci fait qu'on peut considérer la transmissivité moyenne de l'aquifère du CI au niveau du Djérid de l'ordre de $1 \cdot 10^{-3} \text{ m}^2/\text{s}$.

L'analyse granulométrique des formations captées au niveau de Dégache CI5 et Tozeur CI1, montre que la formation est relativement plus grossière au niveau de Dégache qu'au niveau de Tozeur (fig.13). Les principaux résultats tirés de cette analyse sont

Tableau n° 7 : Résultats des analyses granulométriques :

Forage	Côte	410	450	485	U
Dégache CI5	1474-76	0,03	0,28	0,5	9,3
	1510-95	0,06	0,50	1,0	6,3
Tozeur CI1	1786-1895	0,05	1,10	1,6	22

Le coefficient d'uniformité (U) se présente dans les deux cas avec des valeurs qui s'écartent beaucoup de l'unité ce qui prouve que la formation captée est loin d'être uniforme. Elle est moins uniforme dans le cas de Tozeur que celui de Dégache.

.../...

Le (d_{85}) correspond au diamètre indiqué pour les ouvertures de la crête. Comme les slots choisis sont de 30 et de 40 les risques d'assemblage sont à écarter avec des valeurs allant de 0,5 à 1,6mm.

Une première estimation de la perméabilité de la formation peut être faite à partir de

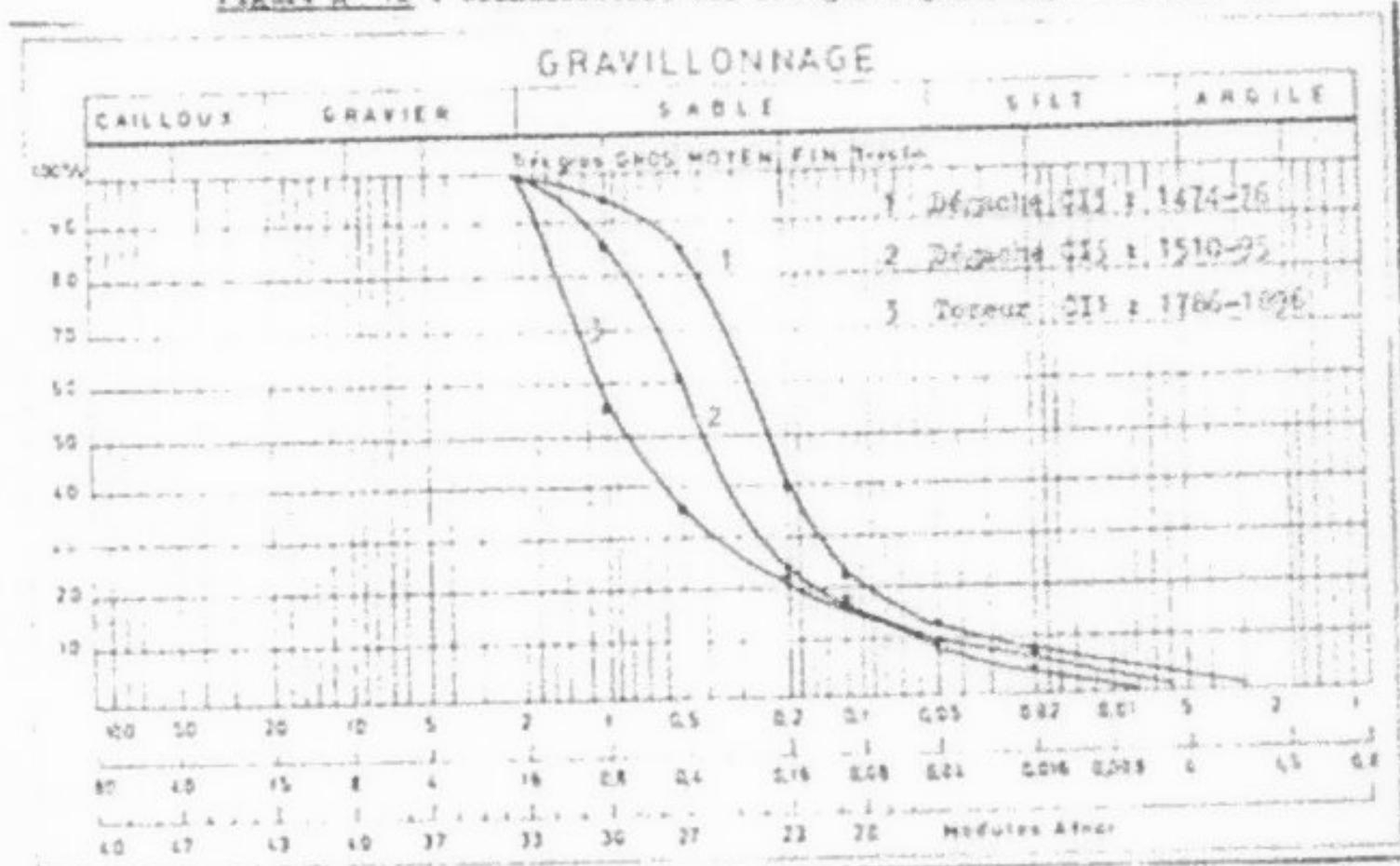
$$k = 100 (d_{10})^2 = 25 \cdot 10^{-8} \text{ m/s}$$

En considérant que l'épaisseur utile de l'aquifère est de 150m la transmissivité de la formation sera de l'ordre de

$$T = k \cdot e = 25 \times 150 \cdot 10^{-8} = 0,4 \cdot 10^{-4} \text{ m}^2/\text{s}.$$

Cette valeur est plus faible que celle déduite des échantillons.

Figure n° 12 : Granulométrie des forages Dégache CI5 et Touseur CI1



3-2-2 Coefficient d'enfoncement :

Pour ce qui est du coefficient d'enfoncement, il n'en a pas été fait autre chose que les moyens pratiques pour l'évaluer dans l'ordre expérimentale.

La valeur du coefficient d'enfoncement adoptée par le modèle MAM pour le Djérid est de $0,10^{-4}$. On a tenté d'évaluer ce coefficient approximativement en se basant sur l'épaisseur captée et la porosité et on a abouti à $0,4 \cdot 10^{-4}$ au niveau de Dégache CI et $1,1 \cdot 10^{-4}$ au niveau de Nefta CI2. Ce qui prouve que les valeurs adoptées pour la construction du modèle sont probablement un peu plus optimistes que ne l'est la réalité de la nappe.

3-2-3 Rayon d'action :

Par ailleurs côté l'estimation du rayon d'action sur les deux forages de Djérid 212 et Hafta 212 a porté à aboutir aux deux valeurs respectives suivantes : 1500m et 1300m. Ce qui fait que pour un régime stabilisé d'écoulement au niveau des forages s'éloignant à leur débit actuel maximum, le rayon d'influence ne dépasse pas 1500m. A long terme et en tenant compte de l'intéférence, la distance minimale qui doit séparer les forages est de 1500 à 2000m.

En conclusion, il s'avère que les valeurs de transmissivité et du coefficient d'assèchement adoptées par le modèle sont tout au plus optimistes que celles déduites des mesures effectuées sur les forages. Ceci est de nature à minimiser les valeurs prévisionnelles des rabattements résultant d'une exploitation future de cette nappe sans toutefois s'écartier dans une large mesure de la réalité. Les valeurs du rayon d'action auxquelles on a abouti sont rassurantes quant à la distance qui doit séparer les forages et permet, dans le cas où d'autres sites de forages seraient localisés d'orienter ces localisations de façon à éviter un rapprochement des forages qui risquerait d'entraîner un effet d'intérence et d'interfluence.

4- CARACTÉRISTIQUES PHYSICO-CHEMlQUES :

Parcours les caractéristiques physico-chimiques de l'eau du CI au niveau du Djérid nous traitons :

4-1 Température de l'eau :

La température de l'eau décrite par les forages captant le CI du Djérid varie entre 67°C et 76°C. Comme le montre le tableau suivant :

Tableau n° 4: Température de l'eau du CI au niveau du Djérid

Forage	N° INN de captage	Profondeur (m)	Date	Température révision, degrés	Observations
Djérid 212	11903/51	1570-1450	1981	67*	
			juin 85	72*	
Djérid 212	11920/51	1550-1450	1984	68*	réception
			juin 85	72*	Après fermeture
Djérid 212	11923/51	1520-1400	1984	69*	réception
			juin 85	72*	ferme sur la conduite
DJ 212 11926/51	1454-1550	1985	69*	71*	réception
			juin 85	71*	mesure non fiable
DJ 212	11927/51	1550-1550	1985	67	réception
			juin 85	71*	Après fermeture
Djérid 212	162/51	1550-1550	1984	70*	réception
				71*	Après fermeture
Djérid 212 164/51	1757-1677	-	72*		
			juin 85	72*	
Djérid 212 165/51	-	1985	72*	réception	
Hafta CI 1195/51	1560-2100	1985	66*	71*	réception
			juin 85	72*	mesure non fiable
Djérid 212	1195-2150	-	72*	73*	

On se réfère au degré Celsius, moyen de 1984/85 et au degré Celsius moyen sur une température moyenne annuelle de l'eau au niveau du Djérid ***.

de 21°C, la température de l'eau dans le forage en fonction de la profondeur de captage (P) est donnée par la formule :

$$T = 21 + \frac{P}{33}$$

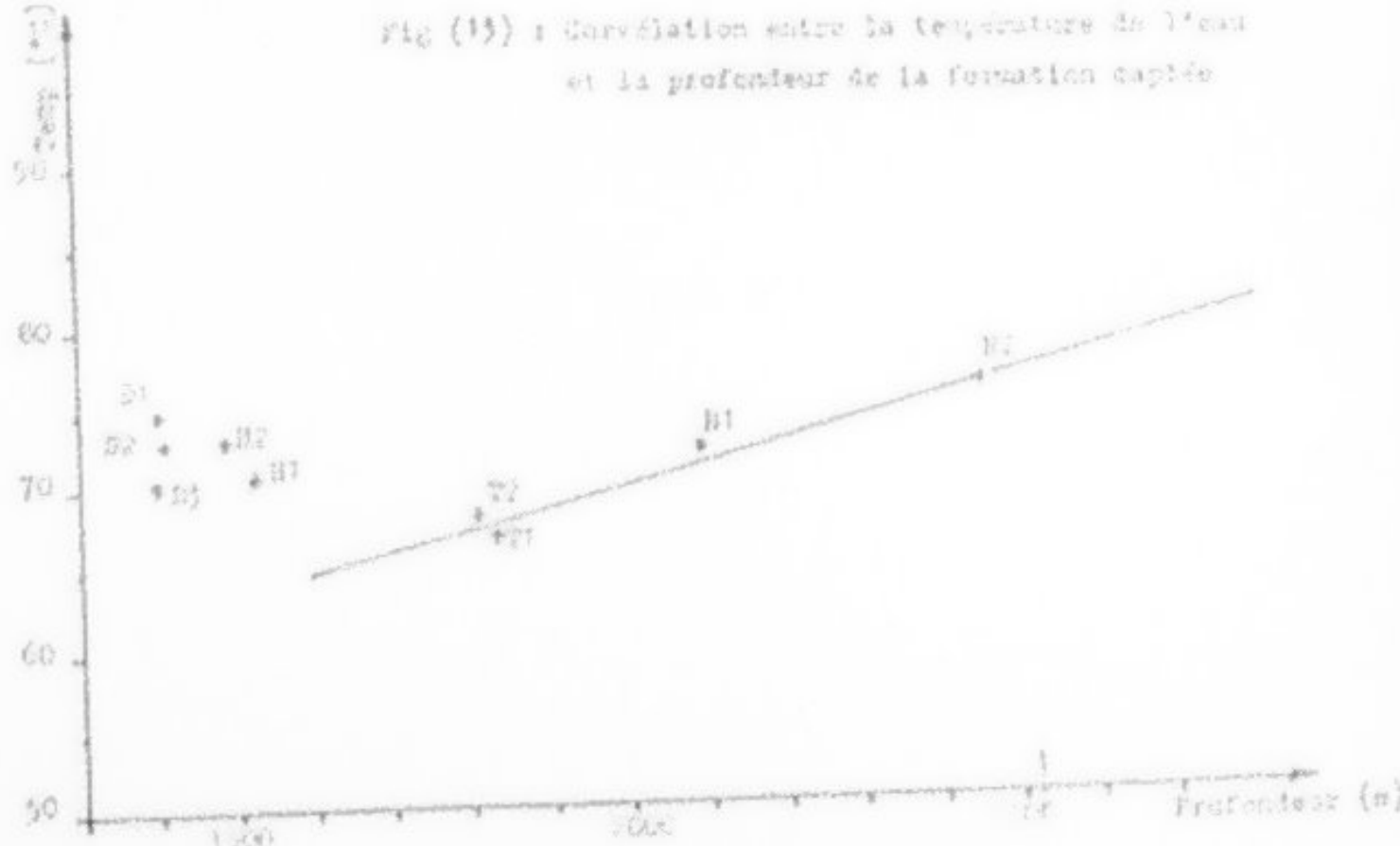
Le tableau précédent donnant les températures prévisionnelles atteintes au niveau de chaque forage montre que cette loi est loin d'être vérifiée au niveau des forages du Djérez. Comme il apparaît sur la figure (fig. 15) seul le compactifant de Selta-Tazzour semble traduire la relation entre la profondeur de la zone captée et la température de l'eau avec un gradient de 1,45°C/100m dans la zone aquifère.

Le compactifant d'el Mekassan-el Haoua s'accole avec une anomalie géothermique bien nette qui fait au niveau de Tazzour un écart thermique entre la température prévisionnelle et celle observée de 10°C. Cette anomalie positive semble résultez de deux phénomènes réunis :

1- Un redressement du substratum de la formation aquifère conforme au sens de l'épaisseur de la nappe ce qui fait qu'en forage à ce niveau arrive à recouper les strates aquifères profondes et parcourent ainsi d'avoir en surface « sous l'effet de l'artésianisme » l'eau la plus chaude qui est probablement la plus "ancienne".

2- Un contexte géotectonique avec renfoncée la corde cristalline à proximité des couches nées Iquen. Ce phénomène n'est pas exclu au niveau de la chaîne Sidi des chotts dont Biyadh est son extrémité occidentale ; en effet, on a constaté au milieu de cette chaîne, au niveau de l'Ij el Belha, la renfoncée "intrusive" du Trias jusqu'à surface ce qui ne trouve son explication que dans des mouvements orogéniques internes au niveau du socle. Les failles bordant la crête de Tazzour semblent avoir un rejet plus important en allant vers l'Est ce qui s'explique par la mobilité tectonique de cette partie de l'Atlas estrien et laisse supposer la possibilité le renfoncement d'eau profonde par le biais de ces circulations tectoniques (ce phénomène a été rencontré au niveau de l'éruption d'el Kessat CII).

Fig (15) : Corrélation entre la température de l'eau et la profondeur de la formation captée



Sur le plan thermique, il est claire que le compartiment d'el Hammam-Dégache est différent de celui de Tozeur-Nefta et semble être soit en communication avec une autre Direction d'écoulement de la nappe soit en contact avec un substratum à température plus élevée. Pour ce qui est d'une autre Direction d'écoulement de la nappe autre que celle qui a été mise en évidence d'Ouest en Est (de la partie saharienne par exemple), elle est très peu probable du moment que les forages de l'extrême sud tunisien, de la Nefzaoua et chott Fedjaj n'ont jamais donné une eau à une température dépassant les 72°C. Il ne reste donc que l'hypothèse d'une anomalie géotectonique locale au niveau de la chaîne Nord des chotts dont l'effet s'estompe vers l'Ouest au niveau d'El Hammam.

4-2 Résidu sec et minéralisation totale de l'eau :

Comme il a été exposé dans la première partie de ce texte (voir II-5), la carte de la minéralisation totale établie par le projet ENEDIS fait ressortir une lacune de mesures de salinité entre l'extrême sud tunisien et la région du Djérid avec beaucoup plus de liaison avec l'Est algérien mais déjà juste à la frontière algérienne on observe un fort gradient de salinité ce qui est de nature à indiquer une complexité des communications entre les différents niveaux aquifères au niveau du Djérid (fig. 14).

Dans la partie occidentale du Djérid entre Nefta et Tozeur la minéralisation totale de l'eau tourne au tour de 3,0 g/l. Ainsi, le forage de Nefta CI1 a donné à sa création, en 1964 un résidu sec qui oscille entre 3240 mg/l et 3495 mg/l. Une année plus tard, avec écoulement continu du forage, le résidu sec de l'eau s'est stabilisé à 3240 mg/l. À la même époque le forage de Nefta CI2 a donné un résidu sec de l'eau de 2940 mg/l. C'est donc une valeur moyenne de l'ordre de 3,0 à 3,2 g/l qui est représentative de la salinité du CI au niveau de Nefta.

Au niveau de Tozeur, les deux forages de Tozeur CI1 et Tozeur CI2 ont, dès le départ, donné une salinité de 2680 mg/l qui nous semble représentative de celle du CI à ce niveau.

Les deux forages d'el Hammam semblent indiquer, à ce niveau, une zone de transition entre Nefta-Tozeur d'un côté et Dégache d'un autre côté. L'eau du forage el Hammam CI2 a donné un résidu sec de 5840 mg/l qui est un peu plus salée que celle de Tozeur. Par contre l'eau d'el Hammam CI1 s'approche davantage de l'eau de Dégache avec son résidu sec qui est de 2640 mg/l.

Le forage de Dégache CI5 est à 3040 mg/l tandis que l'eau de Dégache CI2 n'est qu'à 1510 mg/l. Celle de Dégache CI1 est proche avec 2150 mg/l.

Il y a lieu de noter que l'eau de Dégache CI1 a évolué entre 1981, année de création de ce forage et juin 1985 de 2020 mg/l à 2260 mg/l. Ce qui représente un accroissement annuel de 6 mg/l.

C'est donc la région de Dégache qui se présente avec la meilleure salinité du CI au niveau du Djérid. La zone à forte salinité se localise entre el Hammam et Tozeur. Dans le secteur de Nefta CI1-El Hammam CI2, apparaît un gradient croissant de salinité en passant de l'Ouest vers l'Est. Ce gradient est de l'ordre de 26 mg/km (fig. 15).

Pour mieux comprendre cette variation de la salinité le passage vers l'analyse de la composition chimique de l'eau s'impose.

.../...

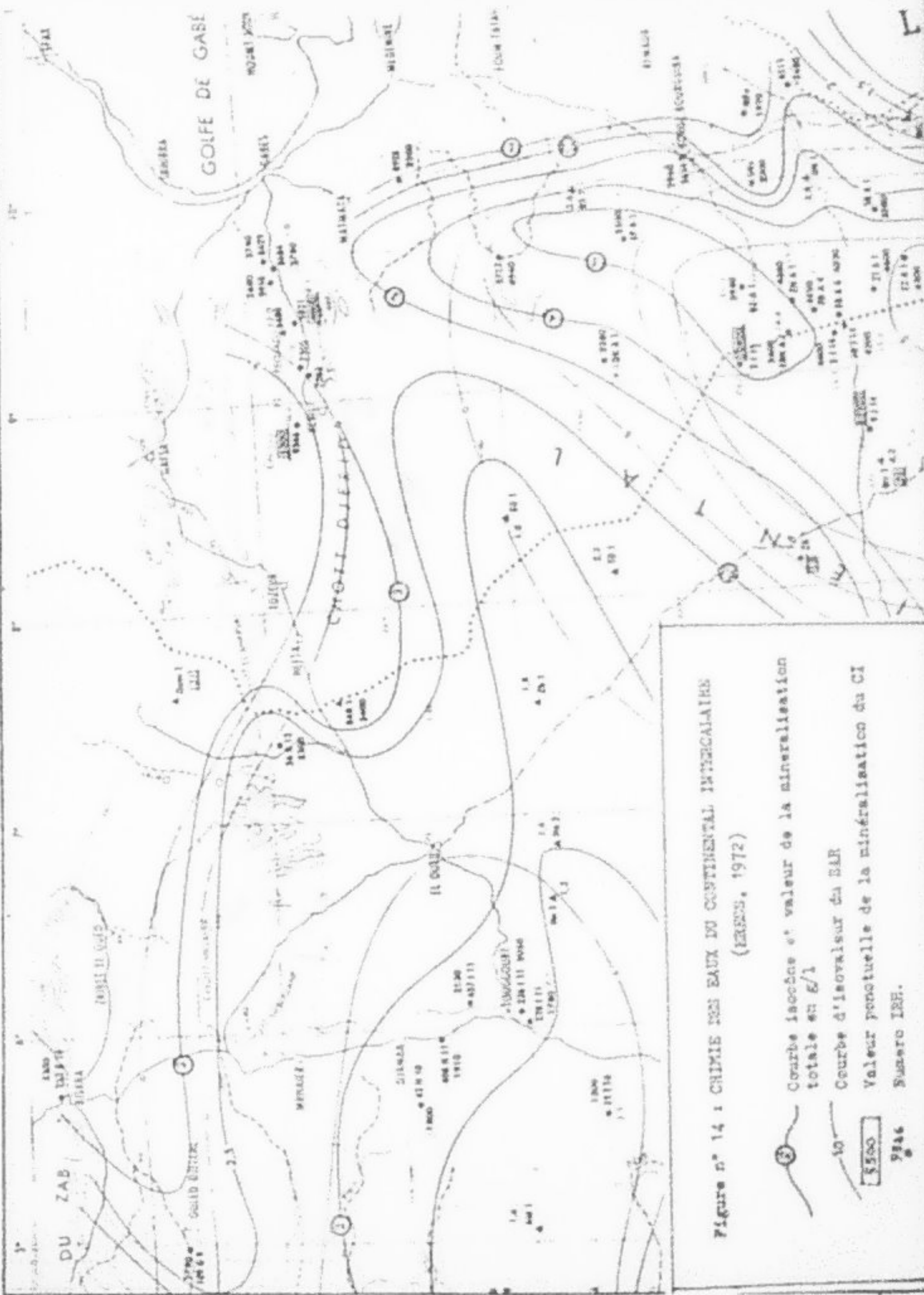
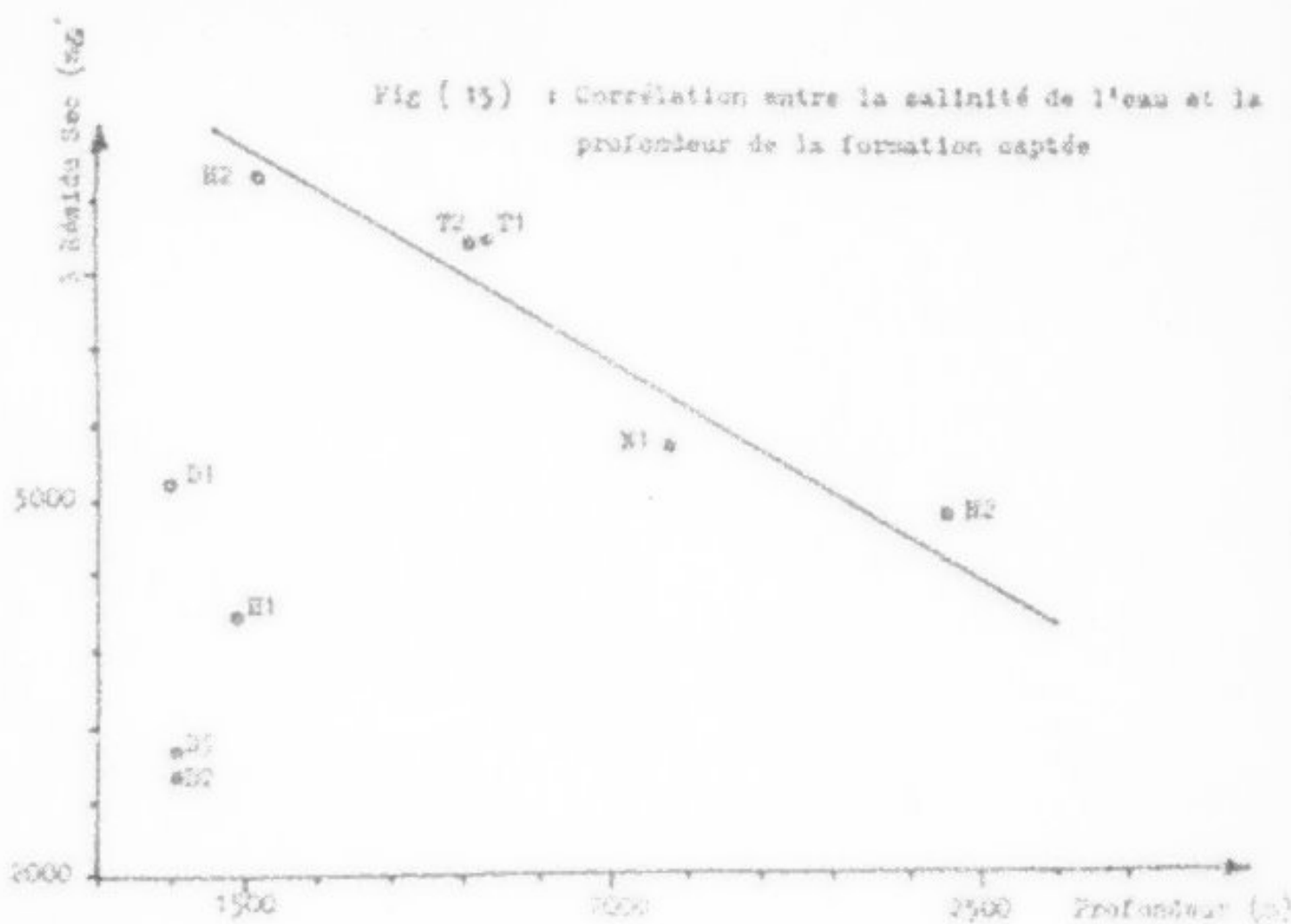


Figure n° 14 : CHIMIE DES EAUX DU COSTITAL ENTRE
(IZEH, 1972)



4-3 Composition chimique :

L'eau des sources captant le CI au niveau du Djérid se présente dans tous les forages sous le même facies minéral. C'est une eau sulfatée calcaire à sulfatée saumâtre (fig. 16).

Le bilan chimique qui intervient d'une façon nette dans l'hydrolyse du rocheux sur de l'eau est donné par les sulfates dont le pourcentage varie entre 38 % et 50 % du résidu sec.

Les sulfates qui constituent l'ailant prépondérant dans la composition des eaux du CI au niveau du Djérid, le sont en fait pour toute la partie basse de cette nappe la où elle n'est pas contaminée par des eaux moins profondes de facies chlorure-tacite.

Le tableau suivant récapitule ces analyses réalisées:

.../...

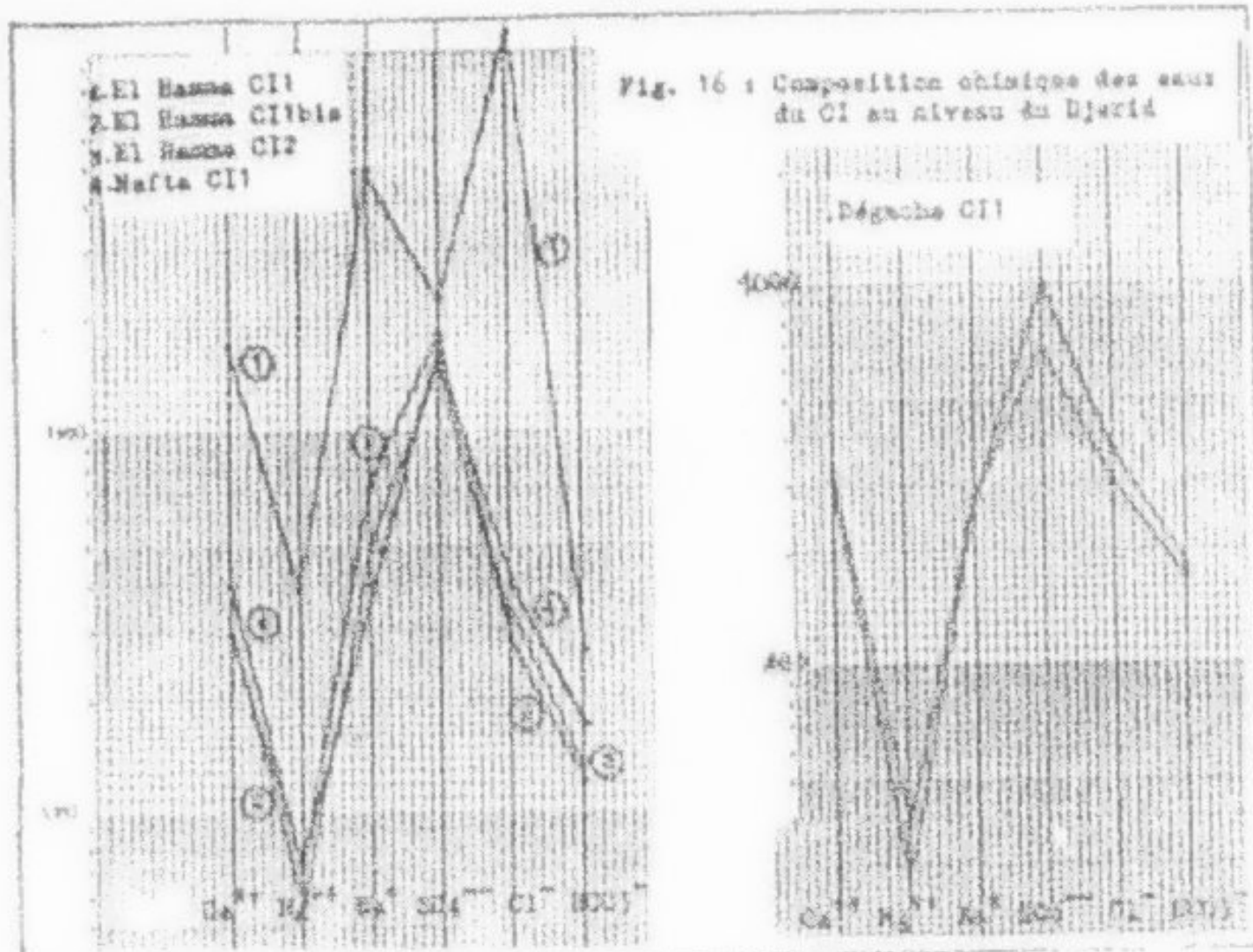


Tableau n° 9 : Composition chimique de l'eau du CI au niveau du Djurdid :

Forage	IR ^e	I.S.H.	Date	[Ca] ⁺⁺	[Mg] ⁺⁺	[Na] ⁺	[K] ⁺	[SO ₄] ²⁻	[Cl] ⁻	[HCO ₃] ⁻	B.S.T	pH	σ _{SI}	
Dégache CI1	1	19039/5110.12.011332	150,4	1278,5173,7	1986,41562,11	103	42224	7,1	5,1					
	1	19.12.011310	150	1265	123	1835	1298	1305	12160	7,4	5,0			
	1	110.12.011316	126,4	1246,1173,7	1797,51562,11170,012012	7,0	42223							
	1	116.12.011310	150	1265	142	1768	1298	1366	12630	7,0	5,0			
	1	127.6.05	1292	161	1271	174	11017	1355	1151	12260	7,5	2,741		
Dégache CI2	1	19230/5120.6.04	1500	140	1294,1172,1	1969,61540,81	-	13020	7,6	3,0				
	1	126.6.05	1292	175	1282	167	11056	1555	1145	12520	7,6	2,741		
Dégache CI3	1	19231/5127.6.65	1500	190	1519	163	11324	1407	1145	12240	7,55	2,7		
El Bassaa CI1b	1	19240/5105.01.851292	157,6	1596,0155,3611500	1284	1122	12630	7,0	5,0					
	1	107.01.851260	160,0	1512,9155,7711500	12690	1156,612690	7,0	5,0						
	1	127.06.051291	169	1414	150	11305	1350	1151	12640	7,7	2,941			
El Bassaa CI2	1	19233/5127.06.851280	176	1713	159	11624	1555	1153	12040	7,2	4,0			
Vieux CI1	1	19162/5111.4.84	1584	152,4	1799,8155,0	11731,81660,51109,313667	8,1	5,917						
	1	126.06.051356	150	1694	146	11662	1560	1120	13600	7,6	4,5			
Vieux CI2	1	19224/5127.06.851348	184	1694	145	11624	1590	1124	13680	7,73	4,18			
Vieux CI1	1	19084/5120.03.841396	172,0	1395,6154,6	1652	1404,71171	15246	7,64						
	1	111.04.841380	1103,21471,5158,5	11526	1511,21134,215491	8,0								
	1	126.06.851360	1108	1469	155	11584	1532	1151	13240	7,5	3,221			
Nafta CI2	1	19227/5126.06.851320	189	1463	146	11516	1355	1156	12940	7,53	3,285			
	1	127.06.051292	161	1271	174	11017	1355	1151	12260	7,5	2,741			
	1	1	1	1	1	1	1	1	1	1	1			

.../...

L'origine des sulfates dans ces eaux profondes est à rechercher dans la partie argileuse et lypso-argileuse du silex liant les éléments détritiques des sables de Sidi Ich et Bou Dinar. Par leur nature détritique et par leurs mécanismes de sédimentation continentale (fluvio-lacustre à laguno-lacustre). Ces formations se présentent bien à présenter une forte concentration en sels dissous dont l'origine est la partie fine qui accompagne les éléments détritiques (fig. 17).

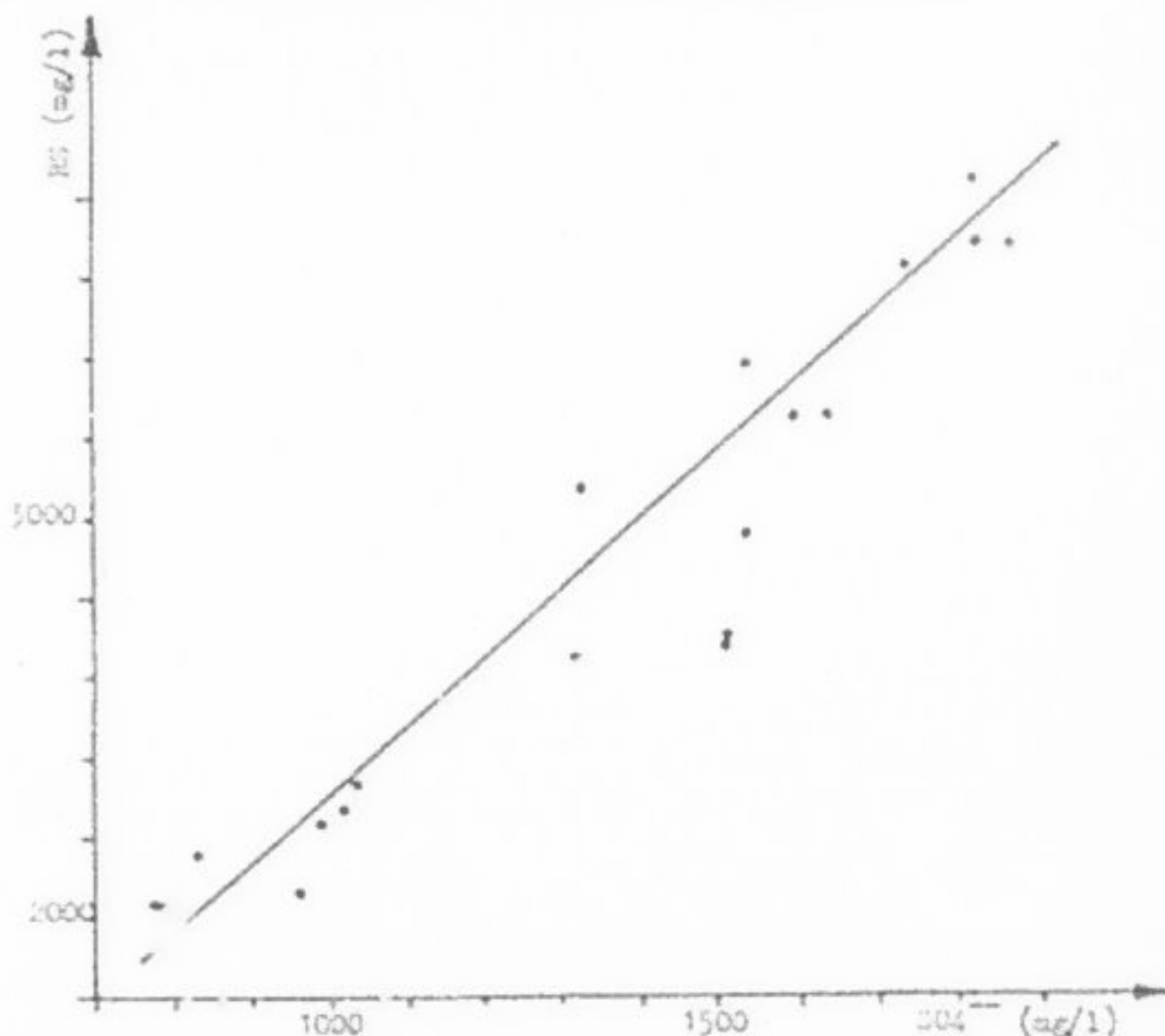


FIG (17) : Corrélation entre le résidu sec de l'eau et la concentration en sulfates

Sur le plan composition chimique l'eau de l'E. de l'Aïrid paraît plus homogène que l'eau de l'extrême-sud tunisien ou du chott Feljet. La légère variation de la concentration des sulfates, n'est pas poussée au stade de changer le faciès chimique. Cette homogénéité relative du faciès chimique est un indice de l'équilibre ou presque entre les deux formations aquifères (Sidi Ich et Bou Dinar) qui sur le plan hydrodynamique sont en intercommunication directe qu'elles contribuent à former le réservoir utile. La présence des séries argileuses intercalées entre les sables sable-gréseux ne joue ainsi aucun rôle dans l'isolation des formations aquifères. Ceci se traduit par des caractéristiques hydrochimiques communes. Il est très probable que l'anomalie chimique constatée entre el Hammam et Jarenj soit liée à la présence de la faille d'el Hammam (en direction N-E) dans une plus qu'une variation locale des caractéristiques lithologiques de la formation aquifère.

.../...

Il y a lieu de noter que le forage d'el Hamma CI1 qui s'est arrêté à ~142 m suite à une éruption de l'acétanilide avec un débit de l'eau de ~1/2 l/s. La température de l'eau était de 30°C. L'analyse chimique de cette eau a donné (date du prélèvement : 11.11.64) :

$$\begin{aligned} \text{Ca}^{++} &= 1700, \text{Mg}^{++} = 594, \text{Na}^+ = 4940, \text{Cl}^- = 242 \text{ mg/l} \\ \text{SO}_4^{--} &= 2196, \text{Cl}^- = 11,644, \text{HCO}_3^- = 264 \text{ mg/l}, \text{pH} = 6,75, \\ \text{cté} &= 29,34 \text{ u.s/cm.} \\ \text{RS} &= 23,760 \text{ mg/l.} \end{aligned}$$

L'étude de la composition chimique de cette eau montre qu'elle avait au départ le même faciès chimique que celle du CI mais ce faciès a été dénaturé suite à un phénomène de concentration qui a dépassé le point de saturation des sulfates. Les concentrations en Ca^{++} , Mg^{++} , Na^+ et Cl^- ont continué à s'élargir dans des proportions plus ou moins égales. L'origine de l'eau hypersalée qui a dépassé l'origine de la concentration du faciès original du CI ne peut avoir été que les nappes qui sont en communication avec le chott pour pouvoir acquérir une telle salinité. La température de l'eau (30°C) est déjà anormalement élevée pour la profondeur de 142m. Une telle température résulterait d'un mélange entre l'eau du CI qui est dans cette région à 70°C en moyenne et une eau moins profonde dont la température ne doit pas dépasser 10°C. En considérant ces températures, la moitié du débit au moins doit provenir du continental intercalaire et l'autre moitié de l'aquifère le moins profond. Ceci implique que la salinité de l'eau saline originelle était de l'ordre de 30 g/l. Une telle salinité a été retrouvée dans les nappeuses du chott Djérid.

Si l'origine de la salinité au niveau d'el Hamma CI1 est facile à repérer, le mécanisme de communication entre le chott et la dolomie turonienne est par contre moins évident. Une des hypothèses plausibles est un contact sédimentaire ou une communication prévaligée à travers une faille.

5- Caractéristiques isotopiques :

Les données des analyses isotopiques effectuées sur les eaux du CI au niveau du Djérid se limitent aux échantillons qui ont pu être recueillis au niveau des trois forages : Dégache CI1, Tozeur CI1 et Nefta CI1. Ces données concernent : les isotopes stables et les isotopes radio-actifs :

5-1 Isotopes stables : Les deux isotopes stables qui font partie de la molécule de l'eau sont l'oxygène -18 et le Deuterium.

Les concentrations en oxygène -18 intéressent les trois forages précités (22) :

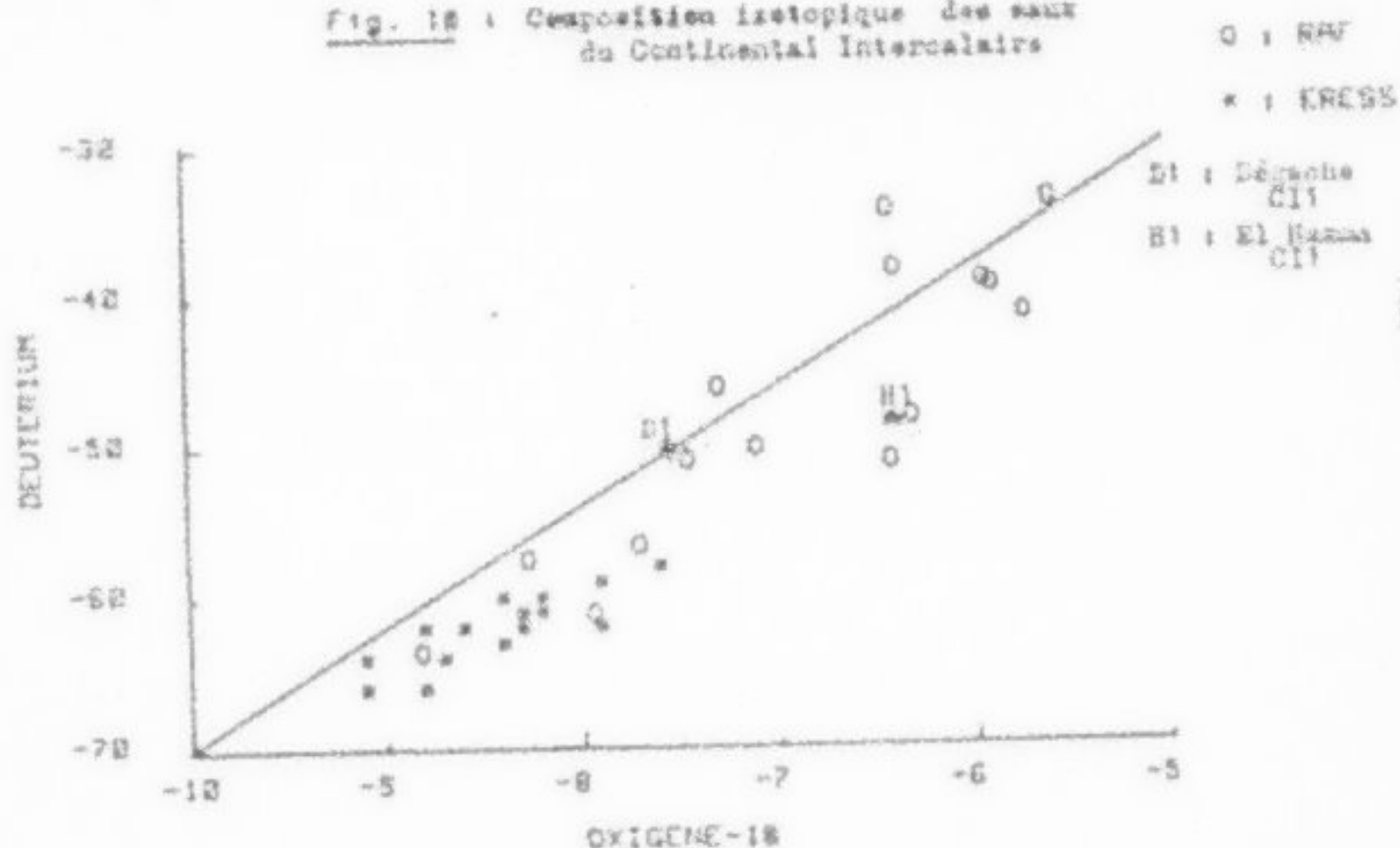
$$\begin{aligned} \text{Dégache CI1} &: \delta - 18 = -7,76 \% \\ \text{Tozeur CI1} &: \delta - 18 = -7,82 \% \\ \text{Nefta CI1} &: \delta - 18 = -7,17 \% \end{aligned}$$

Le forage de Dégache CI1 a fait l'objet au paravant d'un prélèvement qui a servi à déterminer la concentration en oxygène -18 ($\delta - 18$) et en Deuterium (D) (23). On a obtenu une valeur de -7,46 % pour l'oxygène -18 et -51 ‰ comme concentration en Deutérium.

.../...

En se référant à la droite de corrélation entre $\delta^{18}\text{O}$ et le D établie pour la nappe du continental intercalaire sur l'ensemble du bassin de l'Erg oriental, on constate que les valeurs en $\delta^{18}\text{O}$ trouvées ici, pour les trois forages du Djérid se localisent dans la plage du groupe des sources de Gafsa (Aïn Dab, Aïn Sidi Ahmed Zarrouk) rattachées au Crétacé Inférieur de Dj. Ben Youké et dépassent complètement de l'extrême sud tunisien et du Daher. Ces caractéristiques isotopiques viennent confirmer la difficulté de communication hydraulique avec le CI de la plateforme saharienne (Fig. 18).

Fig. 18 : Composition isotopique des eaux du Continental Intercalaire



A signaler dans le même contexte que le puitsier forage d'El Hammam CI qui s'est révélé éruptif à -542m dans le Turonien a donné à l'analyse une concentration en $\delta^{18}\text{O}$ qui varie de -6,37 % à -6,40 % et une concentration en Deutérium de D = -50,4 %. Avec de telles caractéristiques, cette eau est très proche de celle du CT de la presqu'île de Kébili et semble faire l'aboutissement de son déroulement vers le Djérid.

5-2 Isotopes radioactifs : Lors du forage de Dézache CI a fait l'objet d'une analyse d'isotopes radioactifs du carbone en vue de déterminer l'âge de l'eau. La concentration en $\delta^{13}\text{C}$ trouvée est de -8,41 %. Ce qui a permis de calculer l'activité en C^{14} qui est $3 \pm 1,1$. Sur la base de ces données l'âge de l'eau qui a été calculé est de 23000 à 6600 ans (2).

Cet âge correspond aux valeurs les plus "jeunes" de l'eau du CI sur le bassin de l'Erg oriental.

SUITE EN

F 2



MICROFICHE N°

0|4083

République Tunisienne

MINISTÈRE DE L'AGRICULTURE

CENTRE NATIONAL DE
DOCUMENTATION AGRICOLE
TUNIS

الجمهورية التونسية
وزارة الفلاحة

المركز القومي
للسّوئيّن الفلاحي
تونس

F2

6- Conclusion :

Sur le plan géologique le continental Guadalquivir du Bjaïd semble s'apparenter à un étage au fossile de la calcaire dolomique qui celui du silice des coquilles. Nous ne trouvons plus que celle marquante pour les deux séries et c'est le niveau Padié qui se différencie et une lithologie plus fine, le CI de Bjaïd, se présente sous forme d'une seule série intercalée avec des séries dolomiques plus ou moins dérisoires intercalées de petites séries dolomiques. Ces dernières viennent à la suite d'un grande masse argileuse qui constitue la déclivité et qui semble correspondre à la partie basse de la C.I.

Les conditions paléogeographiques qui ont été à l'origine de la déclivité de cette partie du Bjaïd sont sans doute analogues à un régime fluvio-lacustre qui se rapproche de l'érosion principal ce qui explique l'épaisseur relativement importante et la tendance vers une granularité fine en raison des séries intercalées.

Sur le plan tectonique, l'extension du bassin de Bjaïd et son rôle anticlinal compacteusement contrebalancé par des failles de raccourcissement et l'affondrement de la partie continentale de Bjaïd sont tels que ce sont les deux failles existantes qui égaient et qui déclinent le bassin qui sont responsables de l'implément hydrologique de cette structure anticlinale (granularité en pâtes). En effet le rapport de ces deux failles est de l'ordre de 100 à 250m environ sur le flanc sud du bassin qui est l'affondrement de l'anticlinal dans le CI à partir de la partie continentale. C'est cet accouplement relatif qui constitue le grand apport pour le développement du Bjaïd. Bien entendu, sous l'épaisseur utile de réservoir étant de 100 à 150m, ce rapport atteint arrive à créer une déclivité hydrologique entre la partie continentale du Bjaïd entre le CI de la plateforme provisoire et le Bjaïd.

Sur le plan hydrogéologique, la nappe du CI en dessous du Bjaïd, semble avoir une direction d'écoulement et des gradients hydrologiques qui sont en parfaite corrélation avec les directions de la nappe sous le Bjaïd. Le sens d'écoulement général est différent en fait. L'allongement des forages ne permet pas de s'assurer de la composition minérale de l'écoulement qui reste un sujet à élucider.

Les principales caractéristiques hydrogéologiques que l'on peut observer sur Bjaïd figure sur le tableau suivant :
Les caractéristiques hydrogéologiques que l'on peut observer sont les conditions d'exploitation de la nappe du continental Guadalquivir n'ont pas bien fonctionné. La débit spécifique des sources n'est jamais assez faible qu'il n'a été possible. C'est seulement cela qui fait que cette nappe n'a pas été classifiée ; C'est aussi le cas, en partie aux caractéristiques hydrologiques de l'équilibre dans la partie continentale du Bjaïd, et la faible permeabilité de la formation aquifère est à l'origine de la rétention des eaux dans cette formation. L'autre raisonnable qui est probablement à l'origine de la rétention de l'eau est spécifiques des ouvrages de drainage de l'interfluve aquifère avec la génération des tables aquifères avec un écoulement superficiel.

En définitive la composition de CI en dessous du Bjaïd n'a pas complètement sur le plan caractéristiques générales de la formation aquifère (lithologie, taux, etc...). Tout l'aspect hydrogéologique indiquerait que n'a pas été qu'analyté. Il est probable que les conditions de rétention de l'eau n'ont pas bien été à venir des ouvrages bien prévus et bien dimensionnés n'ont pas bien été à venir des ouvrages bien prévus et bien dimensionnés. C'est donc une bonne partie des caractéristiques hydrologiques de la formation aquifère qui sont à élucider (granularité, composition minérale hydrologique, perméabilité etc...). C'est avec le préliminaire de conditions hydrologiques au niveau de la formation aquifère que plusieurs travaux peuvent être faits.

IV. RÉSULTATS DE LA SÉRIE DE CLASSEMENT MÉTAL :

Les résultats d'exploitation de la nappe du CI faites dans le cadre du projet N°200 (1971) ont été faites entre par l'Office qui fait de 175 à 200 pour les fractures artificielles et de 80 à 100 pour les fractures naturelles. C'est surtout le débit artificiel qui montre bien long fait pour ce qui a été réalisée jusqu'à ce jour. Ce débit initial a été atteint à l'époque à partir des résultats obtenus au niveau de cette Pédale. On le reconnaît notamment par les résultats de cette Pédale avec moins de variabilité à l'exception du coefficient d'intercalation de une échelle qui se trouve plus élevée qu'en niveau de partie inférieure. Cette variabilité provient des variations géologiques de l'épaisseur qui ne sont pas celle de toute la hauteur tout sur le plan géologique qui comprend tout. La variabilité du projet N°200 (1971) a servi de base à l'exploitation de la nappe du CI au niveau de Pédale à 1000 m.s.n.m. Ce débit a été obtenu par la suite lors de la planification de l'exploitation de cette nappe (1971). Maintenant que les fractures sont très marquées et que celle de Pédale et de la partie de sous-jacent sont parfaitement utilisés il n'a pas atteint, mais a accepté les deux options suivantes au niveau de ces deux parties.

a. Réaliser à plusieurs les fractures de Pédale et de Pédale en vue de leur exploitation par plusieurs des déplacements de modèles pour correspondre à leur exploitation géologique. Les fractures peuvent être utilisées de l'eau (température élevée si elle est nécessaire) et le modèle s'ajuste une variation de l'ordre de 40 à 500 mètres. L'exploitation de petites énergies fabriquées avec des déplacements appropriés peuvent se réaliser à l'effet de la température élevée et aussi de la production.

b. Garder la variabilité des fractures de une nappe assez parfaitement à partie de CI (base de toutes des propriétés de fractures) et la partie à plusieurs de conditions terrestres.

Il faut ajouter de toutes les informations et on suppose que les fractures sont utilisées dans un niveau de température à faible débit d'eau de la nappe de Pédale, les fractures ayant la CI en surface peuvent être utilisées dans une certaine mesure.

TABLEAU VI : RÉSULTATS D'EXPLOITATION DES FRACTURES CI DU NAPPE

FRACTURE	TYPE FRACTURE EXCEPTION (1971)	DÉBIT DE L'EAU (1971)	DÉBIT D'EAU TOUTES (1/4)	OBSERVATIONS
Méthaneux	1 197205/1	100	50	Explosions
Méthaneux CI	2 197205/2	77	45	Explosions 1971/24
Méthaneux CI	2 197205/3	50	50	Explosions
CI 197205/2	2 197205/2	40	20	Explosions
CI 197205/2	2 197205/2	30	20	Explosions 1971/24
Méthaneux CI	2 197205/3	20	10	Explosions 1971/24
Méthaneux CI	2 197205/3	20	10	Explosions 1971/24
Méthaneux CI	2 197205/3	20	10	Explosions 1971/24
Méthaneux CI	2 197205/3	20	10	Explosions 1971/24
Méthaneux CI	2 197205/3	20	10	Explosions 1971/24
Méthaneux CI	2 197205/3	20	10	Explosions 1971/24
Méthaneux CI	2 197205/3	20	10	Explosions 1971/24
Méthaneux CI	2 197205/3	20	10	Explosions 1971/24
Total		570	285	
			TYPE 1 570/24	

NOTA : Tous ces résultats sont des débits flottants constatés.

Comme le montre la tabulation précédente, lors d'essais, captant le fil du filtre il n'y avait pas un niveau de débit tel que lorsque l'on a été confronté dans la coker des simulations prévisionnelles. Pour le meilleur des cas et en ayant toujours en tête que dans des conditions normalisées extrémement bonnes (bonne température et puissances intégrées), on arriverait à atteindre 530 à 560 t/j/s (*) ce qui se dépose pas les 30 à 60 % des prévisions. Il apparaît donc la nécessité de revenir au niveau de la nappe du Complexe Pernette pour mesurer la partie du débit dont le fil n'a pas été atteint de toute.

A. RAYMOND

(*) On tient compte ici du dernier forage qui porte à établir entre Gouzeaucourt et le Bassin.

BIBLIOGRAPHIE

- (1) UNESCO (1972) : Ressources en eau du Sahara septentrional (ENRSG)
- (2) PNGB (1983) : Actualisation de l'étude des ressources en eau du Sahara septentrional, Rapport final, p. 126, Juillet 1983
- (3) H. FARNAT (1984) : Note d'implantation des forages dans la nappe du Continental intercalaire du Djérid, DRE, Mai 1984
- (4) H. FARNAT (1982) : Note sur le forage Nabaress, DRE, Novembre 1982
- (5) H. ZEBIDI et H. FARNAT (1982) : Reconnaissance du Continental Intercalaire au Djérid : implantation du forage de Nefia, DRE, Mai 1982.
- (6) H. FARNAT et L. MOUSSI (1985) : Compte rendu de fin de travail du forage Nefia CI1 N° INR 19084/5, DRE, Décembre 1985
- (7) H. ZACHOURI (1984) : Compte rendu de fin de travaux du forage de Tassur CI1 N° INR 19162/5, DRE, Mai 1985
- (8) H. AYADI (1985) : Caractéristiques géologiques et hydrogéologiques du Continental Intercalaire dans la région du sillon des chotts, Mémoire de DEA, F.G de Tunisie, Novembre 1985
- (9) UNESCO (1972) : Etude des Ressources en Eau du Sahara septentrional, planquette n° 6 : Chimie des eaux et analyses isotopiques carte n° 1.
- (10) Génie Rural (1984) : Projet de sauvegarde des oasis du Djérid, cahier des prescriptions spéciales, CR, Tunisie, Mai 1984
- (11) H. HAMZA et H. ZEBIDI (1984) : Note sur l'exécution du forage d'al Kousa CI DRE, Décembre 1984
- (12) J.L ASTIER (1971) : Le réservoir du Continental Intercalaire, synthèse des résultats géophysiques, Geostudi, s.r.l. Roma 1971
- (13) C. BOISSON (1970) : Le désertique saharien : deuxième partie : Bassin de synthèse des données des sondages algéro-tunisiens, CEDS, Paris, 1970
- (14) A.S ABDELJACED (1983) : Etude sédimentologique et structurale de la partie Est de la chaîne Nord des chotts ; thèse 3ème cycle, F.G.C., de Tunis Oct. 1983.
b.M.CH. BABIA (1984) : Etude géologique de la région des chotts par télédétection spatiale, détection de la radiographie naturelle et analyses hydrogéo-chimiques ; Thèse 3ème cycle, Université de Bordeaux I, Février 1984.
- (15) P.P. BUROLLET (1956) : Contribution à l'étude stratigraphique de la Tunisie Centrale, Imp. LARAPIDE-TUNIS, 1956.
- (16) CH. POMEL (1975) : Ere néozolaïque, stratigraphie et paléogeographie, D.I.S., Paris, 1975
- (17) J. MAXIR et al (1984) : Nouveaux éléments de paléographie du Crétacé de Tunisie, Note n° 19, TOTAL-Paris 1984
- (18) ERSS (1972) : La nappe du Continental Intercalaire : Modèle mathématique UNESCO-Paris 1972.
- (19) A. MAMOU et A. SEHILI (1984) : Le forage de Dégache CI2 : Interprétation des diagraphies et conclusions hydrogéologiques, DRE-Tunis, Septembre 1984
- (20) A. LEVASSOR et A. TALBOT (1976) : sur le 1. 11 spécifique, l'interprétation des essais de puits et les prises de charge dans les forages d'eau (LBN/RD/76/5), Ecole des Mines de Paris, 1976
- (21) B. ABIDI (1985) : a- Réalisation et développement du forage Tassur CI2 (N° INR 19224/5) DRE, Novembre 1985
b- Réalisation et développement du forage Tassur CI3 (N° INR 19225/5) DRE, Novembre 1985
c- Réalisation et développement du forage Nefia CI2 (N° INR 19227/5) DRE, Novembre 1985.
- (22) J. CH. PONTES et A. MAMOU (1984) : Résultats en oxygène - 18 des solantilloïdes prélevés en Avril - Mai 84 dans le Sud tunisien DRE Gabès Mai 1984
- (23) A. MAMOU et J.P ARANTOSSE (1985) : Apport des techniques nucléaires à l'étude des aquifères du Sud tunisien -IABA-74-2336- 16 Juillet 1985.
- (24) H. ZEBIDI (1984) : Note sur l'exploitation de la nappe du CI dans le Sud tunisien DRE, Tunisie, Février 1984.

Florula

a. Message du Roi (328-1)	
- Règlement intérieur	1
b. Message de l'Assemblée à l'IRI 1945/4	
- Règlement intérieur	2
- Message d'admission	3
c. Message du Roi (328-2)	
- Règlement intérieur	4
- Règlement intérieur	5
d. Message de l'Assemblée à l'IRI 1946/5	
- Règlement intérieur	6
- Règlement intérieur	7
e. Message de l'Assemblée à l'IRI 1946/5	
- Règlement intérieur	8
- Règlement intérieur	9
f. Message du Roi (328-3)	
- Règlement intérieur	10
- Règlement intérieur	11
g. Message du Roi (328-4)	
- Règlement intérieur	12
- Règlement intérieur	13
h. Message du Roi (328-5)	
- Règlement intérieur	14
- Règlement intérieur	15
i. Message du Roi (328-6)	
- Règlement intérieur	16
- Règlement intérieur	17
j. Message du Roi (328-7)	
- Règlement intérieur	18
- Règlement intérieur	19

10. Forage d'EI Ressas 012 n° 188 : 1923/5	
- Fiche d'identification	22
- Log lithostratigraphique	23
11. Détermination des caractéristiques hydrogénodynamiques du forage Dagsche 011 (n° 188 1923/5)	25
Détermination de la température T	25
12. Détermination des caractéristiques hydrogénodynamiques du forage Notta 011 (n° 188 19094/5).	24
13. Caractéristiques des forages captant le CI au Béard	25

22. MARCH 1955 (CONTINUE THIS TO 1955 FIELD JOURNAL)

100 22,4,81 to 2,4,83

Constituents: 1: 1: 62 56° 37"

2: 1: 373 72° 30"

3: 1: 302, 544

1. Caves lithologies:

- 94 - 300m : Calcarenous dolomitic rocks with quartz (calcareous
dolomite?)
- 96 - 450m : Calcarenous gneiss, dolomitic, typical of dolomites
(carbonate intergrowths typical amongst?)
- 110 - 1650m : Calcarenous dolomitic rocks with dolomites (dolomites
mostly in limestone?)
- 165 - 925m : Alternating dolomitic rocks with dolomites (dolomites
predominant in dolomites - dolomites typical amongst?)
- 520 - 1150m : Calcarenous dolomites (predominant w/ dolomites & dolomites)
- 135 - 705m : Calcarenous dolomitic rocks w/ dolomites (dolomites?)
- 704 - 790m : Argillite dolomites w/ dolomites (dolomites & dolomites?)
- 706 - 375m : Limestone w/ dolomites (dolomites typical?)
- 971 - 1050m : Calcarenous dolomites w/ dolomites (dolomites?)
- 1053 - 5150m : Limestone dolomitic rocks (dolomites)
- 1070 - 5150m : Calcarenous dolomites w/ dolomites
- 1071 - 5150m : Calcarenous dolomites w/ dolomites
- 1074 - 5150m : Calcarenous dolomites w/ dolomites
- 1206 - 5270m : Argillite dolomites w/ dolomites (dolomites)
- 1224 - 5265m : Argillite dolomites w/ dolomites
- 1255 - 5260m : Dolomitic dolomites w/ dolomites
- 1260 - 1270m : Calcarenous dolomites w/ dolomites
- 1271 - 1290m : Calcarenous (dolomites?)
- 1294 - 1344m : Calcarenous dolomites (dolomites)

2. Features:

Profundity of the dolomites around 1,000,000.

- Tuya plain at 0,0 is ~ 100m & 117 118

- Tuya plain at 10,0 is ~ 1100m & 117 4,08

- Tuya plain at 1100,0 is ~ 1100m & 118

- Cenozoic is ~ 1100 & ~ 1100, 4,08 & 118

- Tuya to dolomites is ~ 1100, 4,08 & ~ 1100, 4,08 & 118

* Geographische Koordinaten

- Nominale Breitengrade: +
- Längliche Breitengrade: + 80° 34'
- Deklination des Zentrals: + 73° 15'
- Zeitzone Ost: + 0204 MEZ

* Geographische Koordinaten

Latitude	Nominal	Rekt.	Merid.	E	1004	sl	(800)	BSI	MEZ	UT
48,32,00	48,32,00	4	000,00	13,7	1004,0	362,1	11163,0	17,1	13,3	12234
48,32,00	48,32,00	30	000	71	235	362	302	17,2	3,0	2160
48,32,00	48,32,00	45	000	79,3	187,2	362,1	1120,8	17,0	0,39	2012
48,32,00	48,32,00	60	000	89	176,8	184,8	1360	17,0	13,07	12026

ANNEE 1911

IDENTITE DES ROCHERIES EN SAB

ROCHE

MARCHE (DRAPEAU)

S.P. 1, S.B. 1909/10

ALIMENTATION	DRAPAGE	SABAGE (TITRE)
LATTICE : 37° 73' 30"	APPAREIL : 1,400,000	B.P. : 300 (6%)
LEADERLINE : 6° 54' 07"	LEANT DE POURAGE : 1,400,000	300 (1/4), 100,000 (8%)
ALTITUDE : 102,500	125 DE POURAGE :	Température (°C) : 17,.....
CARGE F : 11 AG 300,000		

NUMERO	DATE	ROCHE	DATE DE RECHERCHE
92		Calcaire grésay jaune	1908 1910, 1911-1912/0
410		Calcaire gris avec dolomie, gypse et aragonite	1910, 1911-1912/0
453		Marnes et dolomies	1910-1911-1912/0
385		Rocas et marnes dolomites	1910-1911-1912/0
765		Calcaire blanc	1910-1911-1912/0
790		Argile grise et calcaire	1910-1911-1912/0
975		Marnes et dolomies	1910-1911-1912/0
1024		Calcaire et marnocalcaire	1910-1911-1912/0
1296		Marnes compacte verte	1910-1911-1912/0
1324		Rocas de R. Bolivie	1910-1911-1912/0
1329		Argile blanche fine	1910-1911-1912/0
1445			1910-1911-1912/0

NEPTA CII N° IRH 19084/5

DU AU

Coordonnées : X : 60 15' 35"

Y : 370 65' 20"

Z : 107,5m

1- Coupe lithologique :

- de 0 à 60m : Salbes du pontien inférieur (Sappe du Complexe terminal du Djerid)
- de 60 à 247m : Calcaires, marnes et niveaux phosphatés de l'Eocène inférieur
- de 247 à 287m : Calcaires blancs durs coquilliers du Maastrichtien
- de 287 à 597m : Calcaires et marno-calcaires du Campanien Maastrichtien
- de 597 à 1140m : Alternances de marnes avec des bancs calcaires, dolomies (Sénomanien supérieur)
- de 1140 à 1240m : Dolomies probablement du Turonien
- de 1240 à 1460m : Calcaires et alternances du Cénomanien supérieur
- de 1460 à 1470m : Calcaires colithique du Cénomanien inférieur
- de 1470 à 1887m : Calcaires, dolomies avec des intercalations argileuses
- de 1887 à 1914m : Grès ferrigineux
- de 1888 à 1914m : Grès, Argiles et dolomies
- de 1914 à 1922m : Formation essentiellement argileuses
- de 1922 à 1960m : Grès - peu d'argiles et quelques passées dolomitiques
- de 1960 à 1966m : Formation argileuse
- de 1966 à 1972m : Dolomies, Argiles
- de 1972 à 1981m : Grès, Argiles
- de 1981 à 2002m : Argile rouge avec peu de grès
- de 2002 à 2035m : Formation essentiellement argileuse avec du gypse et dolomie
- de 2035 à 2061m : Dolomie et argile rouge à la base
- de 2061 à 2154m : Grès blanc et vermicolore parfois ferrigineux

2- Captage :

Profondeur de reconnaissance : 2147m.
Tubage plein de +0,0 à -532m Ø 13" 3/8
Tube plein de +0,5 à -1763m Ø 9" 5/8
Tube chambre de -1664m à 2063,7m Ø 7" 1/2
Tube de décaissement de -2123m à -2327,5m Ø 5" 1/2

3- Caractéristiques hydrogéologiques :

- Niveau piézométrique + 137,5m ± 2m
- Débit maximum : 77 l/s
- Température de l'eau : 72°C.
- Residu Sec : 3,03 g/l

4- Caractéristiques hydrochimiques :

Ca^{++} : 396 Mg^{++} : 72,4 Na^+ : 335,6 K^+ : 54,5
 SO_4^{--} : 1632,0 Cl^- : 1404,7 HCO_3^- : 171 PH : 7,64
 R.S. : 1246 mg/l.

19.4.84

Ca^{++} : 380 Mg^{++} : 103,2 Na^+ : 473,5 K^+ : 32,5
 SO_4^{--} : 1525,4 Cl^- : 511,3 HCO_3^- : 134,2 PH : 8,5
 R.S. : 2471 mg/l PH : 8,0.

WILHELM BLOMBERG 1875-1945

N.Y. Z. & R. S. 13784/3

TOEUR CTI N° TIR 19163/2
du 31.3.83 au 25.3.84

Coordonnées : X : 66 41' 60"
Y : 37G 68' 60"
Z : 95,5 m

1- Coupe Lithologique :

0 - 124m : Sables grossiers (ravin?)
124 - 200m : Calcaire ferreux phosphate et marnocalcaire (Néogénien)
200 - 240m : Fente totale
240 - 618m : Calcaire et marno-calcaire avec intercalations
618 - 940m : Marnes vertes gypseries avec passages calcaires
940 - 998m : Dolomie (Turonien?)
998 - 1465m : Calcaires denses et dolomies (Crétacien ?)
1465 - 1650m : Dolomite
1650 - 1725m : Argiles, dolomite et passages anciens
1725 - 1770m : Dolomite (Aptien?)
1770 - 1786m : Argiles coupe gréseuse
1786 - 1856m : Très blanches fine
1856 - 2000m : Argiles gréseuses et très très fine.

2- Captage :

Profondeur de reconnalassance : 2000m,

Tube plein de 0 à +128m Ø 18" 5/8

Tube plein de +128m à +165,2m Ø 9" 5/8

Tube chassé de +161,3m à +1780m Ø 7"

Gravine de +1780m à +1820m Ø 6" 5/8

Tube plein de +1820m à +1839m Ø 6" 5/8

Gravine de +1839m à +1894m Ø 6" 5/8

Tube de démontage de +1894m à +1900m Ø 6" 5/8

3- Caractéristiques hydrogéologiques :

- Niveau piezométrique : +7,50 ± 7%
- Débit maximum : 70 l/s
- Température de l'eau : 67°C
- Conductivité : 17800 µS/cm

4- Caractéristiques Rydoniaques :

Méthode

Ca^{++} : 384, Mg^{++} : 62,4 Na^+ : 700,2 K^+ : 11,0
 SO_4^{2-} : 1737,6 Cl^- : 660,3 HCO_3^- : 169,1 pH : 8,1
 HCO_3^- : 3809 $\mu\text{eq/l}$, HCO_3^- : 3,01.

SITUATION	TRAVAIL	CARACTÉRISTIQUES
LATITUDE : 37° 48' 60"	APPAREIL :	N.P. : 1.3755... 2.116/13.9.
LONGITUDE : 6° 41' 60"	DÉBUT DU FORAGE : 31-3-65	INSTR (1/m). 304.00 (x).....
ALTITUDE : 95,58	FIN DU FORAGE : 25-5-65	Temperature (°C) ... 67°C.....
CARTE N° : AB		

ÉTAPE	COTES m.s.n.m.	NATURE DU TERRAIN	DISP. DE PELLES	
			T.E.	T.E.
0	0.0			
1	124	Sable grossier		18° 5/8
2	200	Calcaire phosphaté		128
3	240			
4	618	Calcaire et marno-calcaire		
5	940	Marnes calcaires		
6	990	Dolomie		
7	1465	Calcaire et marnes		
8	1650	Dolomie		
9	1725	Argile, Dolomie et grès		1613
10	1770			1662
11	1895	Grès blancs fins		
12	2002	Argiles et grès		1900

- 8 -

SEPTA CF₂ ST I.R.R : 19227/5

Coord : X : 62 45° 90°

Y : 170 65° 35°

Z : 105,33m

1- Coupe Lithologique :

- 0 - 84m Sable moyen jauneâtre
 84 - 268m Calcaire à niveaux phyllonitiques
 268 - 295m Calcaire blanc très dur
 295 - 752m Calcaire grisâtre + marne grise
 752 - 927m Calcaire franc avec intercalations de dolomite
 927 - 1139m Calcaire à passages dolomitiques
 1139 - 1304m Dolomie fraîche
 1304 - 1582m Intercalations calcaire sable + peu de dolomite
 1582 - 1917m Dolomite, intercalations de marne grise
 1917 - 2054m Formation assez épaisse argileuse, avec dolomite à la base
 2054 ~ 2110m Argile + dolomite grise
 2110 - 2235m Gypse blanc fin + argile rouge
 2235 - 2464m Argile rouge, argile vertâtre à dolomie grise
 2464 - 2504m Gypse blanc fin
 2504 - 2595m Gypse blanc fin + argile vertâtre.
 2595 - 2645 m Gypse et argile

2- Cptage (20.5.85)

Fuse patrouille de 2037 à 2136	77
Crepine 2336 ~ 2374m	67 5/8
TP 2374 ~ 2415m	*
Crepine 2415 ~ 2425m	*
TP 2425 ~ 2440m	*
Crepine 2440 ~ 2464m	*
TP 2464 ~ 2475m	*
Crepine 2475 ~ 2500m	*
TP 2500 ~ 2549m	*
Crepine 2500 ~ 2584m	*
TP 2584 ~ 2595m	*

3- Caractéristiques hydrologiques :

- Niveau pluviométrique : +310,30
- Débit moyen : 25 l/s.
- Température de l'eau : 16°C.

4- Caractéristiques géologiques :

25.6.81.

Ca^{++} : 320, Mg^{++} : 80, Na^+ : 400, K^+ : 45
 SO_4^{2-} : 1516, Cl^- : 150, HCO_3^- : 100, H_2SiO_4 : 2940, pH : 7,5), $\sigma_{\text{H}} \pm 3,26$

卷之三

新嘉坡 1925 年 10 月 20 日

卷之三

100% 65%

Fig. 1.2.9. 1000000

TOZEUR CI₂ N° IRR 19224/5

Du au

Coordonnées : X : 69° 40' 35"

Y : 373 68' 30"

Z : 105, 41m

1- Coupe lithologie :

- 0 - 87mm : Sable superficiel
- 87 - 223mm : Calcaire à niveaux phosphaté
- 223 - 910mm : Calcaire avec intercalations marneuses
- 910 - 1023mm : Dolomie
- 1023 - 1372m : Dolomie et marnes gypseuses
- 1372 - 1584m : Dolomie avec peu de marnes
- 1584 - 1723m : Argile, dolomie, grès et gypse
- 1723 - 1754m : Dolomie grise avec peu de marne
- 1754 - 1884m : Grès blancs fins
- 1884 - 2025m : Argile versicolore

2- Captage :

Profondeur de la reconnaissance : 2204m

- Tube plein de + 0,5 à -1749m Ø 9" 5/8
- Tube chambre de -1727m à -1757m Ø 6" 5/8
- Crédine de -1757m à -1781m Ø 6" 5/8
- Tube plein de -1781m à -1793m Ø 6" 5/8
- Crédine de -1793m à -1877m Ø 6" 5/8
- Tube de décaissement de -1877m à -1883m Ø 6" 5/8

3- Caractéristiques hydrogéologiques :

- Niveau piézométrique : +42,4m
- Débit maximum : 41 l/s
- Température de l'eau : 68°C
- Résidu sec : 3600 mg/l

4- Caractéristiques hydrochimiques :

27-6-85

Ca⁺⁺ : 549, Mg⁺⁺ : 84, Na⁺ : 694, K⁺ : 43,
SO₄²⁻ : 1824, Cl⁻ : 590, HCO₃⁻ : 124, H.S : 368, pH : 7,75
pH : 8,16 ; t : 4,18

N° 1.A.2. 15224/5

SITUATION	TRAVAIL	CHARACTERISTIQUES
LONGITUDE : 37° 48' 30"	LEVÉE : -----	R.P. : 2.4266... 2.2 (2) 2.42
LONGITUDE : 6° 40' 55"	HAUTEUR DU POURAGE : -----	2227 2/4, R. 2.2 (2) -----
ALTITUDE : 1034 m	VIS DU POURAGE : -----	Température (°C) : 22.7 -----
CANTON N° : 1	-----	
STAGES	COUPES	STAGES DE TRAITEMENT
	0.0	
	87	Sable
	223	Calcaire phosphaté
	314	Calcaire avec intercalation de silex
	410	
	1023	Silex
	1372	Silex et sables calcaires
	1524	Silex avec peu de sables
	1725	Argile et grès
	1864	Grès clair fin
	2025	Argiles micacées

TOPOGRAPHIE N° 188 : 19225/2

N° DE
SÉRIECOORDONNÉES :
X : 67 29' 05"
Y : 370 68' 30"
Z : 194,81 m1- DÉTAILS MÉTAMORPHIQUES :

- 0 - 1922 : calcaire jaune fin à moyenne
- 193 - 210m : Calcaires jaunes
- 217 - 220m : Calcaires et sables phyllithiques
- 228 - 230m : Calcaires jaunâtres très dur
- 234 - 232m : Marne verte + peu de calcaire
- 237 - 238m : Calcaire blanc tendre
- 238 - 239m : Marne grise plastique + peu de calcaire
- 245 - 250m : Calcaire blanc à petite intercalation de marne grise
- 255 - 260m : Marne grise
- 263 - 265m : Dolomies jaunes et dures
- 268 + 270m : Intercalation de marne verte et dolomies
- 270 - 272m : Marne grise feuilletée + traces de pyrite
- 273 - 275m : Intercalation de marne grises + peu de dolomie
- 276 - 278m : Calcaires blanc cassés
- 283 - 285m : Marne grise + traces de calcaires
- 287 - 288m : Sable jaune
- 292 - 295m : Marne verte + dolomite jaune
- 295 - 297m : Dolomies à marne verte
- 304 - 306m : banc de dolomite blanc moyen
- 310 - 312m : Marne verte et grise + traces de calcaires
- 312 - 313m : dolomite et dolomite grise (calcinette)
- 313 - 314m : Règne verte
- 318 + 319m : dolomite blanche fine
- 323 - 324m : Règne grisé + pyrite
- 325 - 326m : dolomite grise + rares grès + pyrite
- 327 - 328m : dolomite + rares grès + pyrite
- 328 - 329m : dolomite à rares grès + traces dolomites
- 329 - 330m : dolomite à dolomites vertes + traces dolomites
- 330 - 331m : dolomite à dolomites vertes + peu dolomites vertes
- 332 - 333m : dolomite vertes + rares dolomites

2- Captage :

- Profondeur de reconnaissance : 2786m
- Tube plein de +0,5 à -1856m ♀ 9° 5/8
 - Tube chambre de -1856m à 1885m ♀ 7°
 - Crédence de -1885m à -1973m ♀ 6° 5/8
 - Tube plein de ~1973m à -1985m ♀ 6° 5/8
 - Crédence de -1985m ~ 1997m ♀ 6° 5/8
 - Tube de décantation de -1997m à -2002m ♀ 6° 5/8.

3- Caractéristiques hydrogéologiques :

- Niveau piézométrique : +55m
- Débit maximum : 19 l/s
- Température de l'eau : 72°C
- Résidu sec : ?

4- Caractéristiques hydrochimiques :

Ca^{++} :	Mg^{++} :	Na^+ :	K^+ :	pH :
SO_4^{--} :	Cl^- :	HCO_3^- :	Na^+ :	

SITUATION	TRAVAIL	CARACTÉRISTIQUES
LATITUDE : 37° 68' 30"	APPAREIL :	S.P. : .1559..... P.2(6/1)....
LONGITUDE : 0° 39' 05"	DÉBUT DE FORAGE :	2621P(1/6)...12...m (a).....
ALTITUDE : 94,86m	FIN DE FORAGE :	Temperature (°c) .22.....
CARTE N° : 40		

ÉTAGES	COTES 0.0	NATURE DU TERRAINE	ÉTAT DU FUITÉ 7.5
MILO Eau de la pointe	119	Sable jaune	épaisse
ECC. eau de la pointe	268	Calcaire jaune phosphaté	EP: +0,5-18% / 5/8
	366	Calcaire jaune	DP: -1836-1865/7*
	377	Marne verte	C: -1865-1973/6**/8
	551	Calcaire blanc crayeux	EP: -1973-1985/6**/8
	595	Marne grise	C: -1985-1997 / 6* 5/8
	863	Calcaire blanc avec marques	ED: -1997-2002 / 6* 5/8
	1045	Dolomie jaune	
	1089	Marne verte	
	1131	Marne grise + dolomie	
	1246	Marne grise + dolomie	9/8
	1364	Calcaire blanc crayeux	
	1401	Marne grise	
	1490	Dolomie jaune	
	1557	Calcaire et marne	
	1640	Calcaire + Dolomie	
	1756	Calcaire blanc	
	1852	Marne	
	1977	Dolomie	1836
	1977	Argile	1885
	1977	Grès blanc	6%
	1977	Argile	2002

- 1 -
DESSIN DE CTE N° 19230/5

Du 20.6.54 au 30.6.54

Coordonnées : I : 62 55° 45'

J : 372 78° 80'

Z : 1922,400

1- Coupe lithologique :

- de 0 à 65 = Calcaire crayeux jaune flaconné
de 65 à 104 = Marées grises à petites intercalations calcaires
de 104 à 271 = Calcaire crayeux - 271m Z 1922,400
de 271 à 302 = Marées vertes à intercalations calcaires
de 302 à 403 = Calcaire blanc avec passages marneux
de 403 à 537 = Intercalation calcaires
de 537 à 925 = Intercalation carreaux verticaux friable et grossier
bancs calcaires
de 925 à 972 = Banc dolomie grise dense
de 972 à 1140 = Intercalations marneuses et banc dolomie + banc de dolomie
de 1140 à 1249 = Marées grises + banc de dolomie - 1249m Z 1922,400
de 1249 à 1295 = Intercalations carreaux grisâtres + dolomies + calcaire de dolomie
de 1295 à 1314 = Dolomie grise
de 1314 à 1317 = Argiles rouges
de 1317 à 1352 = Gypse blanc fin
de 1352 à 1368 = Argiles vertes calcaires - 1368m Z 1922,400
de 1368 à 1396 = Marées blanches fin
de 1396 à 1427 = Argiles vertes calcaires - 1396m Z 1922,400
de 1427 à 1487 = Gypse blanc fin
de 1487 à 1631 = Argiles vertes calcaires + sables de dolomie - 1631m Z 1922,400
de 1631 à 1702 = Argiles vertes calcaires + dolomies + bancs dolomie

Perse de base : de 0 à 300 mètres de dolomie et dolomie.

2- Captage : Profondeur de reconnaissance : 1782m

Tubercule -0,3m à -402m ♀ 13° 3/8
0,0m à -1284m ♀ 9° 5/8
Punt d'arête -1275,3m à -1337,7m ♀ 6° 5/8
Cône -1337,7m à -1353,3m ♀ 6° 3/8
Côte plate -1355,3m à -1373,2m ♀ 6° 3/8
Terrasse -1373,2m à -1426,3m ♀ 6° 3/8
Zone de fréquentation -1426,3m à -1471,4m ♀ 6° 3/8.

3- Caractéristiques biotocétophanées :

- Niveau géométrique : +28m à 78
- Profil cassé : 12 1/2
- Densité de l'eau : 7180.
- Saison : été : 2025 mm/2

4- Installations hydrobiologiques (20.8.54)

10° : 308 Mm² : 42. Mm² : 2843 X² : 72,1, 26 ± 0,2
Mm² : 2,03
Mm² : 223,0 X² : 142,0 Mm² : , 31 ; 2025 mm/2.

LOCALISATION	TRACAGE	CARACTÉRISTIQUES
LATITUDE : 37° 78' 00"	APPAREIL :	B.P. : ... 200m ... 5,5 (g/l) 3,63
LONGITUDE : 6° 35' 43"	DEPT DE FONCTION : 2600mB4...	PHOTO (1/4) 52,00 (a).....
ALTITUDE : 1102,400	LEZ DE FONCTION : ... 31,9,04...	TEMPERATURE (°C) ... 22,00.....
CARTE N° : 71 AL 1/50,000		

DEPTH	TYPE S.G.	ROCKS IN STRATA	TIME IN M.S.
65		Calcaire gréseux jaune	
129		Marnes grises + inter. de calcaire	
221		Calcaire grisâtre et marneux	115 M/S
302		MARNES YOLLOU	CARBONATE
403		Calcaire blanc et marneux	72 + 10,0 = 82,00 13° 3/8
537		Marno-calcaire	72 + 10,5 = 82,50 13° 3/8
		Marnes vertes	72 + 133,0 = 133,00 13° 5/8
		petites bancs calcaires	C. + 133,2,7 = 133,3 386,95/6
573		Calcaire grisâtre	72 + 133,5,3 = 133,8 386,95/6
573		Marnes et dolomie	C. + 133,8,2 = 141,6 386,95/6
1040		Marnes grises et	602 72 + 146,3 = 149,3 0
		calcaires	
1242		Marnes et grès	9° 5/8
1242		GRÈS BLANC	ADULTEE PHANÉROZOIQUE 10,0,0
1242		GRÈS BLANC	Qa++ : 300,70 ++ 160,00 13/4
1242		GRÈS BLANC	X' : 72,1,00 ++ 189,6,
		GRÈS	01' + 340,8
1242		GRÈS BLANC	200,5' + ,850,00 13/4
		GRÈS BLANC	PRI : ,66 + 3,01
1242		GRÈS BLANC	1270 1894
		GRÈS BLANC FIN	63
1557		GRÈS BLANC	(48)
1631		GRÈS BLANC	
1760		LEZILES ET GRÈS FIN	

DRAGEE CI₃ N° IRH 19251/

Du au 23.3.85

Coordonnées : E : 63 57' 10"

N : 372 80' 10"

Z : 116,7m

1- Coupe lithologique :

- 0 - 84m : Calcaire jaune gréseux
84 - 376m : Calcaire avec gypse et marnes vertes
376 - 725m : Calcaire blanc crayeux à perte (60m³)
725 - 928m : Calcaire avec intercalations de marnes et présence de gypse
928 - 1098m : Dolomie avec peu de marnes et de grès
1098 - 1269m : Intercalations de marnes et de grès avec argile rouge et traces de dolomie
1269 - 1308m : Dolomie grise et marnes vertes
1308 - 1316m : Argile grise avec peu de dolomie et gypse
1316 - 1322m : Grès blancs fins
1322 - 1326m : Grès et argiles rouges
1326 - 1338m : Grès blancs fins
1338 - 1340m : Argile verte gréseuse
1340 - 1346m : Argile vermicolore et grès
1346 - 1352m : Argile gréseuse
1352 - 1358m : Argile rouge brique
1358 - 1401m : Grès blancs fins
1401 - 1408m : Très blancs fins avec lignite
1408 - 1418m : Grès blancs fins
1418 - 1426m : Lignite
1426 - 1482m : Grès fins rougissant
1482 - 1496m : Marnes vertes et grès blancs.
1496 - 1501m : Argile rouge et grès
1501 - 1507m : Grès blancs fins
1507 - 1515m : Argile rouge gréseuse
1515 - 1518m : Grès moyen bleu
1518 - 1524m : Grès blanc fin à moyen avec gypse
1524 - 1528m : Argile vermicolore gréseuse et gypse
1528 - 1530m : Marnes vertes et gypse avec peu de dolomie
1530 - 1550m : Marnes vertes et gypse avec gypse et dolomie

1627 - 1629m : Grès blancs fins
 1629 - 1644m : Argile verte avec gypse et grès à trèfles
 1644 - 1660m : Argiles vertes feuilletées et grès grossiers à la base
 1660 - 1670m : Argiles vertes et craie feuilletées avec gypse et grès
 1670 - 1704m : Argiles rouge brûlé
 1704 - 1712m : Calcaire fina avec grès fins blancs et gris
 1713 - 1721m : Argiles vertes avec grès et calcaire
 1721 - 1727m : Argiles rouges
 1727 - 1740m : Grès blancs fins et argiles rouges avec grès
 1740 - 1745m : Argiles vertes avec gypse et grès
 1749 - 1751m : Argiles rouges
 1751 - 1758m : Argiles rouge brûlé gréseuses
 1758 - 1760m : Grès blancs fins et grès
 1760 - 1770m : Argiles rouges et grès
 1770 - 1794m : Argiles multicolores avec silex et lichens de galène
 1794 - 1803m : Argiles rouges.

1- Captain 1

Profondeur de commémoration : 1803

Tubace	: de 0 à 900	épaisseur 1,218
	: de 0 à 100, 350m	épaisseur 0,818
Pâte chauxre	: de 1297, 34 à 1327, 3	épaisseur 0,618
Gypse	: de 1327, 3 à 1344, 00 à 1350, 00	épaisseur 0,7
Taux de dissolution : de 1000,00 à 1120,47 épaisseur 0,173		

2- Caractéristiques hydrogénodynamiques :

- VITESSE PÉDOMÉTRIQUE : 2000 cm
- DEBITS MAXIMAUX : 100 l/s
- Température en surface : 27°C
- Niveau de

3- Caractéristiques hydrochimiques :

27-6-67

Ca⁺⁺ + 308, Mg⁺⁺ + 90, Na⁺ + 519, K⁺ + 23,
 SO₄²⁻ + 1324, Cl⁻ + 497, HCO₃⁻ + 148, H₂S + 0,02, pH + 7,27
 0,6 + 5,7

MÉTROPOLE N° 8

INSTITUT DES MÉTROPOLES DE PARIS

DÉPARTEMENT CDI

n. 11.3

ET T.R.E....1951...

COORDONNÉES	MÉTRES	CARACTÉRISTIQUES
LATITUDE : 45° 40' 30"	APPARENCE :	R.P. : ... 7.28... 2.2 (6/1) 3.58
LONGITUDE : 5° 57' 70"	DATE DE PARADE :	SCDT (2/4) .54.0m (n).....
ALTITUDE : 136.7m	TYPE DE PARADE : 250.000m	IMPERMEABILITÉ (%) ... 22%
COULEUR : 0.33 40 1100.000		

DEPT	DATE	SITES ET DÉTAILS	ENTRE 10 METRES
94	1951	Calcaire jaune clair Calcaire blanc moyen marron moyen	13° 3/8 Analyse chimique
95	1951	Calcaire blanc moyen cristallin (partie : 60 m²)	555
96	1951	Calcaire + argileux de couleur blanche moyen	
97	1951	Calcaire gris moyen de couleur gris moyen	9° 3/8
98	1951	Marbre, grès, argile argile et dolomie	
99	1951	Calcaire gris moyen (partie : 50 m²)	1391.2 1502
100	1951	Marbre rose moyen	
101	1951	Argile et grès	1405.1
102	1951	Calcaire gris moyen	555555
103	1951	Calcaire gris moyen + pierre de taille	10 + 0.0 - 0.0 + 0.0 3.00
104	1951	Argile, grès et grès	10 + 0.0 - 0.0 + 0.0 5.00
105	1951	Argile et dolomie	10 + 1297.0 - 1327.5 3.00 3/8
106	1951		0 + 1327.0 - 1328.5 2.0 3/8
107	1951		10 + 1404.5 - 1405.0 2.0 3/8

Du 27.11.84 au 2.1.85

Coordonnées : X : 66 90' 60"
 Y : 379 76' 60"
 Z : 67,29m

1- Coupe lithologique :

- 0 - 12m : Sable superficiel
- 12 - 87m : Calcaire jaune
- 87 - 192m : Marnes vertes
- 192 - 454m : Intercalations marno-calcaires
- 454 - 742m : Calcaire gréseux
- 742 - 1164m : Intercalations marno-calcaires et gypse
- 1164 - 1271m : Calcaire et marnes à dominante calcaire
- 1271 - 1313m : Marnes vertes et gypse avec traces de grès
- 1315 - 1361m : Marnes vertes et gypse
- 1361 - 1412m : Dolomie, grès et traces de marnes
- 1412 - 1432m : Argiles rouges
- 1432 - 1463m : Grès blanc sale et traces d'argiles rouges
- 1463 - 1474m : Argiles vermicolores avec traces de gypse
- 1474 - 1496m : Grès blanc sale avec traces de marnes vertes
- 1496 - 1510m : Argiles vermicolores et traces de grès
- 1510 - 1595m : Grès blancs fins avec argiles et gypses
- 1595 - 1696m : Argiles vertes et gypse
- 1696 - 1708m : Pas d'échantillons

2- CARBONE :

Profondeur de reconnaissance : 1706 mètres

Tubage	de 0 à 990 diamètre 113/8
	de 0,5 à 1413 diamètre 93/8
Tube chantre	de 1391,5 à 1444,2 diamètre 63/8
Cépine	de 1444,2 à 1483,5 diamètre 63/8
Tube plain	de 1483,5 à 1497,3 diamètre 65/8
Cépine	de 1497,3 à 1590,4 diamètre 65/8
	de 1590,4 à 1598,3 diamètre 65/8

3- Caractéristiques hydrogéologiques :

- Niveau phréatique : + 72,50 m
- Débit maxima : 170,3 l/s
- Température de l'eau : 13° C
- Pression des : 7,69 atm

4- Composition chimique de l'eau (µg/l) :

1.1.85 : RS : 2698

Ca⁺⁺ : 293, Mg⁺⁺ : 57,6, Na⁺ : 506,0, K⁺ : 55,36

SO₄⁻⁻ : 1500, Cl⁻ : 284 HCO₃⁻ : 122, PH : 7,0, cté : 3,06

7.1.85 : RS : 2690

Ca⁺⁺ : 283, Mg⁺⁺ : 60,0 Na⁺ : 512,9, K⁺ : 55,77,

SO₄⁻⁻ : 1500, Cl⁻ : 269,8, HCO₃⁻ : 158,6, PH : 7, cté : 3,07.

27-6-85 :

Ca⁺⁺ : 291, Mg⁺⁺ : 69, Na⁺ : 414, K⁺ : 50

SO₄⁻⁻ : 1505, Cl⁻ : 390, HCO₃⁻ : 151, R.S : 2640, pH : 7,7, cté : 2,94

Anexo B-5

DIRECTORIO DAS ENCONTRADAS DE MAR

ENCONTRADAS

S. PAULO, 051.012

- 39 -

2^o L.R.V. 1996/97

ESTATUA	PLACA	PLACAS IDENTIFICATÓRIAS
LATITUDE : 23° 16' 50"	AFFAREL :	R.P. 47.775... R. 2 (61) 072
LONGITUDE : 46° 59' 60"	DATA DE FABRICA : 27-11-64	DATA DE FABRICA : 27-11-64
ALTIMETRIA : 87.290	HORA DE FABRICA : 7-07-65	DATA DE FABRICA : 27-11-64
CARTE N° : 71 151/100.000	Temperatura (°C) : -17.5

PLACAS	DATA	ESTATUA DE ENCONTRO	DATA DE FABRICA
	0.0		
	87	Calcareo jalisco	
	152	Marmo verde	
	404	Marmo-micrite	
	163	Calcareo crista	196
	1764	Calcareo de Ribeirão	
	1271	Mármore de São Paulo	
	1315	Mármore de São Paulo	
	1361	Granito	
	1413	Mármore crista	
	1595	Bruto de calcário	
	1696	Argila ou argila	
	1700	Argila	

ESTATUAS ENCONTRADAS : 2.700.000
 23° 16' 50" 46° 59'
 87 : 102,3 27-11-64
 152 : 220,0 01-07-65,3
 404 : 158,4 28-7-65
 163 : 1,07 22-11-64

196 : 223 0,20 22-11-64
 595 : 262 0,50 27-11-64
 1271 : 270,0 27-11-64
 1315 : 270,0 27-11-64
 1361 : 270,0 27-11-64
 1413 : 270,0 27-11-64
 1595 : 270,0 27-11-64
 1696 : 270,0 27-11-64
 1700 : 270,0 27-11-64

19. *Leucosia* *leucostoma* *leucostoma* *leucostoma* *leucostoma* *leucostoma* *leucostoma*

卷之三

19. *Leucosia* *leucostoma* *leucostoma* *leucostoma* *leucostoma* *leucostoma* *leucostoma*

卷之三十一

卷之三

3. Design 任务的自我监控与评价

- 1487 à 1519a : Argiles moyennement
1519 à 1528a : Grès fin.
1528 à 1535 à 1540 : Grès
1535 à 1547 : Grès blanc. Très
1547 à 1552 : Argiles rouges
1552 à 1560 : Grès fin avec une couche
1560 à 1574 : Argiles rouges. Très épaisse et dure.

a) Géologie : Profondeur de la roche calcaire : 1600m.

- Tubage plein de 0 à -270 0 10° 5,5
Tube plein de 0 à -500a 0 10° 1,0
Tube plein de 0,5 à -1437a 0 10° 5,5
Tube chaître de -1437,5m à 1464,75m 0 10° 5,5
Grande de -1464,75m à -1487,5m 0 10° 5,5
Tube plein de -1487,5m à 1505,75m 0 10° 5,5
Siphone de -1505,75m à -1515,85m 0 10° 5,5
Tube plein de -1515,85m à -1547,91m 0 10° 5,5
Siphone de -1547,91m à -1566,10m 0 10° 5,5
Tube de débouché de -1566,10m à -1607,20m 0 10° 5,5

b) CARACTÉRISTIQUES HYDROGEOLOGIQUES :

- Niveau piézométrique : 115,50
Taux maximum : 60 L/S
Taux moyen : 10 L/S
Taux moyen : 5,25 L/S.

c) CARACTÉRISTIQUES PHYSICOCHIMIQUES :

Chlorure :

- Ca^{++} : 280, Mg^{++} : 75, Na^+ : 315, K^+ : 35
 SO_4^{2-} : 1824, Cl^- : 155, HCO_3^- : 153, SiO_4^{4-} : 3040, HCO_3^- : 7,0, Cl^- : 4,0

SITUATION	TRAVAIL	CARACTÉRISTIQUES
LATITUDE : $37^{\circ} 76' 70''$	APPAREIL :	E.P. : + 26,6 ... K.3 (e/1) 3,8
LONGITUDE : $6^{\circ} 49' 40''$	HAUTEUR DE FORAGE :	DEPT (1/4) ... 41,00 (m)
ALTIITUDE : 102,39m	FIN DE FORAGE : 10-2-65	Temperature (°c) ... 13
CARTE N° : 71 AD 1/100.000		

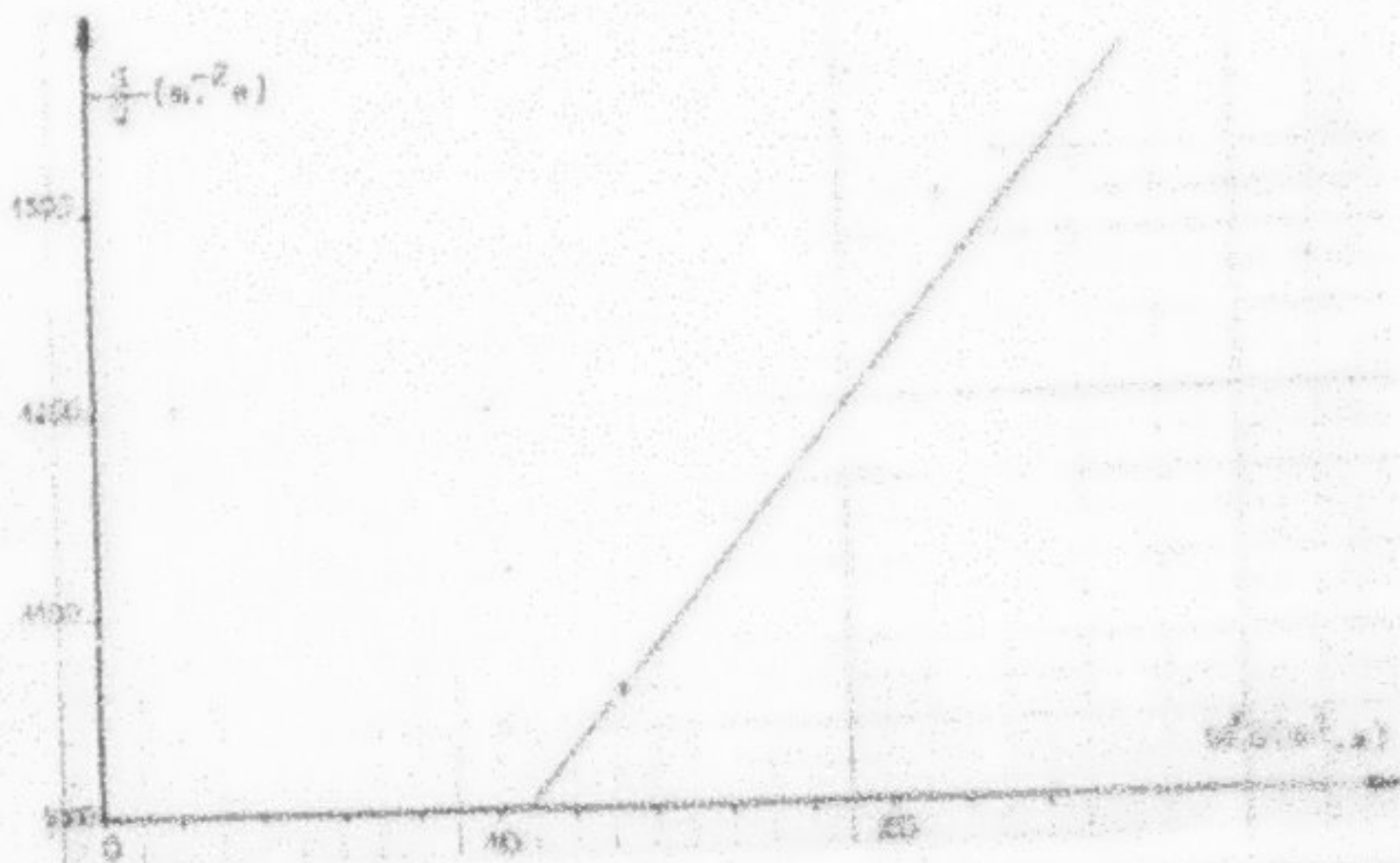
ETAGES	COTES 0,0	NATURE DU TERRAIN	STAT. DE PLEIN T.H.
	103	Calcaire jaune gréseux	
	350	Calcaire et marne	13° 5/8
	394	Calcaire jaune	
	440	Marne	
	570	Calcaire et marne	
	611	Calcaire crayeux	599
	673	Dolomie	
	772	Calcaire grueux	
	805	Calcaire jaune dolomitique	
	850	Calcaire	
	945	Marne	
	1162	Dolomie et marne	9° 7/8
	1417	Marne verte	
	1450	Dolomie et marne	1409
	1554	Marne, dolomie et grès	1437
	1604	Dolomie grise	
		Argile-grès	1595

Capteur	Analyses Chimiques : 27-4-67
TP : 0,0- 27a $\beta 12^{\circ} 5/8$	Ca ⁺⁺ : 280, Mg ⁺⁺ : 76, Na ⁺ : 733 K ⁺ : 39
TP : 0,0- 599a $\beta 13^{\circ} 5/8$	SO ₄ ²⁻ : 1624, Cl ⁻ : 355, BCO ₃ ²⁻ : 155
TP : 0,5-1457 $\beta 9^{\circ} 5/8$	K.S : 3540
Tch1-1409,5-1469,65 $\beta 6^{\circ} 5/8$	
C : 1-1469,65-1487,5 $\beta 6^{\circ} 5/8$	
TP : 1-1487,5-1505,79 $\beta 6^{\circ} 5/8$	
C : 1-1505,79-1535,88 $\beta 6^{\circ} 5/8$	
TP : 1-1535,88-1547,97 $\beta 6^{\circ} 5/8$	
C : 1-1547,97-1595,10 $\beta 6^{\circ} 5/8$	
TD : 1-1595,10-1602,2	

ACCESSION NO. 11

FORAGE RELEASES 012 4° 23' 52" N 72° 47'

1	2	3 DATE ON PAILLER	4 DEPTH M	5 SIXEAN STAT. Pa	6 SIXEAN PIANO.	7 RADIOM. ELEMENT 1/2-3	8	9
			h	m^2 / s^2				
				$0 \cdot 10^{-3}$	28			10
				$33.2 \cdot 10^{-3}$		14	14	1000
				$22 \cdot 10^{-3}$		0	28	1222
				$10 \cdot 10^{-3}$				100
				$10 \cdot 10^{-3}$				40
				$10 \cdot 10^{-3}$				20
				$10 \cdot 10^{-3}$				10
				$10 \cdot 10^{-3}$				5
				$10 \cdot 10^{-3}$				2
				$10 \cdot 10^{-3}$				1
				$10 \cdot 10^{-3}$				0.5



A	Point 1		$\frac{1}{g \cdot R^2 \cdot n}$	$\frac{1}{g \cdot R^2 \cdot n}$
	1	2		
100	1500	100	100	100
100	1000	100	100	100
200	1120	19	100	100

Point 2		Point 3	
100	1000	100	100
100	1000	100	100
200	1120	19	100

卷之三十一

TABLE 2. CAPACITY OF

卷之三

此。故行者曰：「往，惟君國事以爲計。」是其所以

⁴ 1976 年 1 月 1 日起，新設立的公司、企業和外商投資企業，其「總經理」或「總裁」的職務稱謂，可改稱為「董事長」。

卷之三	卷之四	卷之五
卷之三	卷之四	卷之五
卷之三	卷之四	卷之五
卷之三	卷之四	卷之五

$E \approx 0.3 \text{ eV}, 4\text{eV}^{-1}$

卷之三

1	2	3	4	5	6	7	8
100	200	300	400	500	600	700	800
100	200	300	400	500	600	700	800

• 2015-02-22 10:20:48

這就是我們要找的，就是我們要找的。

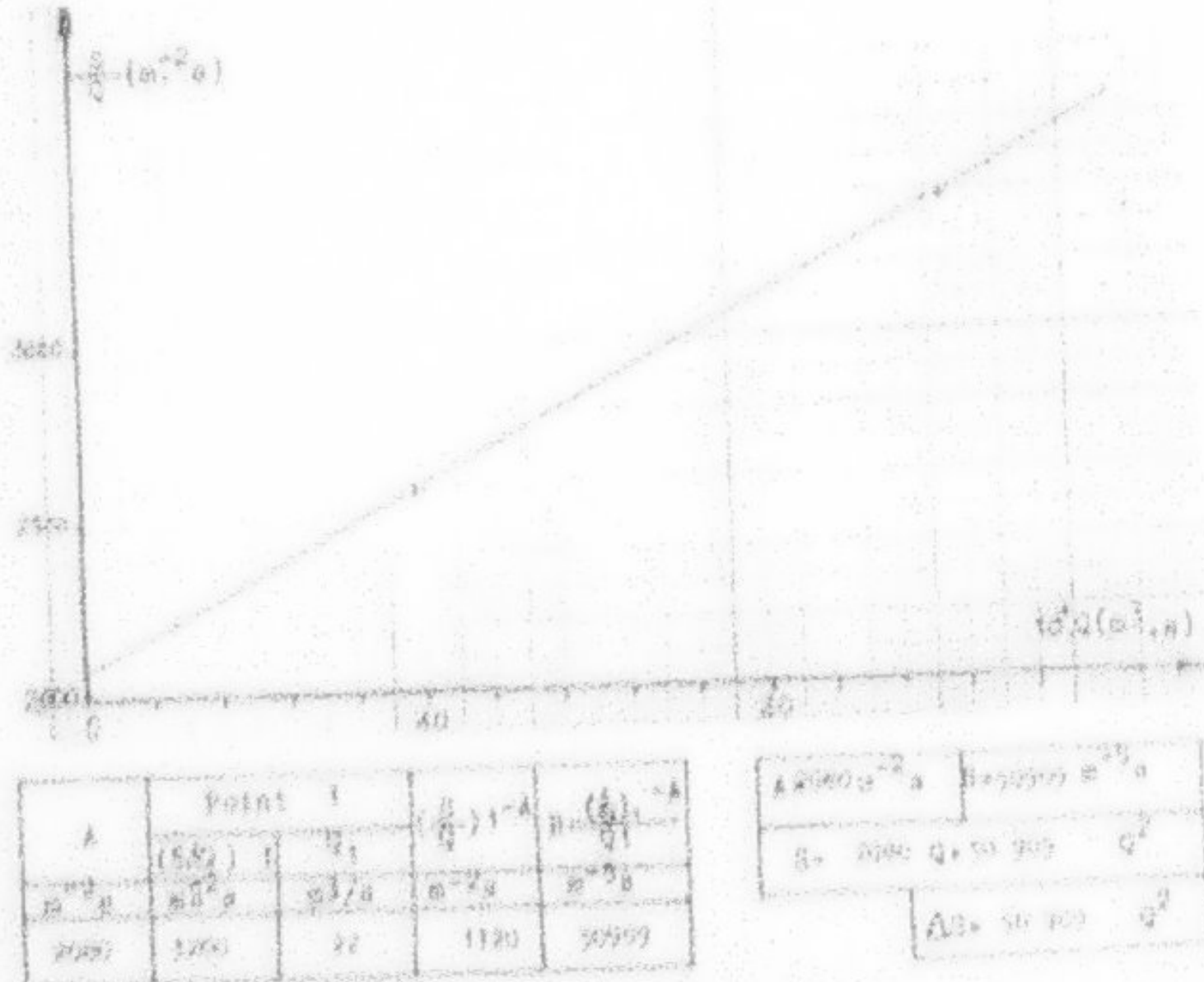
（三）在新民主主义时期，民族资产阶级和地主阶级一样地剥削劳动人民，所以对它们都实行消灭政策。

9. $\frac{1}{2} \times \frac{1}{2} = \frac{1}{4}$

1961-85-3m²/10

人醫2014-03-13

Fig. 274. — *Scutellaria* sp. (S. galericulata L.)



DETERMINATION DE LA TRANSMISSION T

d'après la relation $Q = t \cdot T$ (2)

BUREAU DES PONTS ET CH

1966/5

1- Estimation du coefficient d'assouplissement K :

Épaisseur de l'argam m	Permeabilité n	t	$T = 6,2 \cdot 10^{-6}$
2			
100	0,1	$100 \cdot 10^{-6}$	

2- Caractéristiques fondamentales:

Longueur d'action du rayon de propagation m	Densité g	Largeur du pâler m	A	$\frac{1}{A}$	A'	$\frac{1}{A'}$
0,2	3,2	2,5	$5 \cdot 10^{-3}$	200	$2 \cdot 10^{-3}$	500
0,1	$25,5 \cdot 10^{-3}$	$24 \cdot 10^{-3}$	2000	$5 \cdot 10^{-4}$	2000	$2 \cdot 10^{-4}$

3- Calcul du rayon d'action R_a :

$\frac{t}{R_a}$	2	5	10	$\frac{1}{R_a}$	$\frac{1}{R_a}$
approx.	rayon d'action				
0,2	$2 \cdot 2 \frac{1}{\sqrt{2}}$	2,5	5,1	$2 \cdot 10^{-3}$	$5 \cdot 10^{-4}$
	$0,36 \cdot 10^{-3}$	$0,325$	$0,2734$	$14,5 \cdot 10^3$	$1,22 \cdot 10^4$
	10^{-3}				

Remarque : Pour les approximations suivantes on prend $t = 10^{-6}$ obtenue par le calcul précédent.4- Calcul de T (par approximations successives):

$\frac{R_a}{R}$	$\frac{R}{R_a}$	$\frac{R}{R_a}$	R transmission	$T = \frac{R_a}{R} \cdot R \cdot 10^{-6}$
"	$\log \frac{R}{R_a}$	$0,37 \log \frac{R}{R_a} + 1$	$\frac{R}{R_a}$	$\frac{R_a}{R} \cdot R \cdot 10^{-6}$
$1,51 \cdot 10^3$	4,43	4,64	$0,75 \cdot 10^{-6}$	10^{-6}

FIN

96

WUNSCH